

Numerik partieller Differentialgleichungen I

Einführung

- Übersicht pDgln. 2. Ordnung
(Klassifikation, klassische Modellprobleme)
- Übersicht wichtigste Diskretisierungskonzepte
(Finite Differenzen, Finite Elemente, Finite Volumen)

Finite Differenzen

- Bsp. Wärmeleitung
(Stabilitätskonzepte, Konvergenz)
- Bsp. Transportgleichung
(Stabilität, Konvergenz, Dissipation)

Finite Elemente

- Bsp. Poisongleichung
(Assemblierung, a priori Fehlerabschätzung)
- Adaptivität
(Gitterverfeinerung, a posteriori Fehlerabschätzung)

Partielle Differentialgleichung

Def: Sei $\Omega \subset \mathbb{R}^d$ offen, $d \geq 2$. Eine partielle Differentialgleichung (pDgl) ist eine Gleichung, die eine Funktion $u: \Omega \rightarrow \mathbb{R}$ und ihre partiellen Ableitungen verknüpft,

$$F(D^k u(x), D^{k-1} u(x), \dots, D u(x), u(x), x) = 0 \quad \forall x \in \Omega,$$

$F: \mathbb{R}^{d^k} \times \mathbb{R}^{d^{k-1}} \times \dots \times \mathbb{R} \times \Omega \rightarrow \mathbb{R}$. k ist die Ordnung der pDgl, u die gesuchte Fkt.

Bsp: Laplace - Gleichung $\partial^2 u / \partial x_1^2 + \partial^2 u / \partial x_2^2 = 0$

Def: Ein pDgl - Problem ist eine pDgl. mit Randbedingungen auf $\Gamma \subset \partial\Omega$.

- Dirichlet - RB : $u = g$ auf Γ (g gegeben)

- Neumann - RB : $n^T A \nabla u = g$ auf Γ ($A \in \mathbb{R}^{d \times d}$ regulär, n = Normale an Γ)

- Robin - RB : $u + n^T A \nabla u = g$ auf Γ

Es ist zu lösen für $u: \Omega \rightarrow \mathbb{R}$.

Bsp: Laplace - Gleichung mit $u(x) = x_1$ auf $\partial\Omega$ hat Lsg. $u(x) = x_1$.

Einführung: pDgl. 2. Ordnung

Klassifikation pDgl. 2. Ordnung

Notation: • $u_{x_1} = \partial u / \partial x_1$, $u_{x_1 x_2} = \partial^2 u / \partial x_1 \partial x_2$, ...

• $D_u = (u_{x_1}, \dots, u_{x_d})$, $\nabla u = D_u^T$

• $\Delta u = \operatorname{div} \nabla u = u_{x_1 x_1} + \dots + u_{x_d x_d}$

• $\alpha = (\alpha_1, \dots, \alpha_d) \in \mathbb{N}_0^d$ heißt Multicindex der Ordnung $|\alpha| = \alpha_1 + \dots + \alpha_d$.

$D^\alpha u = \partial^{|\alpha|} u / \partial x_1^{\alpha_1} \dots \partial x_d^{\alpha_d}$

• Mit $\Omega \subset \mathbb{R}^{n+1}$ bezeichnen wir üblicherweise nur räumliche Variablen; ist eine Variable die Zeit, nennen wir sie t und nehmen $[0, T] \times \Omega$ als das Gebiet der Dgl.; außerdem $u = u_t$

Wir betrachten hier nur schullineare pDgln: $\sum_{i,j=1}^d a_{ij}(x) u_{x_i x_j}(x) + c(\nabla u(x), u(x), x) = 0$

Def: Die pDgl. heißt elliptisch, falls $A = (a_{ij})_{ij}$ positiv definit ist

• parabolisch, falls A pos. semidefinit ist mit einem 0-Eigenwert

• hyperbolisch, falls A einen positiven & d-1 negative Eigenwert hat

Einführung: pDgln. 2. Ordnung

Energieminimierung: Elliptische Dgl.

Elliptische pDgl. entspringen dem physikalischen Prinzip der Energieminimierung:
Ein physikalisches System nimmt den Zustand minimaler Energie an.

Sei u der Zustand, $E(u)$ die Energie $\Rightarrow E(u+\varphi) \geq E(u) \quad \forall \varphi: \Omega \rightarrow \mathbb{R}$

Bsp: Die potentielle Energie einer elektrischen Ladungsverteilung $u: \Omega \rightarrow \mathbb{R}$
(oder einer elastischen Membran mit transversaler Auslenkung u
oder einer Temperaturverteilung u) in einem elektrischen Feld f ist
 $E(u) = \frac{1}{2} \int_{\Omega} |\nabla u|^2 dx + \int_{\Omega} fu dx$. Auf $\partial\Omega$ ist $u=g$ festgelegt.

$$E(u+\varphi) - E(u) = \int_{\Omega} \nabla u \cdot \nabla \varphi + \frac{1}{2} |\nabla \varphi|^2 dx + \int_{\Omega} f \varphi dx$$

partielle Integration $= \int_{\Omega} \varphi \nabla u \cdot n dx + \int_{\Omega} \frac{1}{2} |\nabla \varphi|^2 - \varphi \operatorname{div} \nabla u dx + \int_{\Omega} f \varphi dx \stackrel{!}{\geq} 0 \quad \forall \varphi \text{ mit } \varphi=0 \text{ auf } \partial\Omega$

Poisson-Gleichung $\operatorname{div} \nabla u = \Delta u = f \quad \text{mit Dirichlet-RB } u=g \text{ auf } \partial\Omega$

Gradientenfluss: Parabolische Dgl.

Ein physikalisches System muss erst zum Energiedminimum gelangen.

Parabolische pDgl. entspringen dem physikalischen Prinzip des Gradientenflusses:

Zu jedem Zeitpunkt bewegt sich der Zustand in die Richtung, die die schnellste Energieabnahme (bei gleichem Aufwand) erlaubt.

Sei $\tau D(\frac{\varphi}{\tau})$ der Aufwand der Änderung $u \rightarrow u + \varphi$ in Zeit τ

$$\Rightarrow u = \lim_{\tau \rightarrow 0} \left(\underset{\varphi}{\operatorname{argmin}} \tau D\left(\frac{\varphi}{\tau}\right) + E(u+\varphi) \right) / \tau$$

Bsp: Eine Ladungs- (Auslenkungs-/Temperatur-) Änderung kostet $D(\varphi) = \frac{1}{2} \int_{\Omega} \varphi^2 dx$.

$$\tau D\left(\frac{\varphi + \tilde{\varphi}}{\tau}\right) + E(u + \varphi + \tilde{\varphi}) - [\tau D\left(\frac{\varphi}{\tau}\right) + E(u + \varphi)] = \int_{\Omega} \frac{\varphi \tilde{\varphi}}{\tau} + \frac{\tilde{\varphi}^2}{2\tau} + \frac{|\nabla \tilde{\varphi}|^2}{2} + \nabla(u + \varphi) \cdot \nabla \tilde{\varphi} + f \tilde{\varphi} dx$$

$$= \int_{\Omega} \tilde{\varphi} \left(\frac{\varphi}{\tau} - \Delta(u + \varphi) + f \right) dx + \int_{\partial\Omega} \tilde{\varphi} \nabla(u + \varphi) \cdot n dx + O(\tilde{\varphi}^2) \geq 0 \quad \forall \tilde{\varphi} \text{ mit } \tilde{\varphi} = 0 \text{ auf } \partial\Omega$$

$$\Rightarrow \frac{\varphi}{\tau} = \Delta(u + \varphi) - f \Rightarrow \varphi \rightarrow 0 \text{ für } \tau \rightarrow 0$$

Wärmeleitungsgleichung $u_t - \Delta u = f$ mit DirichletRB $u=g$ auf $\partial\Omega$, $u=u_0$ für $t=0$

Erhaltungsgleichung: Hyperbolische Dgl.

Hyperbolische pDgl. entspringen oft dem physikalischen Erhaltungsprinzip:
 Die Änderung einer extensiven Zustandsgröße (z.B. Masse, Impuls, Energie) in einem Volumen V ist nur durch Transport über ∂V möglich.

$$\text{Sei } q(x,t) \text{ die Flussdichte der Zustandsgrößen-Dichte } \rho \Rightarrow \frac{d}{dt} \int_V \rho(x,t) dx = - \int_V q(x,t) \cdot \nu dx$$

$$\Rightarrow 0 = \int_V \dot{\rho} + \operatorname{div} q dx \quad \forall V \subset \Omega \Rightarrow \dot{\rho} + \operatorname{div} q = 0$$

Satz von Gauß

Bsp: Ein Material mit Masse-Verteilung ρ bewege sich mit Geschwindigkeit $v(x,t)$ (z.B. durch Wind bringt Wasser in den Wolken). $\Rightarrow q = v\rho$

$$\Rightarrow \text{Transportgleichung} \quad \dot{\rho} + \operatorname{div}(v\rho) = 0 \quad \text{mit RB } \rho = \rho_0 \text{ für } t = 0.$$

Bsp: Die kinetische + potentielle Energiedichte einer gespannten Membran mit Auslenkung u ist $\rho(x,t) = \frac{m}{2} |u|^2 + E \frac{|\nabla u|^2}{2}$ (m = Membran-Massen-dichte, E = Elastizitätsmodul), der Energiefluss ist $q = E u \cdot \nabla u \Rightarrow \dot{\rho} = m u \ddot{u} + E \nabla u \cdot \nabla \ddot{u} = E \operatorname{div}(u \nabla \ddot{u})$

$$\Rightarrow \text{Wellengleichung} \quad u = \frac{E}{m} \Delta u \quad \text{mit RB } u = g \text{ auf } \partial \Omega, u = u_0 \text{ für } t = 0$$

Einführung: pDgln. 2. Ordnung

Reduktion hyperbolischer pDgl. 2. zu 1. Ordnung in 2D

$$\ddot{u} - \partial^2 u / \partial x^2 = f(u, \dot{u}, \partial u / \partial x, x, t)$$

$$\Leftrightarrow \begin{cases} \dot{v} + \partial v / \partial x = f(u, \dot{u}, \partial u / \partial x, x, t) \\ \dot{u} - \partial u / \partial x = v \end{cases}$$

= System gekoppelter Transportgleichungen 1. Ordnung

$$\text{„} \partial_t^2 - \partial_x^2 = (\partial_t - \partial_x)(\partial_t + \partial_x) \text{“}$$

Hängt f nur von $x \& t$ ab, kann man erst
 $\dot{v} + \partial v / \partial x = f(x, t)$

Lösen und danach

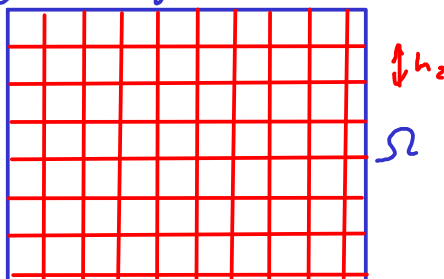
$$\dot{u} - \partial u / \partial x = v$$

⇒ wir werden nur hyperbolische pDgl. 1. Ordnung betrachten.

Einführung: Diskretisierungskonzepte

Finite Differenzen

Hat man auf Ω ein regelmäßiges Gitter mit Gitterweite h_1, \dots, h_d in x_1, \dots, x_d -Richtung,



Können die Ableitungen einer ausreichend oft differenzierbaren Funktion u als Differenzenquotienten approximiert werden.

$$\text{Bsp.: } \frac{\partial u}{\partial x_1} \approx \frac{u(x_1 + h_1, x_2) - u(x_1, x_2)}{h_1}, \quad \frac{\partial^2 u}{\partial x_2^2} \approx \frac{u(x_1, x_2 + h_2) - 2u(x_1, x_2) + u(x_1, x_2 - h_2)}{h_2^2}$$

Wir suchen eine Approximation u_{i_1, \dots, i_d} an $u(i_1 h_1, \dots, i_d h_d)$

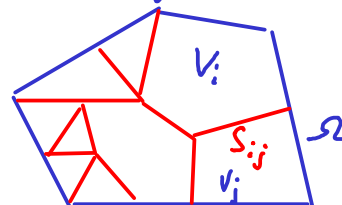
⇒ wir ersetzen in der pDgl. alle Ableitungen durch Diff.-quotienten und erhalten einen Satz an Gleichungen in den u_{i_1, \dots, i_d}

$$\text{Bsp: } u - \frac{\partial^2 u}{\partial x^2} = 0, \quad u(t=0, x) = e^{-x^2} \Rightarrow \frac{u_{i+1,j} - u_{i,j}}{h_1} - \frac{u_{i,j+1} - 2u_{i,j} + u_{i,j-1}}{h_2^2} = 0, \quad u_{0,j} = e^{-j^2 h_2^2} \quad \forall i \geq 0, j \geq 0$$

Einführung: Diskretisierungskonzepte

Finite Volumen

Auf einem Gitter aus Volumenelementen V_i und deren Seiten S_{ij}



Kann das Erhaltungsprinzip auf jedes Element angewandt werden.

Ist \bar{f}_{ik} der Mittelwert von f auf V_i zur Zeit $t_k = k \Delta t$ und $\tilde{q}(\bar{f}_{ik}, f_{jk}, x_i, t)$ eine Approximation an den Fluss durch S_{ij} , so folgt

$$\frac{d}{dt} \int_{V_i} f(x, t) dx = - \int_{\partial V_i} q(x, t) \cdot n dx \quad \text{Normale von } V_i \text{ zu } V_j$$

$$\Rightarrow \bar{f}_{ik+1} - \bar{f}_{ik} = \frac{-\Delta t}{|V_i|} \sum_j |S_{ij}| \tilde{q}(\bar{f}_{ik}, f_{jk}, x_i, t) \cdot n_j \quad \forall k, i$$

eine Satz Gleichungen für die \bar{f}_{ik} .

Bsp: $\dot{\rho} + \operatorname{div}(v\rho) = 0$, $\rho(t=0, x) = e^{-x^2}$

$$\Rightarrow \bar{f}_{ik+1} - \bar{f}_{ik} = \frac{-\Delta t}{|V_i|} \sum_j |S_{ij}| v(x_{ij}/k \Delta t) \cdot n_j \frac{\bar{f}_{ik} + f_{jk}}{2}, \quad \bar{f}_{i0} = \int_V e^{-x^2} dx \quad \forall k > 0, i$$

Galerkin-Verfahren/Finite Elemente

Sei V ein endlichdimensionaler Teilraum des Raums F der Funktionen $u: \Omega \rightarrow \mathbb{R}$ mit Basis ϕ_1, \dots, ϕ_k . Statt auf F kann das Energienminimierungsprinzip auch auf V angewandt werden:

$$u = \underset{v \in V}{\operatorname{arg\,min}} E(v) = \text{Lsg. der zugehörigen elliptischen pDgl.}$$

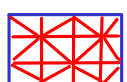
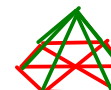
$$\Rightarrow \hat{u} = \sum_{i=1}^k u_i \phi_i = \underset{v \in V}{\operatorname{arg\,min}} E(v) = \text{Approximation der pDgl-Lsg.}$$

$$\Rightarrow 0 = \frac{\partial}{\partial u_i} E\left(\sum_{i=1}^k u_i \phi_i\right) \quad \forall i = 1, \dots, k$$

\hat{u} heißt Galerkin-Approximation. Sind die ϕ_i lokal (d.h. $\operatorname{supp} \phi_i \cap \operatorname{supp} \phi_j = \emptyset$ für die meisten i, j) ergibt sich der Spezialfall der Finite Elemente.

Bsp: $\Delta u = 0$ auf Ω , $u(x) = g(x)$ auf $\partial\Omega$

$$E(u) = \int_{\Omega} \frac{|\nabla u|^2}{2} dx$$

Dreiecksgitter  , V aufgespannt durch 

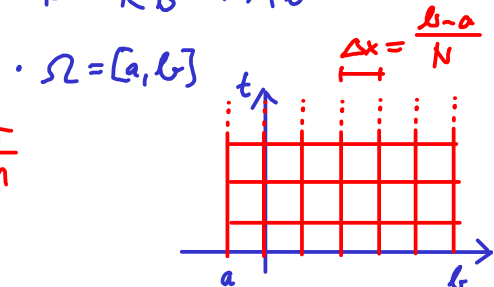
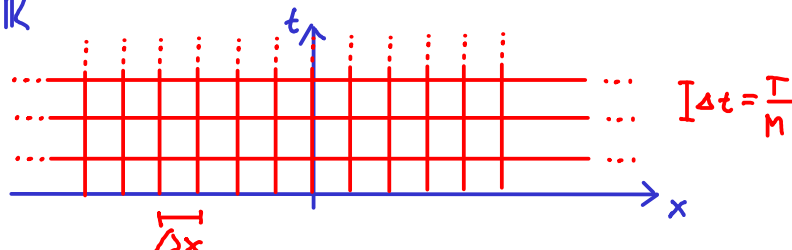
$$\Rightarrow \sum_{j=1}^k \int_{\Omega} \nabla \phi_i \cdot \nabla \phi_j dx u_j = 0 \quad \forall i \text{ mit } x_i \notin \partial\Omega, \quad u_i = g(x_i) \text{ sonst}$$

Finite Differenzen: Parabolische pDgl. (1D Wärmeleitung)

theta-Methode

$$u_t = u_{xx} \text{ auf } [\bar{0}, T] \times \Omega + RB + AB$$

Gitter: $\cdot \Omega = \mathbb{R}$



Explizites Euler-Verfahren: $\frac{u_j^{m+1} - u_j^m}{\Delta t} = \frac{u_{j-1}^m - 2u_j^m + u_{j+1}^m}{\Delta x^2}$

$$\Leftrightarrow u_j^{m+1} = u_j^m + \frac{\Delta t}{\Delta x^2} (u_{j-1}^m - 2u_j^m + u_{j+1}^m)$$

Implizites Euler-Verfahren: $\frac{u_j^{m+1} - u_j^m}{\Delta t} = \frac{u_{j-1}^{m+1} - 2u_j^{m+1} + u_{j+1}^{m+1}}{\Delta x^2}$

$$\Leftrightarrow u_j^{m+1} - \frac{\Delta t}{\Delta x^2} (u_{j-1}^{m+1} - 2u_j^{m+1} + u_{j+1}^{m+1}) = u_j^m$$

θ - Verfahren: $\frac{u_j^{m+1} - u_j^m}{\Delta t} = (1-\theta) \frac{u_{j-1}^m - 2u_j^m + u_{j+1}^m}{\Delta x^2} + \theta \frac{u_{j-1}^{m+1} - 2u_j^{m+1} + u_{j+1}^{m+1}}{\Delta x^2}$

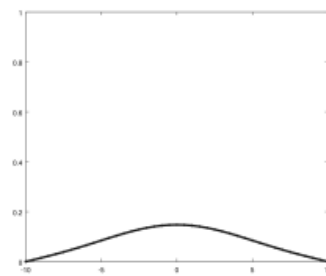
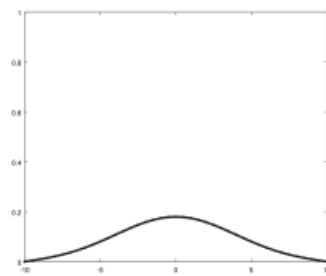
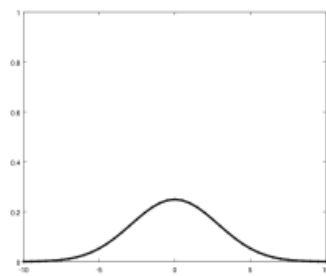
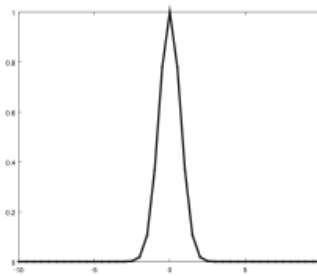
$\theta = 0$: expl. Euler ; $\theta = 1$: impl. Euler ; $\theta = \frac{1}{2}$: Crank-Nicolson

Anfangsbedingung (AB): $u_j^0 = u(t=0, x_j)$; Dirichlet-RB: $u_0^m = u(t^m, a)$, $u_N^m = u(t^m, b)$

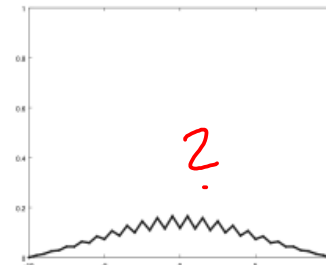
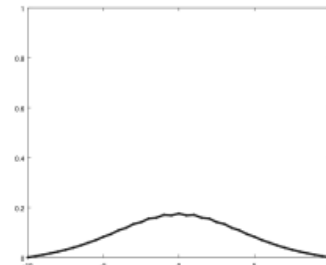
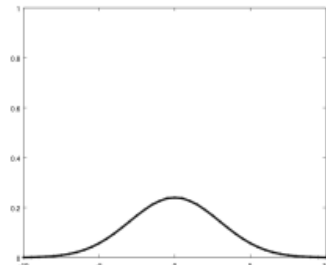
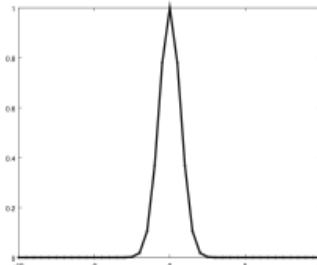
Finite Differenzen: Parabolische pDgl. (1D Wärmeleitung)

Beispielrechnung $u_t = u_{xx}$ auf $\Omega = [-10, 10]$, $u(t=0, x) = e^{-x^2}$, $u(t, \partial\Omega) = u(0, \partial\Omega)$

expl. Euler, $\Delta x = \frac{1}{2}$, $\Delta t = 0,12$



expl. Euler, $\Delta x = \frac{1}{2}$, $\Delta t = 0,13$



?

Finite Differenzen: Parabolische pDgl. (1D Wärmeleitung)

Fourier-Transformation & Satz von Plancherel/Parseval

Def: Fouriertransformation (FT) von $u: \mathbb{R} \rightarrow \mathbb{C}$: $\hat{u}(\xi) = F[u](\xi) = \int_{\mathbb{R}} u(x) e^{-ix\xi} dx$

Def: L^2 -Norm von $u: \Omega \rightarrow \mathbb{C}$: $\|u\|_{L^2} = \left(\int_{\Omega} |u(x)|^2 dx \right)^{\frac{1}{2}}$

$$L^2(\mathbb{R}) = \{u: \mathbb{R} \rightarrow \mathbb{C} \mid u \text{ messbar}, \|u\|_{L^2} < \infty\}$$

$$\text{zugehöriges } L^2\text{-Skalarprodukt} \quad (u, v)_{L^2} = \int_{\mathbb{R}} \overline{u(x)} v(x) dx$$

Thm: Inverse FT (IFT) von $\hat{u}: \mathbb{R} \rightarrow \mathbb{C}$: $u(x) = F^{-1}[\hat{u}](x) = \frac{1}{2\pi} \int_{\mathbb{R}} \hat{u}(\xi) e^{ix\xi} d\xi$

$$\text{Bew.: } \frac{1}{2\pi} \int_{\mathbb{R}} \int_{\mathbb{R}} u(\tilde{x}) e^{-i\tilde{x}\xi} dx e^{ix\xi} d\xi = \frac{1}{2\pi} \int_{\mathbb{R}} \int_{\mathbb{R}} e^{i(x-\tilde{x})\xi} d\xi u(\tilde{x}) d\tilde{x} = \int_{\mathbb{R}} u(\tilde{x}) \delta(\tilde{x}-x) d\tilde{x}$$

\Rightarrow mache rigoros mittels Glättungs- & Approximationssargument

□

Thm: (Satz von Plancherel / Parseval) $\|\hat{u}\|_{L^2} = \sqrt{2\pi} \|u\|_{L^2}$

$\Rightarrow \frac{F}{\sqrt{2\pi}}$ ist Isometrie von $L^2(\mathbb{R})$ nach $L^2(\mathbb{R})$

$$\begin{aligned} \text{Bew.: } \int_{\mathbb{R}} \hat{u}(\xi) v(\xi) d\xi &= \int_{\mathbb{R}} \int_{\mathbb{R}} u(x) e^{-ix\xi} dx v(\xi) d\xi \\ &= \int_{\mathbb{R}} \int_{\mathbb{R}} v(\xi) e^{-ix\xi} d\xi u(x) dx = \int_{\mathbb{R}} u(x) \hat{v}(x) dx \end{aligned}$$

$$\cdot \text{ wähle } v(\xi) = \overline{\hat{u}(\xi)} = 2\pi F^{-1}[\hat{u}](\xi)$$

□

L2-Stabilität

Stabilität $\hat{=}$ geringe Perturbation in Daten (z.B. RB oder rechte Seite der pDg(.)) erzeugt geringe Änderung der Lösung

Messung der Perturbationsfähigkeit in verschiedenen Normen
 \Rightarrow Stabilität bzgl. versch. Normen

$$\left. \begin{array}{l} u_t - u_{xx} = f, \quad u(t=0) = u_0 \\ \tilde{u}_t - \tilde{u}_{xx} = \tilde{f}, \quad \tilde{u}(t=0) = \tilde{u}_0 \end{array} \right\} \Rightarrow v = \tilde{u} - u \text{ lässt } v_t - v_{xx} = \tilde{f} - f, \quad v(t=0) = \tilde{u}_0 - u_0$$

Thm: u löse $u_t - u_{xx} = f$ auf $[0, \infty) \times \Omega$ ($\Omega = \mathbb{R}$ oder $\Omega = [a, b]$ mit 0-Dirichlet-RB).
 $\|u(t)\|_{L^2} \leq \|u(t=0)\|_{L^2} + \int_0^t \|f(s)\|_{L^2} ds$

$$\text{Bew.: für } \Omega = [a, b], \quad 2\|u\|_{L^2} \frac{d}{dt} \|u\|_{L^2} = 2 \int_a^b u \Delta u dx = 2 \int_a^b u (\Delta u + f) dx = 2 \int_a^b |\nabla u|^2 + uf dx \leq 2\|u\|_{L^2} \|f\|_{L^2}$$

$$\text{für } \Omega = \mathbb{R}, \quad F[u_t - u_{xx} - f](\xi) = \hat{u}_t(\xi, t) - (\xi)^2 \hat{u}(\xi, t) - \hat{f}(\xi, t)$$

$$\Rightarrow \forall \xi: \quad \frac{d}{dt} \hat{u} = -\xi^2 \hat{u} + \hat{f} \quad \Rightarrow 2\|\hat{u}\|_{L^2} \frac{d}{dt} \|\hat{u}\|_{L^2} = 2 \int_{\mathbb{R}} \operatorname{Re}(-\xi^2 |\hat{u}|^2 + \hat{u} \hat{f}) d\xi \leq 2\|\hat{u}\|_{L^2} \|\hat{f}\|_{L^2}$$

$$\text{- in beiden Fällen } \frac{d}{dt} \|u\|_{L^2} \leq \|f\|_{L^2}$$

□

Finite Differenzen: Parabolische pDgl. (1D Wärmeleitung)

Semidiskrete Fourier-Transformation

Def: Die semidiskrete FT einer auf dem unendlichen Gitter $x_j = j\Delta x, j \in \mathbb{Z}$, definierten Funktion U ist

$$\hat{U}: [-\frac{\pi}{\Delta x}, \frac{\pi}{\Delta x}] \rightarrow \mathbb{C}, \quad \hat{U}(k) = \Delta x \sum_{j=-\infty}^{\infty} U_j e^{-ikx_j}.$$

Def: ℓ_2 -Norm von $U: \mathbb{Z} \subset \Delta x \times \mathbb{Z} \rightarrow \mathbb{C}$: $\|U\|_{\ell_2} = \left(\Delta x \sum_{x_j \in \mathbb{Z}} |U_j|^2 \right)^{\frac{1}{2}}$

Thm: Inverse semidiskrete FT ist $U_j = \frac{1}{2\pi} \int_{-\pi/\Delta x}^{\pi/\Delta x} \hat{U}(k) e^{ikj\Delta x} dk$

Thm: (Parseval) $\|\hat{U}\|_{\ell_2} = \sqrt{2\pi} \|U\|_{\ell_2}$

Finite Differenzen: Parabolische pDgl. (1D Wärmeleitung)

12-Stabilität

θ -Methode für $u - \Delta u = f$:

(*)



$$\frac{U_j^{m+1} - U_j^m}{\Delta t} = (\alpha - \theta) \frac{U_{j-1}^m - 2U_j^m + U_{j+1}^m}{\Delta x^2} + \theta \frac{U_{j-1}^{m+1} - 2U_j^{m+1} + U_{j+1}^{m+1}}{\Delta x^2} + (\alpha - \theta) F_j^m + \theta F_j^{m+1}, \quad U_j^0 = 0.$$

$$\frac{\tilde{U}_j^{m+1} - \tilde{U}_j^m}{\Delta t} = (\alpha - \theta) \frac{\tilde{U}_{j-1}^m - 2\tilde{U}_j^m + \tilde{U}_{j+1}^m}{\Delta x^2} + \theta \frac{\tilde{U}_{j-1}^{m+1} - 2\tilde{U}_j^{m+1} + \tilde{U}_{j+1}^{m+1}}{\Delta x^2} + (\alpha - \theta) \tilde{F}_j^m + \theta \tilde{F}_j^{m+1}, \quad \tilde{U}_j^0 = \tilde{0}_j$$

$\Rightarrow \tilde{u} - u$ löst selbe Gleichungen für Daten $\tilde{F} - F$ & $AB - \tilde{O} - O$.

\Rightarrow für Stabilität betrachte (wie zuvor) Norm der Lsg. als Fkt. der Daten & AB.

Thm: $U = (U_j^m)_{j \in \mathbb{Z}}^{m \geq 0}$ löse (*) (auf $\mathcal{Z} = \mathbb{Z}$ oder $\mathcal{Z} = \mathbb{Z}_n[a, b]$ mit 0-Dirichlet-PRB).

Falls $(\alpha - 2\theta) \frac{\Delta t}{\Delta x^2} \leq \frac{1}{2}$, $\|\tilde{U}\|_{L^2} \leq \|0\|_{L^2} + \Delta t \left(\sum_{k=1}^{m-1} \|F^k\|_{L^2} + \theta \|F^m\|_{L^2} + (1-\theta) \|F^0\|_{L^2} \right)$.

„Verfahren ist L^2 -stabil“.

Quadratur für $\int_0^{\Delta t} dt$

Kor: Impl. Euler- & Crank-Nicolson-Verfahren sind uningeschränkt L^2 -stabil,
expl. Euler-Verfahren ist bedingt stabil (für $\Delta t \leq \frac{\Delta x^2}{2}$).

Bew.: Abkürzung $\mu = \Delta t / \Delta x^2$

$\cdot 2 = \mathbb{Z}$: Setze $\hat{U}_j^m = \frac{1}{2\pi} \int_{-\pi/\Delta x}^{\pi/\Delta x} e^{ikj\Delta x} \hat{u}^m(k) dk$ ein

$$\Rightarrow \frac{1}{2\pi} \int_{-\pi/\Delta x}^{\pi/\Delta x} e^{ikj\Delta x} \frac{\hat{U}^{m+1} - \hat{U}^m}{\Delta t} dk = \frac{1}{2\pi} \int_{-\pi/\Delta x}^{\pi/\Delta x} (1-\theta) \frac{e^{ik(j-1)\Delta x} - 2e^{ikj\Delta x} + e^{ik(j+1)\Delta x}}{\Delta x^2} \hat{u}^m$$

$$+ \theta \frac{e^{ik(j-1)\Delta x} - 2e^{ikj\Delta x} + e^{ik(j+1)\Delta x}}{\Delta x^2} \hat{u}^{m+1} + e^{ikj\Delta x} [(1-\theta) \hat{F}^m + \theta \hat{F}^{m+1}] dk$$

$$\Rightarrow 0 = \frac{1}{2\pi} \int_{-\pi/\Delta x}^{\pi/\Delta x} e^{ikj\Delta x} \left[\hat{U}^{m+1} \left(1 - \theta_m (e^{-ik\Delta x} - 2 + e^{ik\Delta x}) \right) - \hat{U}^m \left(1 + (1-\theta)_m (e^{-ik\Delta x} - 2 + e^{ik\Delta x}) \right) \right.$$

$$\left. + \Delta t [(1-\theta) \hat{F}^m + \theta \hat{F}^{m+1}] \right] dk$$

$$\Rightarrow \hat{U}^{m+1}(k) = \frac{1 + (1-\theta)_m (e^{-ik\Delta x} - 2 + e^{ik\Delta x})}{1 - \theta_m (e^{-ik\Delta x} - 2 + e^{ik\Delta x})} \hat{U}^m(k) - \frac{\Delta t [(1-\theta) \hat{F}^m(k) + \theta \hat{F}^{m+1}(k)]}{1 - \theta_m (e^{-ik\Delta x} - 2 + e^{ik\Delta x})}, k \in [-\frac{\pi}{\Delta x}, \frac{\pi}{\Delta x}]$$

$$\underbrace{- 4 \sin^2(k\Delta x / 2)}$$

$$\Rightarrow \|\hat{U}^{m+1}\|_{L^2} \leq \max_k \left| \frac{1 - (1-\theta)_m \sin^2(k\Delta x / 2)}{1 + \theta \theta_m \sin^2(k\Delta x / 2)} \right| \|\hat{U}^m\|_{L^2} + \Delta t [\theta \|\hat{F}^{m+1}\|_{L^2} + (1-\theta) \|\hat{F}^m\|_{L^2}]$$

$$\underbrace{\leq 1 \Leftrightarrow (1-2\theta)_m \leq \frac{1}{2}}$$

$$\cdot \mathbb{Z} = \mathbb{Z} \cap [a, b]: U^{m+n} = (I + \theta \mu L)^{-1} [(I - (1-\theta) \mu L) U^m + \Delta t F^{m+n} + (1-\theta) \Delta t F^m]$$

$$U^m = \begin{pmatrix} U_1^m \\ \vdots \\ U_N^m \end{pmatrix}, \quad L = \begin{pmatrix} 2 & -1 & & & \\ -1 & 2 & -1 & & \\ & \ddots & \ddots & \ddots & \\ & & -1 & 2 & -1 \\ & & & -1 & 2 \end{pmatrix} \in \mathbb{R}^{(N-1) \times (N-1)}$$

Nach Satz von Gershgorin ist L pos. Semidefinit mit Eigenwerten $\in [0, 4]$.

$$\Rightarrow \|U^{m+n}\|_{\ell^2} \leq \underbrace{\|(I + \theta \mu L)^{-1}(I - (1-\theta) \mu L)\|}_{+ \|(I + \theta \mu L)^{-1}\| \Delta t [\theta \|F^{m+n}\|_{\ell^2} + (1-\theta) \|F^m\|_{\ell^2}]} \|U^m\|_{\ell^2}$$

$$\leq \max_{\text{Eigenwerte } \lambda} \left| \frac{1-(1-\theta)\mu\lambda}{1+\theta\mu\lambda} \right| \leq 1$$

$$\leq 1 \text{ falls } (1-2\theta)\mu \leq \frac{1}{2}$$

• per Induktion folgt in beiden Fällen

$$\|U^m\|_{\ell^2} \leq \|U^0\|_{\ell^2} + \Delta t \left(\sum_{k=1}^{m-1} \|F^k\|_{\ell^2} + \theta \|F^m\|_{\ell^2} + (1-\theta) \|F^0\|_{\ell^2} \right) \quad \square$$

12-von Neumann-Stabilität

Stabilitätsanforderungen sind typischerweise am stärksten auf $Z = \mathbb{Z}$, da dort alle Frequenzen k auftreten, während ein endliches Gitter nur endlich viele Frequenzen/Eigenmoden besitzt. Formal können wir die ℓ^2 -Stabilität prüfen, indem wir $u_j^m = [\lambda(k)]^m e^{ijk\Delta x}$ ins Verfahren mit $F_j^m = 0$ einsetzen und $|\lambda(k)| \leq 1$ fordern.

Def: Das Verfahren heißt ℓ^2 -von Neumann-stabil, wenn ein $C > 0$ existiert sodass $\|u^m\|_{\ell^2} \leq C \|u^0\|_{\ell^2} + \Delta t \sum_{k=0}^{\infty} \|F^k\|_{\ell^2}$, $m = 1, \dots, M = T/\Delta t$.

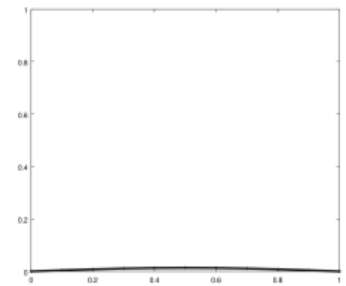
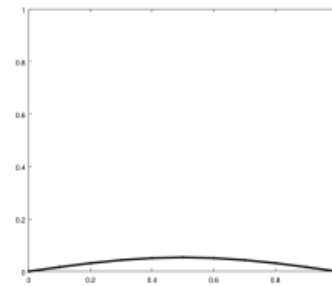
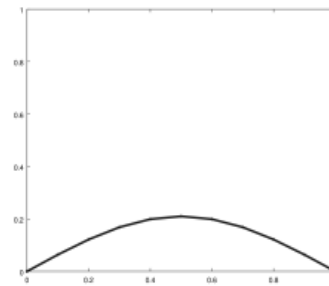
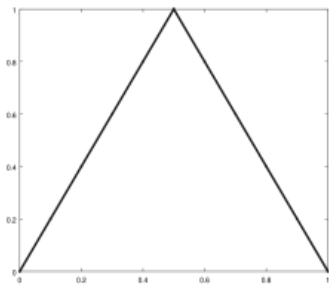
Thm: Das θ -Verfahren ist ℓ^2 -von Neumann-stabil falls $(1-2\theta)\frac{\Delta t}{\Delta x^2} \leq \frac{1}{2} + C\Delta t$.
Bew: HA (nach $(1+C\Delta t)^m \leq (1 + \frac{CT}{M})^M \leq e^{CT}$) □

Finite Differenzen: Parabolische pDgl. (1D Wärmeleitung)

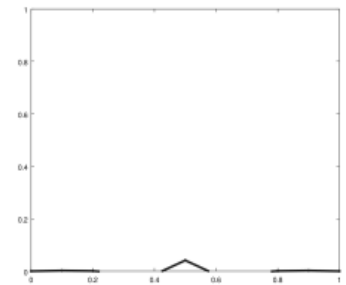
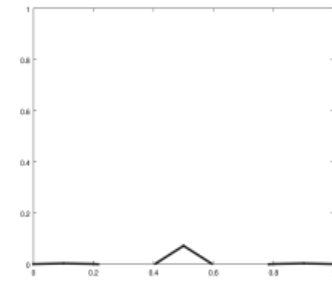
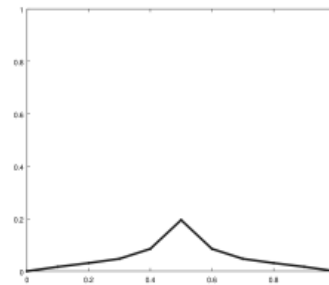
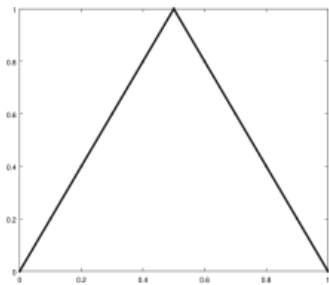
Beispielrechnung

$$u = u_{xx} \text{ on } [0, T] \times [0, 1], \quad u(0, x) = 1 - 2|x - \frac{1}{2}|, \quad u(t, 0, 1) = 0$$

$$\text{impl. Euler} \quad \Delta t = \Delta x = \frac{1}{10}$$



$$\text{Crank-Nicolson} \quad \Delta t = \Delta x = \frac{1}{10}$$



Finite Differenzen: Parabolische pDgl. (1D Wärmeleitung)

L^∞ -Stabilität: Maximumprinzip

$$\Omega = (a, b); \begin{cases} u - u_{xx} = f, u|_{t=0} = u_0, u(\cdot, a) = u_a, u(\cdot, b) = u_b \\ \tilde{u} - \tilde{u}_{xx} = f, \tilde{u}|_{t=0} = \tilde{u}_0, \tilde{u}(\cdot, a) = \tilde{u}_a, \tilde{u}(\cdot, b) = \tilde{u}_b \end{cases} \Rightarrow \begin{cases} v = \tilde{u} - u \text{ löst } v - v_{xx} = 0, \\ v|_{t=0} = \tilde{u}_0 - u_0, v(\cdot, a) = \tilde{u}_a - u_a, v(\cdot, b) = \tilde{u}_b - u_b \end{cases}$$

Thm: (Maximumsprinzip) Sei $u - \Delta u = f \leq 0$, dann $\max_{(t,x) \in [0,T] \times \bar{\Omega}} u(t,x) = \max_{t=0 \vee x \in \partial\Omega} u(t,x)$.

Bew.: Sei $u(t,x)$, $t \in (0,T]$, $x \in \Omega$ ein lok. Maximum $\Rightarrow u_x = 0, u_t \geq 0, u_{xx} \leq 0$

- ist $f(t,x) < 0$, folgt $0 > f = u_t - u_{xx} \geq 0 \quad \leftarrow$
- ist $f(t,x) \leq 0$, setze $v(t,x) = u(t,x) + \frac{\varepsilon}{2} x^2 \Rightarrow v - v_{xx} = f - \varepsilon < 0$
 $\Rightarrow v$ nimmt mit vorigem Argument Maximum auf $\underbrace{\{0\} \times \Omega \cup (0,T) \times \partial\Omega}_{=: R}$ an
 $\Rightarrow u(t,x) \leq v(t,x) \leq \max_{(t,x) \in R} v(t,x) \leq \max_{(t,x) \in R} u(t,x) + \varepsilon \max(|a|, |b|)^2 \xrightarrow{\varepsilon \rightarrow 0} \max_{(t,x) \in R} u(t,x)$
- analog für Minima

□

Kor: (L^∞ -Stabilität) $\|\tilde{u} - u\|_\infty = \sup_{x \in \Omega} |\tilde{u}(t,x) - u(t,x)| \leq \max(\|\tilde{u}_0 - u_0\|_\infty, \|\tilde{u}_a - u_a\|_\infty, \|\tilde{u}_b - u_b\|_\infty)$

$$\sup_{x \in \Omega} |\tilde{u}_a(x) - u_a(x)|$$

$$\sup_{t \in (0,T)} |\tilde{u}_a(t) - u_a(t)|$$

Finite Differenzen: Parabolische pDgl. (1D Wärmeleitung)

ℓ^∞ -Stabilität: diskretes Maximumprinzip

θ -Methode für $u_t - \Delta u = f$: ($\mu = \frac{\Delta t}{\Delta x^2}$)

(*)



$$\frac{U_j^{m+1} - U_j^m}{\Delta t} = (\nu - \theta) \frac{U_{j-1}^m - 2U_j^m + U_{j+1}^m}{\Delta x^2} + \theta \frac{U_{j-1}^{m+1} - 2U_j^{m+1} + U_{j+1}^{m+1}}{\Delta x^2} + (\nu - \theta) F_j^m + \theta F_j^{m+1}, \quad \begin{cases} U_0^m = A^m \\ U_N^m = B^m \\ U_j^0 = 0 \end{cases}$$

Ist \tilde{U}_j^m die Lsg. für Daten F & AB \tilde{O} & RB \tilde{A}, \tilde{B} ,

so löst $\tilde{U} - U$ die Gl. für Daten $O, AB \tilde{O}-O$ & RB $\tilde{A}-A, \tilde{B}-B$

⇒ für Stabilität bzgl. AB & RB untersuche, wie $\|\tilde{U} - U\|$ von $\|\tilde{A} - A\|, \|\tilde{B} - B\|, \|\tilde{O} - O\|$ abhängt

Thm: (Diskretes Maximumprinzip) U lsgt (*) mit $F=0$ für $\theta \in [0, 1]$ & $\mu(\nu - \theta) \leq \frac{1}{2}$. Dann

$$\min \{U_j^m \mid m=0 \vee j=0 \vee j=N\} \leq U_j^m \leq \max \{U_j^m \mid m=0 \vee j=0 \vee j=N\} \quad \forall j, m$$

$$\begin{aligned} \text{Bew: } (1+2\theta)\nu U_j^{m+1} &= \overbrace{\theta\nu(U_{j+1}^{m+1} + U_{j-1}^{m+1})}^{>0} + \overbrace{(1-\theta)\nu(U_{j+1}^m + U_{j-1}^m)}^{>0} + \overbrace{(1-2(1-\theta)\nu)U_j^m}^{>0} \\ &\leq 2\theta\nu \underbrace{U_j^*}_{\max(U_{j+1}^{m+1}, U_{j-1}^{m+1}, U_{j+1}^m, U_{j-1}^m, U_j^m)} + (1-2(1-\theta)\nu)U_j^* \leq (1+2\theta\nu)U_j^* \end{aligned}$$

⇒ Es kann kein striktes Maximum geben für $m \neq 0$ & $j \notin \{0, N\}$ (analog für Minima) □

Kor: (ℓ^∞ -Stabilität) $\theta \in [0, 1], \mu(\nu - \theta) \leq \frac{1}{2}, \|u - \tilde{u}\|_{\ell^\infty} = \max_{j, m} |U_j^m - \tilde{U}_j^m| \leq \max(\|\tilde{A} - A\|_{\ell^\infty}, \|\tilde{B} - B\|_{\ell^\infty}, \|\tilde{O} - O\|_{\ell^\infty})$.

Finite Differenzen: Parabolische pDgl. (1D Wärmeleitung)

ℓ^∞ -Stabilität bzgl. Datenterm

Beachte: ℓ^∞ -Stabilität hat stärkere Bedingungen an μ als ℓ^2 -Stabilität.

Crank-Nicolson-Verfahren: ℓ^2 -stabil $\forall \mu$, ℓ^∞ -stabil für $\mu \leq 1$.

Thm: U Röse (\times) mit $A = B = 0 = 0$ für $\theta \in [0, 1]$, $\mu(1-\theta) \leq \frac{1}{2}$, dann $\|U\|_{\ell^\infty} \leq T \|F\|_{\ell^\infty}$

$$\begin{aligned} \text{Bew: } (1+2\theta\mu) U_j^{m+1} &= \theta\mu(U_{j+1}^{m+n} + U_{j-1}^{m+n}) + (1-\theta)\mu(U_{j+n}^m + U_{j-n}^m) + (1-2(1-\theta)\mu) U_j^m + \Delta t [(1-\theta) F_j^m + \theta F_j^{m+1}] \\ &\leq 2\theta\mu \|U^{m+n}\|_{\ell^\infty} + 2(1-\theta)\mu \|U^m\|_{\ell^\infty} + (1-2(1-\theta)\mu) \|U^m\|_{\ell^\infty} + \Delta t \|F\|_{\ell^\infty} \end{aligned}$$

$$\text{Bilde Maximum über } j \Rightarrow \|U^{m+n}\|_{\ell^\infty} \leq \|U^m\|_{\ell^\infty} + \Delta t \|F\|_{\ell^\infty}$$

$$\Rightarrow \|U^m\|_{\ell^\infty} \leq \|U^0\|_{\ell^\infty} + m \Delta t \|F\|_{\ell^\infty} \leq T \|F\|_{\ell^\infty}, \quad m = 1, \dots, M \quad \square$$

Finite Differenzen: Parabolische pDgl. (1D Wärmeleitung)

Konsistenz: Abschneidefehler

Def: Sei $u_j^m = u(t_m, x_j)$ für geakte Log. u. Der Abschneidefehler für das θ -Verfahren ist

$$T_j^m = \frac{u_j^{m+1} - u_j^m}{\Delta t} - (1-\theta) \frac{u_{j+1}^m - 2u_j^m + u_{j-1}^m}{\Delta x^2} - \theta \frac{u_{j+1}^{m+1} - 2u_j^{m+1} + u_{j-1}^{m+1}}{\Delta x^2} - (1-\theta)f_j^m - \theta f_j^{m+1}$$

Wie groß ist der Abschneidefehler? Wir nehmen an, u lässt $u - u_{xx} = f$ und ist ausreichend oft differenzierbar, und wir führen Taylorentwicklung durch.

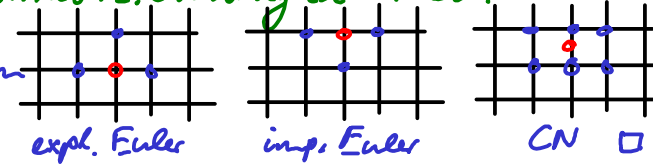
$$u_j^{m+1} = u_j^m + u_t(t_m, x_j) \Delta t + O(\Delta t^2) \quad (\text{analog für } f)$$

$$u_{j\pm 1}^m = u_j^m \pm u_x(t_m, x_j) \Delta x + \frac{1}{2} u_{xx}(t_m, x_j) \Delta x^2 \pm \frac{1}{6} u_{xxx}(t_m, x_j) \Delta x^3 + O(\Delta x^4)$$

$$\Rightarrow \text{Expl. Euler-Verf.:} \quad T_j^m = u_t + O(\Delta t) - u_{xx} + O(\Delta x^2) - f_j^m = O(\Delta t + \Delta x^2)$$

Thm: (Konsistenzordnung) Das θ -Verfahren erfüllt $T_j^m = \begin{cases} O(\Delta t + \Delta x^2), & \theta \neq \frac{1}{2} \\ O(\Delta t^2 + \Delta x^2), & \theta = \frac{1}{2} \end{cases}$, d.h. es ist konsistent 2. Ordnung im Ort & 1. bzw. 2. Ordnung in der Zeit.

Bew: HA; beachte: Taylorentw. am leichtesten um



\Rightarrow Nur C-N-Verf. ist 2. Ordn. konsistent in Zeit!

Konvergenz (Konsistenz + Stabilität = Konvergenz!)

$$\frac{U_j^{m+1} - U_j^m}{\Delta t} = (1-\Theta) \frac{U_{j-1}^m - 2U_j^m + U_{j+1}^m}{\Delta x^2} + \Theta \frac{U_{j-1}^{m+1} - 2U_j^{m+1} + U_{j+1}^{m+1}}{\Delta x^2} + (1-\Theta) F_j^m + \Theta F_j^{m+1}$$

$$\frac{U_j^{m+1} - U_j^m}{\Delta t} = (1-\Theta) \frac{U_{j-1}^m - 2U_j^m + U_{j+1}^m}{\Delta x^2} + \Theta \frac{U_{j-1}^{m+1} - 2U_j^{m+1} + U_{j+1}^{m+1}}{\Delta x^2} + (1-\Theta) f_j^m + \Theta f_j^{m+1} + T_j^m$$

Setze $e_j^m = U_j^m - u_j^m \Rightarrow \frac{e_j^{m+1} - e_j^m}{\Delta t} = (1-\Theta) \frac{e_{j-1}^m - 2e_j^m + e_{j+1}^m}{\Delta x^2} + \Theta \frac{e_{j-1}^{m+1} - 2e_j^{m+1} + e_{j+1}^{m+1}}{\Delta x^2} - T_j^m$

$\Rightarrow e$ löst Θ -Verfahren mit O-AB & O-RB & Daten F_j^m so dass $F_j^m = \frac{T_j^m - (1-\Theta)T_j^{m+1}}{\Theta}$

wenn $1-\Theta < 0$ wähle $F^0 = 0 \Rightarrow \|F^m\| \leq \frac{1}{\Theta} \sum_{k=0}^{m-1} \left(\frac{1-\Theta}{\Theta} \right)^k \|T^k\| \leq C \|T\|_1$; wenn $\Theta < 1-\Theta$ wähle $F^{m+1} = 0 \Rightarrow \|F^m\| \leq \frac{1}{\Theta} \sum_{k=m}^M \left(\frac{\Theta}{1-\Theta} \right)^{m-k} \|T^k\| \leq C \|T\|_1$

Thm: u (glatte) löse $u_t - u_{xx} = f$ mit AB & RB; U_j^m löse zugehöriges Θ -Verfahren mit $\Theta \in [0, 1]$

$$\cdot \|U^m - u^m\|_{\ell^2} = \begin{cases} O(\Delta t + \Delta x^2), & \Theta = \frac{1}{2} \\ O(\Delta t^2 + \Delta x^2), & \Theta \neq \frac{1}{2} \end{cases} \quad \text{falls } (1-2\Theta) \frac{\Delta t}{\Delta x^2} \leq \frac{1}{2}, \quad m=1, \dots, M$$

$$\cdot \|U^m - u^m\|_{\ell^\infty} = \begin{cases} O(\Delta t + \Delta x^2), & \Theta = \frac{1}{2} \\ O(\Delta t^2 + \Delta x^2), & \Theta \neq \frac{1}{2} \end{cases} \quad \text{falls } (1-\Theta) \frac{\Delta t}{\Delta x^2} \leq \frac{1}{2}, \quad m=1, \dots, M$$

Bew: $\Rightarrow \|e^m\|_{\ell^2} \leq \Delta t \left(\sum_{k=2}^{m-1} \|F^k\|_{\ell^2} + \Theta \|F^m\|_{\ell^2} + (1-\Theta) \|F^0\|_{\ell^2} \right) \leq T_{\max} \sum_{k=1, \dots, M} \|F^k\|_{\ell^2}$

$$\|e^m\|_{\ell^\infty} \leq T \|F\|_{\ell^\infty}$$

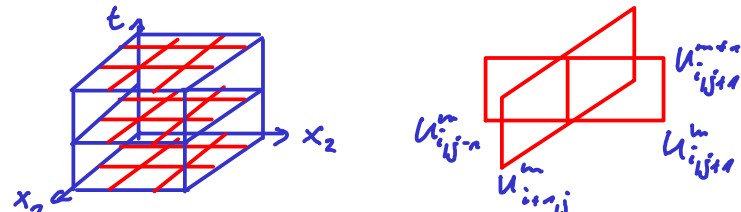
$$\Rightarrow \|e^m\|_{\ell^2}, \|e^m\|_{\ell^\infty} \leq O(\Delta t + \Delta x^2)$$

□

Finite Differenzen: Parabolische pDgl. (2D Wärmeleitung)

Zusammenfassung 2D-Gebiet

$u_t - \Delta u = f$ auf $\Omega = [a_1, b_1] \times [a_2, b_2]$
mit AB & RB



Thm: 1) Das θ -Verfahren für $\Omega = [a_1, b_1] \times [a_2, b_2]$ mit Gitterweiten $\Delta t, \Delta x_1, \Delta x_2$

und $\mu_1 = \frac{\Delta t}{\Delta x_1^2}, \mu_2 = \frac{\Delta t}{\Delta x_2^2}, \theta \in [0, 1]$, ist

- L^2 -stabil für $(1-2\theta)(\mu_1 + \mu_2) \leq \frac{1}{2}$,
- L^∞ -stabil für $(1-\theta)(\mu_1 + \mu_2) \leq \frac{1}{2}$,

2) es ist konsistent mit Abschneidefehler

- $T_j^m = O(\Delta t + \Delta x_1^2 + \Delta x_2^2)$ für $\theta \neq \frac{1}{2}$
- $T_j^m = O(\Delta t^2 + \Delta x_1^2 + \Delta x_2^2)$ für $\theta = \frac{1}{2}$

3) es ist konvergent gleicher Ordnung in der L^2/L^∞ -Norm,
wenn es stabil ist.

Bew: HA \square

Alternating Direction Implicit (ADI) method $\ddot{u} - \Delta u = 0$

Schreibe $\delta_1^2 U_{ij}^{m+1} = U_{i-1,j}^m - 2U_{ij}^m + U_{i+1,j}^m$; analog δ_2^2

Crank-Nicolson: $(1 - \frac{1}{2}\mu_1\delta_1^2 - \frac{1}{2}\mu_2\delta_2^2) U_{ij}^{m+1} = (1 + \frac{1}{2}\mu_1\delta_1^2 + \frac{1}{2}\mu_2\delta_2^2) U_{ij}^m$

Def.: ADI-Verf.: $(1 - \frac{1}{2}\mu_1\delta_1^2)(1 - \frac{1}{2}\mu_2\delta_2^2) U_{ij}^{m+1} = (1 + \frac{1}{2}\mu_1\delta_1^2)(1 + \frac{1}{2}\mu_2\delta_2^2) U_{ij}^m$

$$\Leftrightarrow \begin{cases} (1 - \frac{1}{2}\mu_1\delta_1^2) U_{ij}^{m+1/2} = (1 + \frac{1}{2}\mu_2\delta_2^2) U_{ij}^m & | \quad (1 + \frac{1}{2}\mu_2\delta_2^2) \cdot \dots \\ (1 - \frac{1}{2}\mu_2\delta_2^2) U_{ij}^{m+1/2} = (1 + \frac{1}{2}\mu_1\delta_1^2) U_{ij}^m & | \quad (1 - \frac{1}{2}\mu_1\delta_1^2) \cdot \dots \end{cases} \quad (\star)$$

ADI unterscheidet sich von CN nur durch die Terme $\frac{1}{4}\mu_1\mu_2\delta_1^2\delta_2^2$.

Es hat den Vorteil, dass die zu lösenden Gleichungssysteme (mit Matrizen $1 - \frac{1}{2}\mu_1\delta_1^2$ und $1 - \frac{1}{2}\mu_2\delta_2^2$) tridiagonal sind und somit durch den Thomas-Algorithmus leicht gelöst werden können (bei CN sind die Matrizen viel komplizierter)!

Thm: Das ADI-Verfahren ist L^2 -stabil und für $\mu_1, \mu_2 \leq 1$ auch L^∞ -stabil. Es ist konsistent und konvergent 2. Ordnung in Ort und Zeit.

Bew: HA; nutze (\star) zur Herleitung der Stabilität. □

Finite Differenzen: Parabolische pDgl. (2D Wärmeleitung)

Ausblick: Nichtlineare pDgl.

Für nichtlineare pDgl. ist Stabilität des Verfahrens oft kompliziert zu zeigen.

Bsp: $u_t = \Delta u + 2u(1-u^2) + f$ kann diskretisiert werden durch

$$U_{ij}^{m+1} - U_{ij}^m = \mu_1 \delta_1^2 U_{ij}^{m+1} + \mu_2 \delta_2^2 U_{ij}^{m+1} - 2\Delta t (U_{ij}^{m+1})^3 + 2\Delta t U_{ij}^m + \Delta t F_{ij}^m$$

Für U gilt nicht das Maximumsprinzip (auch nicht für u), allerdings gilt:

$$\text{Thm: } \|U^m\|_{\ell^\infty} \leq \max(1, \|U^0\|_{\ell^\infty}, \max_{x_{ij} \in \partial\Omega, n \leq m} |U_{ij}^n|) + T \|F\|_{\ell^\infty}$$

Bew: Sei $|U_{ij}^{m+1}| > 1$ für ein $x_{ij} \in \partial\Omega$, dann ist

$$\begin{aligned} |U_{ij}^{m+1}|(1 + 2\mu_1 + 2\mu_2 + 2\Delta t) &\leq |U_{ij}^{m+1}(1 + 2\mu_1 + 2\mu_2) + 2\Delta t(U_{ij}^{m+1})^3| \\ &= |U_{ij}^m + \mu_1(U_{i-1,j}^{m+1} + U_{i+1,j}^{m+1}) + \mu_2(U_{i,j-1}^{m+1} + U_{i,j+1}^{m+1}) + 2\Delta t U_{ij}^m + \Delta t F_{ij}^m| \\ &\leq (1 + 2\Delta t) \|U^m\|_{\ell^\infty} + \Delta t \|F\|_{\ell^\infty} + 2(\mu_1 + \mu_2) \|U^{m+1}\|_{\ell^\infty} \end{aligned}$$

$$\Rightarrow \|U^{m+1}\|_{\ell^\infty} \leq \max(1, \max_{x_{ij} \in \partial\Omega} |U_{ij}^{m+1}|) \quad \text{oder} \quad \|U^{m+1}\|_{\ell^\infty} \leq \|U^m\|_{\ell^\infty} + \Delta t \|F\|_{\ell^\infty}$$

$$\Rightarrow \|U^{m+1}\|_{\ell^\infty} \leq \max(1, \max_{x_{ij} \in \partial\Omega} |U_{ij}^{m+1}|, \|U^m\|_{\ell^\infty}) + \Delta t \|F\|_{\ell^\infty}$$

=> Ergebnis folgt per Induktion. □

Finite Differenzen: Parabolische pDgl. (2D Wärmeleitung)

Ausblick: Nichtlineare pDgl.

Mit solchen Beschränktheitsabschätzungen lässt sich alles auf den linearen Fall zurückführen.

Thm: (Stabilität) $\tilde{U} \approx u$ die Lsg. für \tilde{F} und gleiche AB & RB. Dann gilt für ein $C > 0$

und Δt klein genug (beides abhängig von $\|F\|_{\ell^\infty}, \|\tilde{F}\|_{\ell^\infty}, AB, RB$): $\|\tilde{u} - u\|_{\ell^\infty} \leq C \|\tilde{F} - F\|_{\ell^\infty}$

$$\text{Bew: } V_{ij}^{m+1} - V_{ij}^m = \mu_1 \delta_1^2 V_{ij}^{m+1} + \mu_2 \delta_2^2 V_{ij}^{m+1} - 2 \Delta t \left[\left(\frac{V_{ij}^{m+1}}{V_{ij}^m} \right)^3 - \left(\frac{V_{ij}^m}{V_{ij}^{m+1}} \right)^3 \right] + 2 \Delta t V_{ij}^m + \Delta t (\tilde{F}_{ij}^m - F_{ij}^m)$$

$$V = \tilde{u} - u$$

$$= V_{ij}^{m+1} \left(\left(\frac{V_{ij}^{m+1}}{V_{ij}^m} \right)^2 + \left(\frac{V_{ij}^{m+1}}{V_{ij}^m} \right) \frac{V_{ij}^m}{V_{ij}^{m+1}} + \left(\frac{V_{ij}^m}{V_{ij}^{m+1}} \right)^2 \right) =: V_{ij}^{m+1} B_{ij}^m$$

Nun Standard-Argument für linearen Fall:

$$V_{ij}^{m+1} (1 + 2\mu_1 + 2\mu_2 + 2\Delta t B_{ij}^{m+1}) = V_{ij}^m + \mu_1 (V_{i-1,j}^{m+1} + V_{i+1,j}^{m+1}) + \mu_2 (V_{i,j-1}^{m+1} + V_{i,j+1}^{m+1}) + 2\Delta t V_{ij}^m + \Delta t (\tilde{F}_{ij}^m - F_{ij}^m)$$

$$\Rightarrow \|V^{m+1}\|_{\ell^\infty} (1 - 2\Delta t \|B\|_{\ell^\infty}) \leq \|V^m\|_{\ell^\infty} (1 + 2\Delta t) + \Delta t \|\tilde{F} - F\|_{\ell^\infty}$$

$$\|B\|_{\ell^\infty} \leq (\|\tilde{u}\|_{\ell^\infty} + \|u\|_{\ell^\infty})^2 \text{ hängt nur von } F, \tilde{F}, AB \text{ & } RB \text{ ab. Ist } \Delta t \leq \min \left\{ \frac{1}{2}, \frac{1}{8\|B\|_{\ell^\infty}} \right\}, \text{ folgt}$$

$$\frac{1+2\Delta t}{1-2\|B\|_{\ell^\infty}\Delta t} \leq 1 + 2\Delta t + 4\|B\|_{\ell^\infty}\Delta t, \quad \frac{1}{1-2\|B\|_{\ell^\infty}\Delta t} \leq \frac{4}{3} \quad \text{und somit}$$

$$\|V^{m+1}\|_{\ell^\infty} \leq \|V^m\|_{\ell^\infty} (1 + 2\Delta t + 4\|B\|_{\ell^\infty}\Delta t) + 2\Delta t \|\tilde{F} - F\|_{\ell^\infty}$$

$$\leq \|V^0\|_{\ell^\infty} q^{m+1} + 2\Delta t \|\tilde{F} - F\|_{\ell^\infty} \sum_{i=0}^{m-1} q^i$$

$$= \frac{q^m - 1}{q - 1} \leq \frac{q^m}{\Delta t} \leq \frac{(1 + (2 + 4\|B\|_{\ell^\infty}) \frac{1}{m})^m}{\Delta t} \leq \frac{e^{(2 + 4\|B\|_{\ell^\infty})T}}{\Delta t}$$

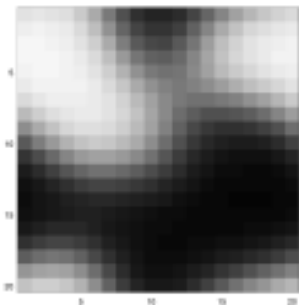
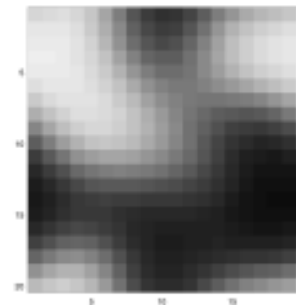
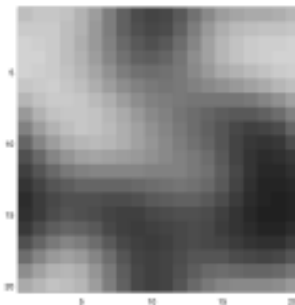
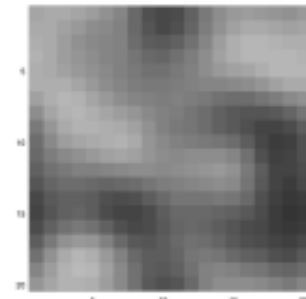
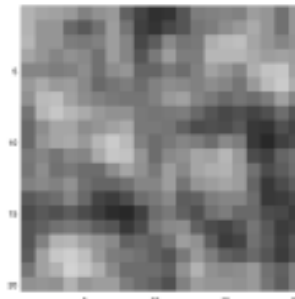
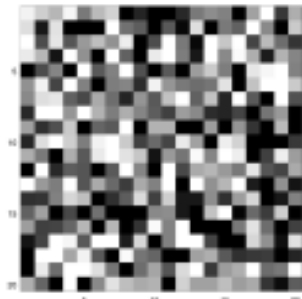
Konvergenz folgt nun aus Konsistenz und Stabilität wie zuvor. \square

Finite Differenzen: Parabolische pDgl. (2D Wärmeleitung)

Beispiel nichtlineare pDgl.

$$u_t = \Delta u + 2u(1-u^2) \quad \text{ist Gradientenfluss zu } E(u) = \frac{1}{2} \int_{\Omega} |\nabla u|^2 + (u^2 - 1)^2 dx$$

$\Rightarrow u = 1$ (weiß) oder -1 (schwarz) werden auf lange Sicht angenommen



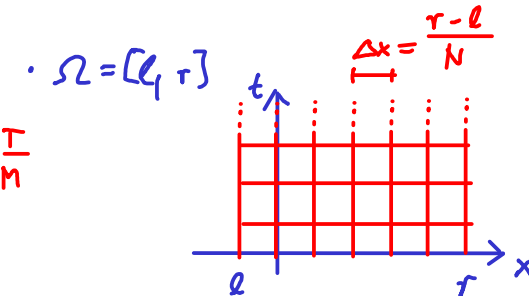
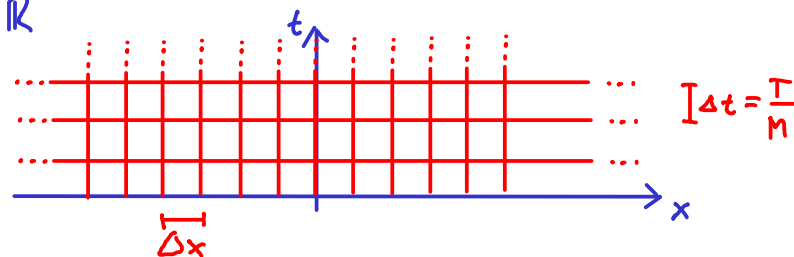
Finite Differenzen: Hyperbolische pDgl. (1D Transportgleichung)

Upwind-Methode

$$u_t + a(t, x) u_x + c(t, x) u = f(t, x) \quad \text{auf } [0, T] \times \Omega, \quad a \geq 0 \quad \text{was ist Interpretation?}$$

$$AB: u(t=0, x) = u_0(x), \quad RB: u(t, l) = u_e(t)$$

Gitter: $\cdot \Omega = \mathbb{R}$



Upwind-Verfahren: $\frac{U_j^{m+1} - U_j^m}{\Delta t} + A_j^m \frac{U_j^m - U_{j-1}^m}{\Delta x} + C_j^m U_j^m = F_j^m$

$$\Leftrightarrow U_j^{m+1} = U_j^m - \frac{\Delta t}{\Delta x} A_j^m (U_j^m - U_{j-1}^m) - \Delta t C_j^m U_j^m + \Delta t F_j^m$$

$$AB: U_j^0 = u(t=0, x_j); \quad RB: U_N^m = u(t^m, r)$$

Falls $a \leq 0$ wähle: $\frac{U_j^{m+1} - U_j^m}{\Delta t} + A_j^m \frac{U_{j+1}^m - U_j^m}{\Delta x} + C_j^m U_j^m = F_j^m$

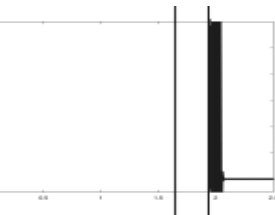
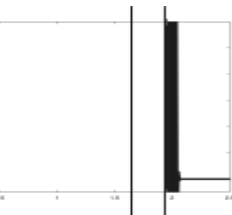
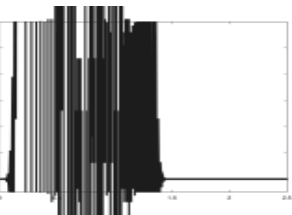
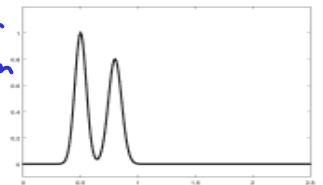
$$AB: U_j^0 = u(t=0, x_j); \quad RB: U_N^m = u(t^m, l)$$

Finite Differenzen: Hyperbolische pDgl. (1D Transportgleichung)

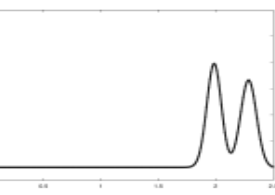
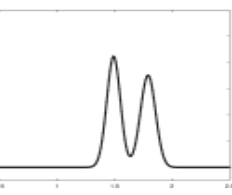
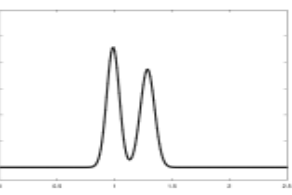
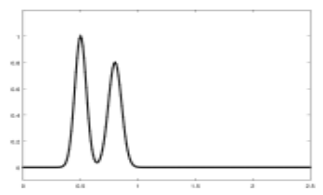
Beispielrechnung

$$\begin{aligned} \dot{u} + u_x &= 0, \quad u(0, x) = e^{-200(x-\frac{1}{2})^2} + 0.8 e^{-150(x-0.8)^2} =: u_0(x) \\ \Rightarrow u(t, x) &= u_0(x-t) \end{aligned}$$

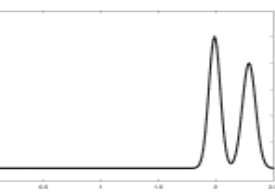
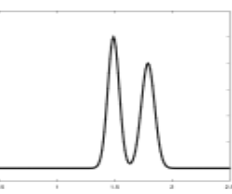
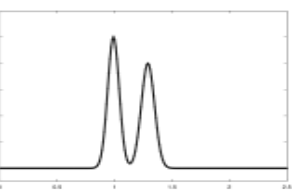
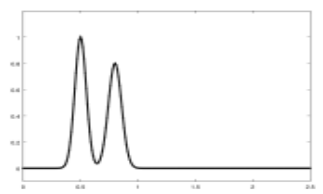
Vorwärts-Differenzen



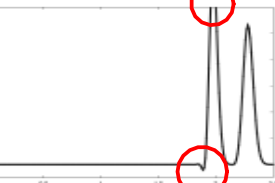
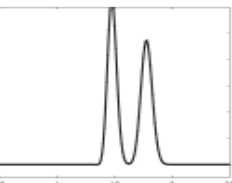
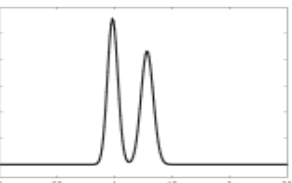
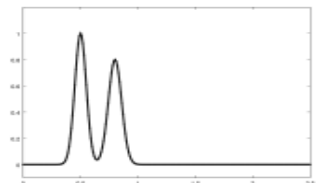
$$\frac{\Delta t}{\Delta x} = 0.9$$



$$\frac{\Delta t}{\Delta x} = 1$$



$$\frac{\Delta t}{\Delta x} = 1.1$$



Finite Differenzen: Hyperbolische pDgl. (1D Transportgleichung)

Lebesgue-Räume

Def.: Sei $\Omega \subset \mathbb{R}^n$ offen, $p \in [1, \infty]$. $\|f\|_{L^p} = \begin{cases} \left(\int_{\Omega} |f|^p dx \right)^{\frac{1}{p}} & 1 < p < \infty \\ \text{esssup}_{x \in \Omega} |f(x)| = \inf_{\tilde{f}=f \text{ f.i.}} \sup_{x \in \Omega} |\tilde{f}(x)|, p=\infty \end{cases}$

$$L^p(\Omega) = \{f: \Omega \rightarrow \mathbb{R} \text{ messbar} \mid \|f\|_{L^p} < \infty\}$$

Thm.: (Hölder-Ungleichung) Für $p, q \in [1, \infty]$, $\frac{1}{p} + \frac{1}{q} = 1$, $f \in L^p(\Omega)$, $g \in L^q(\Omega)$ gilt

$$\int_{\Omega} |fg| dx \leq \|f\|_{L^p} \|g\|_{L^q}$$

Bew.: - Für $a, b \geq 0$, $\lambda \in (0, 1)$ gilt

$$a^\lambda b^{1-\lambda} \leq \lambda a + (1-\lambda)b \quad (\text{geometrischer \leq arithmetischer Durchschnitt}),$$

denn $f(t) = t^\lambda - \lambda t + \lambda - 1$ erfüllt $f(1) = 0 \Rightarrow t^\lambda \leq \lambda t + 1 - \lambda$; nun wähle $t = \frac{a}{b}$

$$\cdot \text{ wähle } a = \left(\frac{|f(x)|}{\|f\|_{L^p}} \right)^p, \quad b = \left(\frac{|g(x)|}{\|g\|_{L^q}} \right)^q, \quad \lambda = \frac{1}{p}, \quad 1-\lambda = \frac{1}{q}$$

$$\Rightarrow \frac{|fg(x)|}{\|f\|_{L^p} \|g\|_{L^q}} \leq \frac{1}{p} \left(\frac{|f(x)|}{\|f\|_{L^p}} \right)^p + \frac{1}{q} \left(\frac{|g(x)|}{\|g\|_{L^q}} \right)^q; \text{ nun integriere über } \Omega. \quad \square$$

Finite Differenzen: Hyperbolische pDgl. (1D Transportgleichung)

L^p-Stabilität

$$u_t + a(t, x)u_x + c(t, x)u = f(t, x) \quad \text{auf } [0, T] \times \Omega, \quad p \in [1, \infty)$$

Thm: Sei $u_0(x), f(x) = 0$ für $|x|$ groß genug, $\Omega = \mathbb{R}$, Lsg. $u \geq 0$ glatt, dann ist

$$\begin{aligned} \|u(t, \cdot)\|_{L^p} &\leq \|u_0\|_{L^p} \exp \left(\int_0^t (\|c(s, \cdot)\|_{L^\infty} + \|a_x(s, \cdot)\|_{L^\infty}) ds \right) \\ &\quad + \int_0^t \|f(r, \cdot)\|_{L^p} \exp \left(\int_r^t (\|c(s, \cdot)\|_{L^\infty} + \|a_x(s, \cdot)\|_{L^\infty}) ds \right) dr \end{aligned}$$

$$\text{Bew: } p\|u\|_{L^p}^{p-1} \frac{d}{dt} \|u\|_{L^p} = \frac{d}{dt} \|u\|_{L^p}^p = p \int_{\Omega} u^{p-1} (f - au_x - cu) dx$$

$$\begin{aligned} &\leq p \left[\|u\|_{L^p}^p \|c\|_{L^\infty} + \|u\|_{L^p}^{p-1} \|f\|_{L^p} \right] - \underbrace{\int_{\Omega} a(u^p)_x dx}_{= - \int_{\Omega} a_x u^p dx} \leq p \left[\|u\|_{L^p}^p \|c\|_{L^\infty} + \|u\|_{L^p}^{p-1} \|f\|_{L^p} + \|a_x\|_{L^\infty} \|u\|_{L^p}^p \right] \\ &\Rightarrow \frac{d}{dt} \|u\|_{L^p} \leq (\|c\|_{L^\infty} + \|a_x\|_{L^\infty}) (\|u\|_{L^p}^p + \|f\|_{L^p}); \text{ nun nutze Gronwall} \quad \square \end{aligned}$$

$$\begin{aligned} \text{Thm: Für } a, c \text{ konstant, } \Omega = \mathbb{R}, \text{ ist } u(t, x) &= e^{-ct} u_0(x - at) + \int_0^t e^{-c(t-s)} f(s, x - a(t-s)) ds \\ \Rightarrow \|u(t, \cdot)\|_{L^p} &\leq e^{-ct} \|u_0\|_{L^p} + \int_0^t e^{-c(t-s)} \|f(s, \cdot)\|_{L^p} ds \quad \forall p \in [1, \infty] \end{aligned}$$

12-Stabilität

$$u_t + au_x + cu = f, \quad a, c \text{ konstant}, \quad a \geq 0, \quad \Omega = \mathbb{R}$$

$$\frac{U_j^{n+1} - U_j^n}{\Delta t} + a \frac{U_j^n - U_{j-n}^n}{\Delta x} + c U_j^n = F_j^n$$

Thm: (L^2 -Stabilität) Sei U_j^n die Lsg. des Upwind-Verfahrens, $\mu = a \frac{\Delta t}{\Delta x}$. Es ist

$$\|U^n\|_{L^2} \leq \begin{cases} e^{-c\Delta t} \|U^0\|_{L^2} + \Delta t \sum_{n=0}^{m-1} \|F^n\|_{L^2} & \text{falls } \mu \leq 1 - c\Delta t, \text{ „}L^2\text{-stabil“} \\ a(c+2K)\Delta t \sum_{n=0}^{m-1} \|U^0\|_{L^2} + \Delta t \sum_{n=0}^{m-1} \|F^n\|_{L^2} e^{(c+2K)(\Delta t - \Delta t)} & \text{falls } \mu \leq 1 + K\Delta t, \text{ „von Neumann-stabil“} \end{cases}$$

$$\text{Bew.: Setze } U_j^n = \frac{1}{2\pi} \int_{-\pi/\Delta x}^{\pi/\Delta x} \hat{U}^n(k) e^{ikj\Delta x} dk$$

$$\Rightarrow \frac{\hat{U}^{n+1}(k) - \hat{U}^n(k)}{\Delta t} + a \frac{\hat{U}^n(k) - e^{-ik\Delta x} \hat{U}^n(k)}{\Delta x} + c \hat{U}^n(k) = \hat{F}^n(k) \quad \forall k \in [-\pi/\Delta x, \pi/\Delta x]$$

$$\Rightarrow \hat{U}^{n+1}(k) = (1 - \mu(1 - e^{-ik\Delta x}) - c\Delta t) \hat{U}^n(k) + \Delta t \hat{F}^n(k) =: \lambda(k) \hat{U}^n(k) + \Delta t \hat{F}^n(k)$$

$$\cdot \text{ Sei } \Lambda = \max_k |\lambda(k)| \Rightarrow \|U^{n+1}\|_{L^2} = \sqrt{\frac{1}{2\pi} \|\hat{U}^{n+1}\|_L^2} \leq \Lambda \sqrt{\frac{1}{2\pi} \|\hat{U}^n\|_{L^2}^2 + \Delta t \sqrt{\frac{1}{2\pi} \|\hat{F}^n\|_{L^2}^2}}$$

für $a < 0$ wäre dies $\approx 1 + \tilde{c}\mu$!!

$$= \Lambda \|U^n\|_{L^2} + \Delta t \|F^n\|_{L^2} \leq \Lambda^{n+1} \|U^0\|_{L^2} + \sum_{n=0}^m \Delta t \Lambda^{m-n} \|F^n\|_{L^2}$$

$$\cdot |\lambda(k)|^2 = (1 - c\Delta t)^2 + 4\mu \left(\sin^2 \frac{k\Delta x}{2} \right) (\mu - (1 - c\Delta t)) \Rightarrow \Lambda \leq \begin{cases} 1 - c\Delta t & \leq \mu \\ 1 + (c+2K)\Delta t & \leq \mu \end{cases}$$

falls $\mu \leq 1 - c\Delta t$
falls $\mu \leq 1 + K\Delta t$ □

Finite Differenzen: Hyperbolische pDgl. (1D Transportgleichung)

ℓ^∞ -Stabilität

$$u_t + a u_x + c u = f, \quad a \geq 0, \quad \Omega = \mathbb{R}$$

$$\frac{U_j^{m+1} - U_j^m}{\Delta t} + A_j^m \frac{U_j^m - U_{j-1}^m}{\Delta x} + C_j^m U_j^m = F_j^m$$

Thm: (ℓ^∞ -Stabilität) Sei U_j^m Lsg. des Upwind-Verfahrens, $m \geq 0, j \in \mathbb{Z}, \mu = \|A\|_{\ell^\infty} \frac{\Delta t}{\Delta x}$.
 Falls $\mu \leq 1$, $\|U^m\|_{\ell^\infty} \leq e^{t^m \|C\|_{\ell^\infty}} \|U^0\|_{\ell^\infty} + \Delta t \sum_{k=0}^{m-1} e^{(t^{m-k} - t^k) \|C\|_{\ell^\infty}} \|F^k\|_{\ell^\infty}$.

Bew: $U_j^{m+1} = U_j^m \left(1 - A_j^m \frac{\Delta t}{\Delta x}\right) + A_j^m \frac{\Delta t}{\Delta x} U_{j-1}^m - \Delta t C_j^m U_j^m + \Delta t F_j^m$
 $\Rightarrow |U_j^{m+1}| \leq \|U^m\|_{\ell^\infty} \left(1 - A_j^m \frac{\Delta t}{\Delta x}\right) + A_j^m \frac{\Delta t}{\Delta x} \|U^m\|_{\ell^\infty} + \Delta t \|C\|_{\ell^\infty} \|U^m\|_{\ell^\infty} + \Delta t \|F^m\|_{\ell^\infty}$
 $\rightarrow \|U^{m+1}\|_{\ell^\infty} \leq (1 + \|C\|_{\ell^\infty} \Delta t) \|U^m\|_{\ell^\infty} + \Delta t \|F^m\|_{\ell^\infty}$
 \Rightarrow nun Induktion in m

□

Thm: Für $C = \text{konstant}$ & $\mu + c \Delta t \leq 1$ gilt sogar $\|U^m\|_{\ell^\infty} \leq e^{-ct^m} \|U^0\|_{\ell^\infty} + \Delta t \sum_{k=0}^{m-1} e^{-c(t^{m-k} - t^k)} \|F^k\|_{\ell^\infty}$

Bew: H A □

Wie sieht es mit $\Omega = [l, r]$ und Dirichlet-RB in ℓ aus?

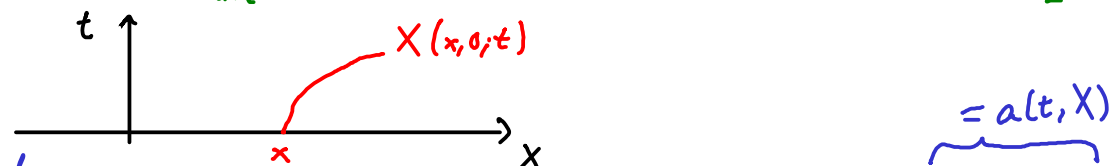
Finite Differenzen: Hyperbolische pDgl. (1D Transportgleichung)

Domain of Dependence

$$u_t(t, x) + a(t, x) u_x(t, x) + c(t, x) u(t, x) = f(t, x)$$

Def: Die durch $\frac{d}{dt} X(x, s; t) = a(t, X(x, s; t))$, $X(x, s; s) = x$ definierte Kurve heißt charakteristische Kurve zur pDgl.

Bsp: $u_t + t u_x = 0 \Rightarrow \frac{d}{dt} X(x, s; t) = t \Rightarrow X(x, s; t) = x + \frac{t^2 - s^2}{2}$



$$\begin{aligned} \text{Es ist } \frac{d}{dt} u(t, X(x, s; t)) &= u_t(t, X(x, s; t)) + u_x(t, X(x, s; t)) \underbrace{\frac{d}{dt} X(x, s; t)}_{= a(t, X)} \\ &= -c(t, X(x, s; t)) u(t, X(x, s; t)) + f(t, X(x, s; t)) \end{aligned}$$

Mit $\tilde{g}(t) := g(t, X(x, s; t))$ ergibt sich $\tilde{u} = -\tilde{c}\tilde{u} + \tilde{f} \Rightarrow$ entlang char. Kurven gilt gDgl.

$$\Rightarrow \tilde{u}(t) = \tilde{u}(s) e^{-\int_s^t \tilde{c}(\tau) d\tau} + \int_s^t \tilde{f}(\tau) e^{-\int_\tau^t \tilde{c}(\tau) d\tau} d\tau \text{ hängt nur von } c, f, u \text{ entlang } (t, X(x, s; t)) \text{ ab!}$$

$$\text{Bsp: } u_t + t u_x = 0 \Rightarrow u(t, x + \frac{t^2 - s^2}{2}) = u(s, x) \Rightarrow u(t, x) = u(0, x - \frac{t^2}{2})$$

Def: Die analytische domain of dependence (dad) von (s, x) ist $\{(X(x, s; t), t) \mid 0 \leq t \leq s\}$.

Courant-Friedrichs-Lowy-Bedingung: analytische dad $\Rightarrow a \frac{\Delta t}{\Delta x} \leq 1$



Finite Differenzen: Hyperbolische pDgl. (1D Transportgleichung)

Konvergenz (Konsistenz + Stabilität)

Def: u löse $u_t + au_x + cu = f$. Der Abschneidefehler für das Upwind-Verfahren ist

$$T_j^m = \frac{u_j^{m+1} - u_j^m}{\Delta t} + a_j \frac{u_j^m - u_{j-1}^m}{\Delta x} + c_j u_j^m - f_j^m \quad (\text{mit } g_j^m = g(t^m, x_j))$$

Thm: (Konsistenz) Das Upwind-Verfahren ist konsistent erster Ordnung, d.h. für eine glatte Lösung u gilt $T_j^m = O(\Delta t + \Delta x)$.

Bew: HA (mittels Taylorentwicklung) \square

Wie bei der Wärmeleitung löst der Fehler $e_j^m = u_j^m - u_j^m$: $\frac{e_j^{m+1} - e_j^m}{\Delta t} + a_j \frac{e_j^m - e_{j-1}^m}{\Delta x} + c_j e_j^m = T_j^m$

Thm: (Konvergenz) u_j^m , $j \in \mathbb{Z}$, $m = 0, \dots, M = \frac{T}{\Delta t}$ löse das Upwind-Verfahren für $u_t + au_x + cu = f$ auf $[0, T] \times \Omega$, $\Omega \subseteq \mathbb{R}$, $a \geq 0 + AB$, u glatt, $\mu \leq 1$. Dann gilt $\|e^m\|_2, \|e^m\|_\infty = O(\Delta t + \Delta x) \forall m$

Bew: Stabilität $\Rightarrow \|e^m\| \leq \Delta t \sum_{k=0}^{m-1} e^{\text{konst} T} \|T^m\| \leq T e^{\text{konst} T} O(\Delta t + \Delta x)$. \square
 nur an den Rand, wo char. Kurven rauslaufen!

Thm: Nun sei $\Omega = [l, r]$ & es gelten RB $u(t, l) = g(t)$. $\|e^m\|_\infty = O(\Delta t + \Delta x)$, $m = 1, \dots, M$.

Bew: HA (leite erst L^∞ -Stabilität für 0-RB her) \square

Finite Differenzen: Hyperbolische pDgl. (1D Transportgleichung)

Verfahren höherer Konsistenzordnung

$$u_t + \alpha u_x = 0$$

Def: Verfahren mit zentralen Differenzen $\frac{U_j^{m+1} - U_j^m}{\Delta t} + A_j \frac{U_{j+1}^m - U_{j-1}^m}{2 \Delta x} = 0$

Vorzeichen von α
spielt keine Rolle mehr!

Lax-Friedrichs-Verfahren $\frac{U_j^{m+1} - \frac{\alpha}{2}(U_{j-1}^m + U_{j+1}^m)}{\Delta t} + A_j \frac{U_{j+1}^m - U_{j-1}^m}{2 \Delta x} = 0$

Lax-Wendroff-Verfahren $\frac{U_j^{m+1} - U_j^m}{\Delta t} + \alpha \frac{U_{j+1}^m - U_{j-1}^m}{2 \Delta x} = \frac{1}{2} \Delta t \alpha^2 \frac{U_{j+1}^m - 2U_j^m + U_{j-1}^m}{\Delta x^2}$
für $\alpha = \text{konst.}$

Wie kommt das Lax-Wendroff-Verf. zustande?

$$u_t = -\alpha u_x \Rightarrow u_{tt} = -\alpha_t u_x - \alpha u_{xt} = -\alpha_t u_x - \alpha (-\alpha u_x)_x$$

$$\text{Taylorentwicklung} \Rightarrow U_j^{m+1} = U_j^m + \Delta t \underbrace{[u_t]_j^m}_{= [\alpha u_x]_j^m} + \frac{\Delta t^2}{2} \underbrace{[u_{tt}]_j^m}_{= [a(\alpha u_x)_{xx}]_j^m} + O(\Delta t^3)$$

$$\Rightarrow \frac{U_j^{m+1} - U_j^m}{\Delta t} + \left[\left(\alpha + \frac{1}{2} \Delta t \alpha_t \right) u_x \right]_j^m = \frac{1}{2} \Delta t [a(\alpha u_x)_{xx}]_j^m + O(\Delta t^2)$$

Thm: (Konsistenz) Für eine glatte Lsg. u ist der Abschneidefehler der drei Verfahren $O(\Delta t + \Delta x^2)$ bzw. $O(\Delta t^2 + \Delta x^2)$ für LW.

Bew: HA \square

Finite Differenzen: Hyperbolische pDgl. (1D Transportgleichung)

12-Stabilität

$u_t + au_x = 0$ auf \mathbb{R} mit $a = \text{konst.}$

Setzen wir $U_j^m = \frac{1}{2\pi} \int_{-\pi/\Delta x}^{\pi/\Delta x} \hat{U}^m(k) e^{ikx_j} dk$ in die Verfahren ein, erhalten wir
 zentrale Diff.: $\frac{\hat{U}^{m+1}(k) - \hat{U}^m(k)}{\Delta t} + a \frac{e^{ik\Delta x} \hat{U}^m(k) - e^{-ik\Delta x} \hat{U}^m(k)}{2\Delta x} = 0$

Lax-Friedrichs: $\frac{\hat{U}^{m+1}(k) - \frac{1}{2} (e^{ik\Delta x} \hat{U}^m(k) + e^{-ik\Delta x} \hat{U}^m(k))}{\Delta t} + a \frac{e^{ik\Delta x} \hat{U}^m(k) - e^{-ik\Delta x} \hat{U}^m(k)}{2\Delta x} = 0$

Lax-Wendroff: $\frac{\hat{U}^{m+1}(k) - \hat{U}^m(k)}{\Delta t} + a \frac{e^{ik\Delta x} \hat{U}^m(k) - e^{-ik\Delta x} \hat{U}^m(k)}{2\Delta x} = \frac{1}{2} \Delta t a^2 \frac{\hat{U}^m(k)}{\Delta x^2} (e^{ik\Delta x} - 2 + e^{-ik\Delta x})$

$\Rightarrow \hat{U}^{m+1}(k) = \lambda(k) \hat{U}^m(k)$ für alle $k \in [-\frac{\pi}{\Delta x}, \frac{\pi}{\Delta x}]$ mit

$$\begin{cases} 1 - \frac{m}{2} (e^{ik\Delta x} - e^{-ik\Delta x}) = 1 - \mu i \sin k\Delta x & , 2D \\ \frac{1}{2} [e^{ik\Delta x} + e^{-ik\Delta x} - \mu (e^{ik\Delta x} - e^{-ik\Delta x})] = \cos k\Delta x - \mu i \sin k\Delta x & , LF \end{cases}$$

$$\lambda(k) = \begin{cases} 1 - \frac{m}{2} (e^{ik\Delta x} - e^{-ik\Delta x}) + \frac{m^2}{2} (e^{ik\Delta x} - 2 + e^{-ik\Delta x}) = 1 - \mu i \sin k\Delta x - 2\mu^2 \sin^2 \frac{k\Delta x}{2} & , LW \end{cases}$$

Thm: (ell²-Stabilität) LF & LW sind ℓ^2 -stabil für $|\mu| \leq 1$, 2D ist für kein μ ℓ^2 -stabil.

Bew: LF: $|\lambda(k)|^2 = \cos^2 k\Delta x + \mu^2 \sin^2 k\Delta x \leq 1$; LW: $|\lambda(k)|^2 = (1 - 2\mu^2 \sin^2 \frac{k\Delta x}{2})^2 + \mu^2 \sin^2 k\Delta x = 1 - 4\mu^2 (1 - \mu^2) \sin^2 \frac{k\Delta x}{2} \leq 1$

2D: $|\lambda(k)|^2 = 1 + \mu^2 \sin^2 k\Delta x > 1 \Rightarrow |\hat{U}^m(k)| \geq (1+c)^{\frac{m}{2}} |\hat{U}^0(k)|$ für $\forall c \leq \mu^2 \sin^2(k\Delta x)$

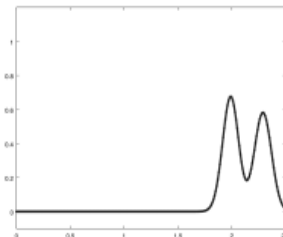
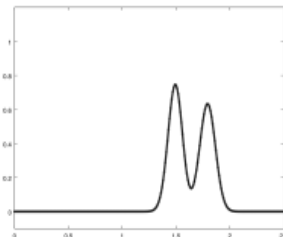
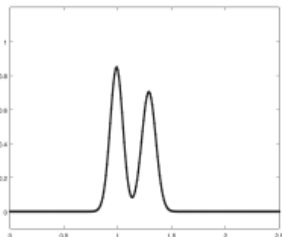
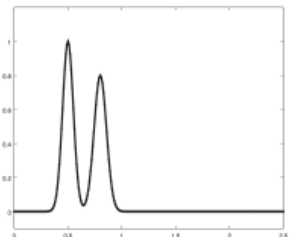
$\Rightarrow a \omega \Delta t \xrightarrow{\mu \text{ konst.}} 0$ folgt $\sqrt{2\pi} \|U^m\|_{\ell^2} = \|\hat{U}^m\|_{\ell^2} \geq \|\hat{U}^m\|_{[\frac{-\pi}{6\Delta x}, \frac{3\pi}{16\Delta x}]} \|_{\ell^2} \geq (1 + \frac{c}{2})^{\frac{m}{2}} \|\hat{U}^0\|_{[\frac{-\pi}{6\Delta x}, \frac{3\pi}{16\Delta x}]} \|_{\ell^2} \rightarrow \infty \square$

Finite Differenzen: Hyperbolische pDgl. (1D Transportgleichung)

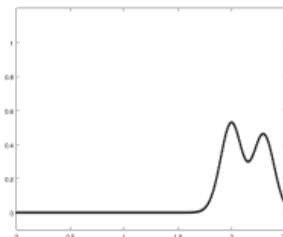
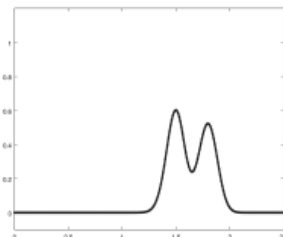
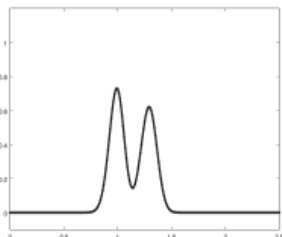
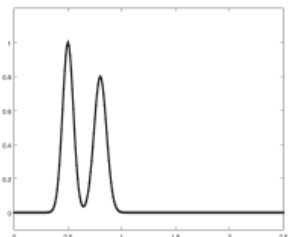
Beispielrechnung

$$u_t + u_x = 0 \quad , \quad \mu = \frac{\Delta t}{\Delta x} = 0.7$$

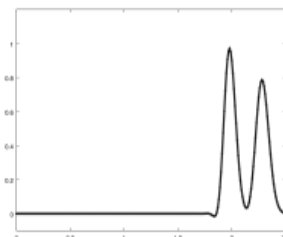
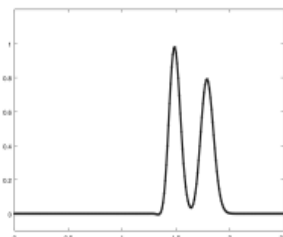
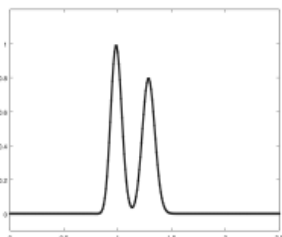
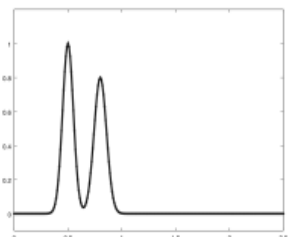
upwind



LF



LW



alle Verfahren sind konvergent in L^2 (folgt aus Stabilität + Konsistenz), aber...

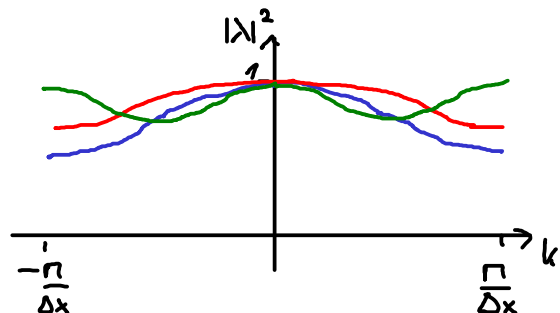
Finite Differenzen: Hyperbolische pDgl. (1D Transportgleichung)

Numerische Dissipation

$$u_t + u_x = 0 \quad \text{hat Lsg. } u(t, x) = u(0, x-t) \quad \Rightarrow \|u\|_{L^2} = \text{konst.}$$

$$\sqrt{2\pi} \|u^m\|_{L^2} = \|\tilde{u}^m\|_{L^2} \text{ mit } |\tilde{u}^m(k)| \leq |\lambda(k)|^m |\tilde{u}^0(k)|$$

$$\text{für } |\lambda(k)|^2 = \begin{cases} 1 - 4\mu(1-\mu) \sin^2 \frac{k\Delta x}{2} & \text{Upwind} \\ 1 - (1-\mu^2) \sin^2 k\Delta x & \text{LF} \\ 1 - 4\mu^2(1-\mu^2) \sin^4 \frac{k\Delta x}{2} & \text{LW} \end{cases}$$



\Rightarrow Frequenzanteile zu $k=0$ bleiben erhalten wegen $|\lambda(0)| = 1$, aber

Frequenzanteile weiter weg von $k=0$ werden gedämpft \Rightarrow „numerische Dissipation“

Def: Gilt für ein Verfahren $|\lambda(k)|^2 \leq 1 - \delta |\sin \frac{k\Delta x}{2}|^{2r}$ nahe bei $k=0$ für ein $\delta > 0$, $r \in \mathbb{N}$,
heißt das Verfahren dissipativ von Ordnung r. (Upwind & LF: $r=1$, LW: $r=2$)

Finite Differenzen: Hyperbolische pDgl. (1D Transportgleichung)

Ausblick: 2D und Nichtlinearität

Erhaltungsprinzip: $u_t + \operatorname{div} [q(x, u)] = 0 \Rightarrow u_t + q_u \cdot u_x + q_x \cdot 1 = 0, \forall x \in \mathbb{R}^2$

\Rightarrow generelle Form: $u_t(t, x) + a(t, x, u(t, x)) \cdot \nabla u(t, x) = f(t, x, u(t, x))$

Lsg. erfüllt $u(t, X(x; t)) = U(x; t)$
für charakteristische Gleichungen

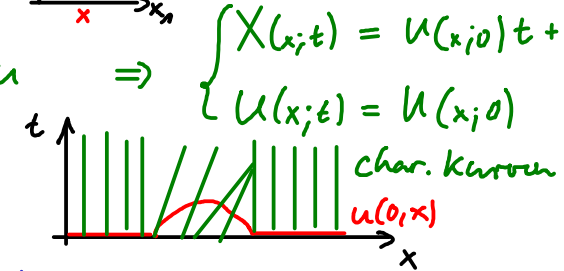
gDgl., d.h. Konzept der DdG gilt auch hier

$$\begin{cases} \dot{X}(x; t) = a(t, X(x; t), U(x; t)), & X(x; 0) = x \\ \dot{U}(x; t) = f(t, X(x; t), U(x; t)) , & U(x; 0) = u_0(x) \end{cases}$$

Bsp: $u_t + a \cdot \nabla u = 0, a \in \mathbb{R}^2 \Rightarrow X(x; t) = at + x, u(t, X(x; t)) = U(x; t) = U(x; 0), \text{d.h. } u(t, y) = u(0, y - at)$

char. Kurve 

Bsp: (Burgers-Gleichung) $u_t + \left(\frac{u^2}{2}\right)_x = 0, \text{d.h. } a(t, x, u) = u \Rightarrow u \text{ ist konstant entlang char. Kurven}$



Das Upwind-Verfahren lautet nun

$$\frac{U_{ij}^{m+1} - U_{ij}^m}{\Delta t} + \frac{1}{\Delta x} \left[a(t^m, x_{ij}, U_{ij}^m) \cdot \begin{pmatrix} U_{ij}^m - U_{i-1,j}^m \\ U_{i,j}^m - U_{i,j-1}^m \end{pmatrix} + a(t^m, x_{ij}, U_{ij}^m) \cdot \begin{pmatrix} U_{i+1,j}^m - U_{ij}^m \\ U_{i,j+1}^m - U_{ij}^m \end{pmatrix} \right] = f(t^m, x_{ij}, U_{ij}^m)$$

neg. Anteil

+ AB + RB an dem Teil von ∂S_2 , von dem die char. Kurven starten.

Ist $|a(t, x, u) \cdot \left(\frac{\Delta t / \Delta x_1}{\Delta t / \Delta x_2} \right)| \leq 1 \forall t, x, u$, folgt L^2 / L^∞ -Stabilität wie zuvor.

Finite Elemente: Elliptische pDgl. (2D Poissons-Gleichung)

PDgl.-Theorie: Einführung

Poisson-Gleichung mit homogenen Dirichlet-Randbedingungen: $\begin{cases} \Delta u = f \text{ auf } \partial\Omega \\ u = 0 \text{ auf } \partial\Omega \end{cases}$
Dies hatten wir interpretiert als notwendige Bedingung dafür, dass u

$$E(u) = \int_{\Omega} \frac{1}{2} |\nabla u(x)|^2 - f(x) u(x) dx \quad (*)$$

unter allen Funktionen $\Omega \rightarrow \mathbb{R}$ mit 0-Randwerten minimiert. Im Detail:

Def: (Gâteaux-Ableitung) Sei X ein Vektorraum, $E: X \rightarrow \mathbb{R}$. Die Gâteaux-Ableitung von E in $u \in X$ in Richtung $v \in X$ ist $\partial_u E(u)(v) = \frac{d}{dt} E(u + tv)|_{t=0}$.

Thm: (Notwendige Optimalitätsbedingung) Minimiert u das Funktional E und existiert $\partial_u E(u)(v)$, so ist $\partial_u E(u)(v) = 0$. warum?

Bsp: Für (*) ist $\partial_u E(u)(v) = \int_{\Omega} \nabla u \cdot \nabla v - fv dx$. Ist u ausreichend differenzierbar, folgt mit partieller Integration $\partial_u E(u)(v) = \int_{\Omega} v (-\Delta u - f) dx$.

Ist u ein Minimum, gilt $\partial_u E(u)(v) = 0$ für „alle“ $v \Rightarrow -\Delta u - f = 0$.

Eigentlich gilt jedoch nur die sog. schwache Formulierung der pDgl.,
 $0 = \partial_u E(u)(v) = \int_{\Omega} \nabla u \cdot \nabla v - fv dx \quad \forall v: \Omega \rightarrow \mathbb{R}, v|_{\partial\Omega} = 0$.

Wie sehr muss u differenzierbar sein, um $\Delta u = f$ auf diese Weise interpretieren zu können?

PDgl.-Theorie: Schwache Ableitung

Def: $C^m(\bar{\Omega})$ ist der Raum der m -mal stetig differenzierbaren Funktionen $f: \bar{\Omega} \rightarrow \mathbb{R}$

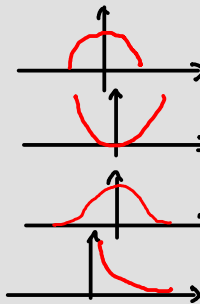
$$\text{mit } \|f\|_{C^m} := \sup_{x \in \bar{\Omega}, |\alpha| \leq m} |D^\alpha f(x)| < \infty$$

$C_0^\infty(\bar{\Omega})$ ist der Raum aller unendlich oft stetig differenzierbaren Funktionen

$f: \bar{\Omega} \rightarrow \mathbb{R}$ mit Träger $\text{supp}(f) := \{x \in \bar{\Omega} \mid f(x) \neq 0\} \subset \bar{\Omega}$ und kompakt.

$L^1_{\text{loc}}(\bar{\Omega}) = \{f: \bar{\Omega} \rightarrow \mathbb{R} \mid f \in L^1(\omega) \forall \bar{\omega} \subset \bar{\Omega} \text{ kompakt}\} = \text{Lokal integrierbare Funktionen}$

Bsp: $x \mapsto \sqrt{1-x^2} \in C^0([-1, 1]) \setminus C^1([-1, 1])$



$x \mapsto |x|^3 \in C^2([-1, 1]) \setminus C^3([-1, 1])$

$x \mapsto \begin{cases} \exp(-\frac{1}{1-x^2}), & x \in (-1, 1) \\ 0 & \text{sonst} \end{cases} \in C_0^\infty(\mathbb{R})$

$x \mapsto \frac{1}{x} \in L^1_{\text{loc}}((0, \infty))$

Def: Sei $u \in L^1_{\text{loc}}(\bar{\Omega})$, α ein Multiindex. $w \in L^1_{\text{loc}}$ heißt schwache α -Ableitung

von u , wenn $\int_{\bar{\Omega}} w(x) v(x) dx = (-1)^{|\alpha|} \int_{\bar{\Omega}} u(x) D^\alpha v(x) dx \quad \forall v \in C_0^\infty(\bar{\Omega})$.

Bsp: $u \in C^m(\bar{\Omega})$, $v \in C_0^\infty(\bar{\Omega}) \Rightarrow \int_{\bar{\Omega}} v \partial_{x_i} u dx = - \int_{\bar{\Omega}} u \partial_{x_i} v dx \Rightarrow \partial_{x_i} u$ ist schwache Ableitung nach x_i ;

analog ist $D^\alpha u$ schwache α -Ableitung für $|\alpha| \leq m$

$x \mapsto |x|$ hat schwache Ableitung $x \mapsto \begin{cases} -1, & x < 0 \\ \text{sonst} \end{cases} \leftarrow \text{prüfen!}$

Finite Elemente: Elliptische pDgl. (2D Poissons-Gleichung)

PDgl.-Theorie: Sobolev-Räume

- Def: • Ein metrischer Raum X heißt vollständig, wenn jede Cauchyfolge in X konvergiert
• Ein vollständiger normierter Raum X mit Skalarprodukt $\langle \cdot, \cdot \rangle_X$ heißt Hilberträum,
wenn $\|x\|_X = \sqrt{\langle x, x \rangle}$ $\forall x \in X$
• Sei $m \in \mathbb{N}$, $p \in [1, \infty]$. Der (m, p) -Sobolev-Raum ist

$$W^{m,p}(\Omega) = \{f \in L^p(\Omega) \mid f \text{ hat schwache } \alpha\text{-Ableitung } D^\alpha f \in L^p(\Omega) \quad \forall |\alpha| \leq m\}$$

$$\text{mit Norm } \|f\|_{W^{m,p}} = \left(\sum_{|\alpha| \leq m} \|D^\alpha f\|_{L^p}^p \right)^{\frac{1}{p}}$$

- Sei $m \in \mathbb{N}$. Der m -Hilberträum ist $H^m(\Omega) = W^{m,2}(\Omega)$

$$\text{mit Skalarprodukt } (f, g)_{H^m} = \sum_{|\alpha| \leq m} \int_{\Omega} D^\alpha f D^\alpha g \, dx.$$

Thm: $W^{m,p}(\Omega)$ ist vollständig.

- Bsp: • $x \mapsto \frac{1}{x^2} \in W^{m,p}((1, \infty)) \quad \forall p \in [1, \infty], m \geq 0$
• $x \mapsto \sqrt{|x|} \in (W^{q,p}((-1, 1)) \cap L^r((-1, 1))) \setminus W^{2,r}((-1, 1)) \quad \forall p \in [1, 2], q, r \in [1, \infty]$
• $x \mapsto \begin{cases} -1 & x \leq 0 \\ n & \text{sonst} \end{cases} \notin W^{m,p}((-n, n)) \quad \forall p$

Thm: (Sparsatz) Ω habe Lipschitz-Rand. $T: W^{1,p}(\Omega) \rightarrow L^p(\partial\Omega)$, $u \mapsto u|_{\partial\Omega}$, ist linear & beschränkt.

Finite Elemente: Elliptische pDgl. (2D Poissongleichung)

PDgl.-Theorie: Allgemeinere elliptische Probleme & Randbed.

Offenbar macht die Minimierung von $E(u) = \int_{\Omega} \frac{|\nabla u|^2}{2} - f u \, dx$ bereits auf $H^1(\Omega) \supset C^2(\bar{\Omega})$ Sinn.

Def: $u \in H_0^1(\Omega) = \{v \in H^1(\Omega) \mid v=0 \text{ auf } \partial\Omega\}$ heißt schwache Lösung von $-\Delta u = f$ in Ω ,
 $u=0$ auf $\partial\Omega$, wenn gilt $0 = \partial_u E(u)(v) = \int_{\Omega} \nabla u \cdot \nabla v - f v \, dx \quad \forall v \in H_0^1(\Omega)$.

Um etwas allgemeiner elliptische pDgl. & RB zu erhalten, betrachten wir nun

$$E(u) = \int_{\Omega} \frac{1}{2} \nabla u(x)^T A(x) \nabla u(x) + q(x) u(x)^2 - f(x) u(x) \, dx + \int_{\Gamma_1} \frac{p(x)}{2} u(x)^2 - g(x) u(x) \, dx$$

für $A(x) \in \mathbb{R}^{d \times d}$ stetig differenzierbar & symmetrisch positiv definit, $q \in L^\infty(\Omega)$, $q \geq 0$,
 $\Gamma_1 \subset \partial\Omega$ mit positivem Maß, $p \in L^\infty(\Gamma_1)$, $p \geq 0$, $f \in L^2(\Omega)$, $g \in L^2(\Gamma_1)$, zu minimieren für
 $u \in H^1(\Omega)$ (warum macht dies Sinn?) mit $u=h \in L^2(\Gamma_2)$ auf $\Gamma_2 = \partial\Omega \setminus \Gamma_1$.

\Rightarrow Für alle $v \in H^1(\Omega)$ mit $v|_{\Gamma_2} = 0$ gilt

$$0 = \partial_u E(u)(v) = \int_{\Omega} \nabla v^T A \nabla u + q u v - f v \, dx + \int_{\Gamma_1} p u v - g v \, dx \quad \text{"schwache Formulierung"} \\ \text{wenn } u \text{ glatt} \Rightarrow \int_{\Omega} v [-\operatorname{div}(A \nabla u) + q u \cdot f] \, dx + \int_{\Gamma_1} (h^T A \nabla u + p u - g) v \, dx$$

$$\Rightarrow -\operatorname{div}(A \nabla u) + q u = f \quad \text{in } \Omega \quad \text{mit} \quad \begin{cases} u = h & \text{auf } \Gamma_2 \\ h^T A \nabla u = g & \text{auf } \Gamma_1 \cap \{p=0\} \\ h^T A \nabla u + p u = g & \text{auf } \Gamma_1 \end{cases} \quad \begin{array}{l} \text{Dirichlet-RB} \\ \text{Neumann-RB} \\ \text{Robin-RB} \end{array}$$

\Rightarrow überall auf $\partial\Omega$ genau Line RB

PDgl.-Theorie: Schwache Lösung

Die schwache Formulierung der pDgl. erhält man aus der Energie E durch $0 = \partial_u E(u)(v)$ für alle erlaubten v ; aus der pDgl. selbst erhält man sie durch Multiplikation der pDgl. mit v & partielle Integration.

Bsp: $\Delta u = f$ in Ω , $u=0$ auf $\partial\Omega$ \Rightarrow erlaubte v sind $v \in H_0^1(\Omega)$

$$\rightarrow \int_{\Omega} v \Delta u \, dx = \int_{\Omega} v f \, dx \Rightarrow \int_{\Omega} \nabla u \cdot \nabla v \, dx = \int_{\Omega} v f \, dx \quad \forall v \in H_0^1(\Omega) \text{ ist schwache Formulierung}$$

Def: Die schwache Formulierung zu $\begin{cases} -\operatorname{div}(A(x) \nabla u(x)) + b(x) \cdot \nabla u(x) + q(x)u(x) = f(x) \text{ in } \Omega \\ u(x) = h(x) \quad \text{auf } \Gamma_2 = \partial\Omega \setminus \Gamma_1 \\ (A(x)\nabla u(x)) \cdot n + p(x)u(x) = g(x) \quad \text{auf } \Gamma_1 \end{cases}$

$$\text{ist } 0 = \int_{\Omega} \nabla v^T A \nabla u + v b \cdot \nabla u + q v u - f v \, dx + \int_{\Gamma_1} p v u - g v \, dx \quad \forall v \in H_0^1(\Omega) = \{v \in H^1(\Omega) \mid v|_{\Gamma_2} = 0\}$$

& $u = h$ auf Γ_2

$u \in H^1(\Omega)$ heißt schwache Lösung der pDgl., wenn es die schwache Formulierung erfüllt.

Finite Elemente: Elliptische pDgl. (2D Poissons-Gleichung)

PDgl.-Theorie: zugehörige Bilinearform

Durch Setzen von $u(x) = \tilde{u}(x) + h(x) \quad \forall x \in \Omega$ kann man die RB $u|_{\partial\Omega} = h$ zurückführen auf $\tilde{u}|_{\partial\Omega} = 0$

Bsp: $\Delta u = 0$ in Ω , $u = h$ auf $\partial\Omega \Rightarrow$ Finde $u \in H^1(\Omega)$ mit $\int_{\Omega} \nabla u \cdot \nabla v \, dx = 0 \quad \forall v \in H_0^1(\Omega)$ & $u|_{\partial\Omega} = h$
 \Rightarrow Finde $\tilde{u} \in H_0^1(\Omega)$ mit $\int_{\Omega} \nabla \tilde{u} \cdot \nabla v + \nabla h \cdot \nabla v \, dx = 0 \quad \forall v \in H_0^1(\Omega)$

Daher betrachten wir nur Nullrandwerte. Sei daher u schwache Lösung, d.h.

$$u \in H_0^1(\Omega) \text{ mit } 0 = \int_{\Omega} \nabla v^T A \nabla u + v b \cdot \nabla u + q u v - f v \, dx + \int_{\Gamma} p u v - g v \, dx \quad \forall v \in H_0^1(\Omega).$$

$$\begin{aligned} \text{Setze } a(u, v) &= \int_{\Omega} \nabla v^T A \nabla u + v b \cdot \nabla u + q u v \, dx + \int_{\Gamma} p u v \, dx \text{ "zugehörige Bilinearform"} \\ l(v) &= \int_{\Omega} f v \, dx + \int_{\Gamma} g v \, dx \end{aligned}$$

a ist eine Bilinearform, d.h. linear in u & v ($a(u+\lambda \tilde{u}, v) = a(u, v) + \lambda a(\tilde{u}, v)$, analog in v)

l ist eine Linearform ($l(v+\lambda \tilde{v}) = l(v) + \lambda l(\tilde{v})$)

u ist schwache Lsg. der pDgl. \Leftrightarrow

$$u \in H_0^1(\Omega) \quad \& \quad a(u, v) = l(v) \quad \forall v \in H_0^1(\Omega)$$

Finite Elemente: Elliptische pDgl. (2D Poissons-Gleichung)

PDgl.-Theorie: Existenz, Eindeutigkeit, Äquivalenz zu Minimierung

Def: Sei X ein Hilbertraum, $a: X \times X \rightarrow \mathbb{R}$ eine Bilinearform, $\ell: X \rightarrow \mathbb{R}$ linear.

Wir benötigen folgende Bedingungen: $\exists c, C > 0$, sodass für alle $u, v \in X$ gilt

Koerzivität/Elliptizität: $a(u, u) \geq c \|u\|_X^2$

Beschränktheit: $|a(u, v)| \leq C \|u\|_X \|v\|_X$

Beschränktheit: $|\ell(v)| \leq C \|v\|_X$

Thm: (Lax-Milgram-Lemma) Sei X ein Hilbertraum, a eine koerzierte, beschränkte Bilinearform, ℓ linear und beschränkt. Dann existiert eine eindeutige Lösung $u \in X$ zu $a(u, v) = \ell(v) \quad \forall v \in X$

Thm: Sei zusätzlich a symmetrisch, d.h. $a(u, v) = a(v, u) \quad \forall u, v \in X$. Dann ist

$$a(u, v) = \ell(v) \quad \forall v \in X \quad \Leftrightarrow \quad u = \underset{v \in X}{\operatorname{argmin}} \frac{1}{2} a(\tilde{u}, \tilde{u}) - \ell(\tilde{u})$$

Bew: „ \Rightarrow “ Sei $v \in X \Rightarrow \frac{1}{2} a(v, v) - \ell(v) - (\frac{1}{2} a(u, u) - \ell(u)) = \frac{1}{2} a(v-u, v-u) + a(v-u, u) - \ell(v-u)$
 $= \frac{1}{2} a(v-u, v-u) \geq \frac{c}{2} \|v-u\|_X^2$

„ \Leftarrow “ Setze $E(u) = \frac{1}{2} a(u, u) - \ell(u)$, dann ist $0 = \partial_u E(u)(v) = a(u, v) - \ell(v) \quad \forall v \in X \quad \square$

Finite Elemente: Elliptische pDgl. (2D Poissongleichung)

PDgl.-Theorie: Schwache Lösung Poisson-Problem

$\Omega \subset \mathbb{R}^d$ beschränkt, Lipschitz

Thm: $a(v, u) = \int_{\Omega} \nabla u \cdot \nabla v \, dx$ ist eine koerzive, beschränkte Bilinearform auf $H_0^1(\Omega)$,
 $\ell(v) = \int_{\Omega} f v \, dx$ mit $f \in L^2(\Omega)$ ist eine beschränkte Linearform auf $H_0^1(\Omega)$.

Kor: Es existiert eine eindeutige schwache Lösung u von $-\Delta u = f$ in Ω , $u=0$ auf $\partial\Omega$.

Bew (Thm):

- $|\ell(v)| \leq \int_{\Omega} |f v| \, dx \leq \|f\|_{L^2} \|v\|_{L^2} \leq \|f\|_{L^2} \sqrt{\|v\|_{L^2}^2 + \|\nabla v\|_{L^2}^2} = \|f\|_{L^2} \|v\|_{H^1}$
- $|a(u, v)| \leq \sum_{i=1}^d \int_{\Omega} |\partial_{x_i} u \partial_{x_i} v| \, dx \leq \sum_{i=1}^d \|\partial_{x_i} u\|_{L^2} \|\partial_{x_i} v\|_{L^2}$
 $\leq (\|u\|_{L^2}, \|\partial_{x_1} u\|_{L^2}, \dots, \|\partial_{x_d} u\|_{L^2})^T \cdot (\|v\|_{L^2}, \|\partial_{x_1} v\|_{L^2}, \dots, \|\partial_{x_d} v\|_{L^2})^T$
 $\leq \sqrt{\|u\|_{L^2}^2 + \|\partial_{x_1} u\|_{L^2}^2 + \dots + \|\partial_{x_d} u\|_{L^2}^2} \cdot \sqrt{\|v\|_{L^2}^2 + \|\partial_{x_1} v\|_{L^2}^2 + \dots + \|\partial_{x_d} v\|_{L^2}^2} = \|u\|_{H^1} \|v\|_{H^1}$
- $a(v, v) = \int_{\Omega} |\nabla v|^2 \, dx = \frac{1}{2} \|\nabla v\|_{L^2}^2 + \frac{1}{2} \|\nabla v\|_{L^2}^2 \geq \frac{1}{2} \|\nabla v\|_{L^2}^2 + C \|v\|_{L^2}^2 \geq \min\left(\frac{1}{2}, C\right) \|v\|_{H^1}^2$
 $= \|\partial_{x_1} v\|_{L^2}^2 + \dots + \|\partial_{x_d} v\|_{L^2}^2$ Poincaré-Friedrichs-Ungleichung!
- Bilinearität & Linearität klar (vorliegt!) \square

Finite Elemente: Elliptische pDgl. (2D Poissongleichung)

PDgl.-Theorie: Poincaré-Friedrichs-Ungleichung

Thm: (Poincaré-(Friedrichs-)Ungleichung) $\Omega \subset \mathbb{R}^n$ beschränkt & zsmhd habe Lipschitz-Rand.

$\Gamma \subset \partial\Omega$ sei einfach zsmhd mit $|\Gamma| > 0$. Es existiert ein $C > 0$, sodass für alle

$$v \in H_{\Gamma}^1 = \{ v \in H^1(\Omega) \mid v=0 \text{ auf } \Gamma \} \quad \text{gilt} \quad \|v\|_{L^2} \leq C \|\nabla v\|_{L^2}.$$

Bew.: in 1D, $\partial\Omega$ da $\Omega = [a, b]$, $v(a) = 0$:

$$\begin{aligned} \|v\|_{L^2}^2 &= \int_a^b v(x)^2 dx = \int_a^b \left(\int_a^x v'(y) dy \right)^2 dx \leq \int_a^b \left(\int_a^b |v'(y)| dy \right)^2 dx = (b-a) \left(\int_a^b |v'(x)| dx \right)^2 \\ &\leq (b-a) \left(\|1\|_{L^2} \|v'\|_{L^2} \right)^2 = (b-a)^2 \|v'\|_{L^2}^2 \end{aligned}$$

• in 2D mit $\Omega = [a, b] \times [c, d]$, $v(a, x_2) = 0$:

$$\begin{aligned} \|v\|_{L^2}^2 &= \int_c^d \int_a^b v^2 dx = \int_c^d \|v(\cdot, x_2)\|_{L^2}^2 dx \leq (b-a)^2 \int_c^d \|\partial_{x_2} v(\cdot, x_2)\|_{L^2}^2 dx \\ &\leq (b-a)^2 \int_c^d \int_a^b (\partial_{x_2} v)^2 dx = (b-a)^2 \|\nabla v\|_{L^2}^2 \end{aligned}$$

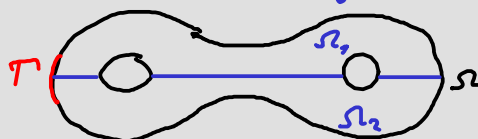
• in 2D, Ω einfach zusammenhängend: $\exists \phi: [a, b] \times [c, d] \rightarrow \Omega$ Lipschitz

mit ϕ^{-1} Lipschitz, $\phi(\Gamma) = \{a\} \times [c, d]$; L sei die Lipschitz-konstante von ϕ, ϕ^{-1} .

$$\begin{aligned} \|v\|_{L^2}^2 &= \int_{\Omega} v^2 dx = \int_a^b \int_c^d (v \circ \phi)^2 |\det D\phi| dx \leq 2L^2 \|v \circ \phi\|_{L^2}^2 \leq 2L^2 (b-a)^2 \|\nabla(v \circ \phi)\|_{L^2}^2 = C \|\nabla \phi (\nabla v) \circ \phi\|_{L^2}^2 \\ &\leq CL^2 \|(\nabla v) \circ \phi\|_{L^2}^2 = CL^2 \int_a^b \int_c^d (\nabla v)^2 \phi dx = CL^2 \int_{\Omega} \nabla v^2 |\det D\phi| dx \leq 2CL^4 \|\nabla v\|_{L^2}^2. \end{aligned}$$

PDgl.-Theorie: Poincaré-Friedrichs-Ungleichung II

- analoger Beweis in d Dimensionen für einfach 2mhgcl. Gebiet Ω mit Lipschitz-Rand, $v=0$ auf $T \subset \partial\Omega$ einfach 2mhgcl mit $|T| > 0$.
- Für beliebiges Ω 2mhgcl. mit Lipschitz-Rand, $v=0$ auf $T \subset \partial\Omega$ 2mhgcl mit $|T| > 0$ zerleite Ω in Lipschitzgebiete $\Omega_1, \dots, \Omega_N$ mit $v=0$ auf Teilen des Randes



und nutze $\|v\|_{L^2}^2 = \|v|_{\Omega_1}\|_{L^2}^2 + \dots + \|v|_{\Omega_N}\|_{L^2}^2$,
 $\|\nabla v\|_{L^2}^2 \geq \|\nabla v|_{\Omega_1}\|_{L^2}^2 + \dots + \|\nabla v|_{\Omega_N}\|_{L^2}^2$

□

Thm: Für alle $v \in H_0^1(\Omega)$ gelten die nicht verbessrbbaren Ungleichungen

$$1) \|v\|_{L^2}^2 \leq \left(\frac{b-a}{\pi}\right)^2 \|\nabla v\|_{L^2}^2 \quad \text{falls } \Omega = [\alpha, b]$$

$$2) \|v\|_{L^2}^2 \leq \frac{1}{2\pi^2} \|\nabla v\|_{L^2}^2 \quad \text{falls } \Omega = [0, 1]^2$$

Bew: 1) HA: Finde v mit Gleichheit und beweise " \leq " durch genauere Rechnung als oben
 (prüfe für dieses v , welche Ungleichungen verbessert werden müssen!)

2) HA: mit semidiskreter Fourier-Transformation

□

Finite Elemente: Elliptische pDgl. (2D Poissongleichung)

PDgl.-Theorie: Schwache Lösung allgemeine elliptische pDgl.

Thm: Sei Ω Lipschitz, $\Gamma_1, \Gamma_2 = \partial\Omega \setminus \Gamma_0$ mit $|\Gamma_0|, |\Gamma_1| > 0$, $A \in L^\infty(\Omega; \mathbb{R}^{d \times d})$ mit $\xi^T A \xi \geq c |\xi|^2 \forall \xi \in \mathbb{R}^d$

- $B \in L^\infty(\Omega; \mathbb{R}^d)$ mit $|B(x)| \leq C q(x) \quad \forall x \in \Omega$
- $q \in L^\infty(\Omega)$ mit $q \geq 0$
- $p \in L^\infty(\Gamma_n)$ mit $p \geq 0$
- $f \in L^2(\Omega)$, $g \in L^2(\Gamma_n)$

Dann ist $a(u, v) = \int_{\Omega} \nabla v^T A \nabla u + v B \cdot \nabla u + q v u \, dx + \int_{\Gamma_n} p u v \, dx$ lin. kэр. beschränkt
Bilinearform auf $H_{\Gamma_1}^1(\Omega)$ und $b(v) = \int_{\Omega} f v \, dx + \int_{\Gamma_n} g v \, dx$ beschränkt & linear.

Kor: $\exists!$ schwache Lösung von

$$\begin{cases} -\operatorname{div}(A(x) \nabla u(x)) + B(x) \cdot \nabla u(x) + q(x) u(x) = f(x) & \text{in } \Omega \\ u(x) = 0 & \text{auf } \Gamma_2 \\ (A Q) \nabla u(x) \cdot n + p(x) u(x) = g(x) & \text{auf } \Gamma_n \end{cases}$$

Spursatz

Bew (Thm): $|\ell(v)| \leq \int_{\Omega} |f v| \, dx + \int_{\Gamma_n} |g v| \, dx \leq \|f\|_{L^2} \|v\|_{L^2} + \|g\|_{L^2(\Gamma_n)} \|v\|_{L^2(\Gamma_n)} \leq (\|f\|_{L^2} + C \|g\|_{L^2(\Gamma_n)}) \|v\|_{H^1}$

$|a(u, v)| \leq \|A\|_{C^\alpha} \|\nabla v\|_{L^2} \|\nabla u\|_{L^2} + \|B\|_{L^\infty} \|v\|_{L^2} \|\nabla u\|_{L^2} + \|q\|_{L^\infty} \|u\|_{L^2} \|v\|_{L^2} + \|p\|_{L^\infty} \|u\|_{L^2(\Gamma_n)} \|v\|_{L^2(\Gamma_n)}$

$\leq \text{Kons.} \cdot \|v\|_{H^1} \|u\|_{H^1}$

$a(v, v) \geq \int_{\Omega} c |\nabla v|^2 - \|B\| \|v \nabla v\| + q v^2 \geq \int_{\Omega} (c - \tilde{c}) |\nabla v|^2 + \tilde{c} \left(|\nabla v| - \frac{\|B\|}{2\tilde{c}} |v| \right)^2 \, dx \geq (c - \tilde{c}) \|\nabla v\|_{L^2}^2 \geq \text{Kons.} \|v\|_{H^1}^2 \square$

Finite Elemente: Elliptische pDgl. (2D Poissons-Gleichung)

Ritz-Galerkin-Verfahren: Existenz, Eindeutigkeit, Minimierung

Thm: Sei $a: X \times X \rightarrow \mathbb{R}$ eine koerzive beschränkte Bilinearform auf dem Hilbertraum X , $l: X \rightarrow \mathbb{R}$ linear und beschränkt. Sei $X_h \subset X$ ein abgeschlossener Teilraum. Dann existiert eine eindeutige Lösung $u_h \in X_h$ von $a(u_h, v_h) = l(v_h) \quad \forall v_h \in X_h$.

Def: u_h heißt Ritz-Galerkin-Approximation an die Lösung $u \in X$ von $a(u, v) = l(v) \quad \forall v \in X$.
 Bew: a ist koerziv & beschränkte Bilinearform auf X_h , l ist beschränkte Linearform auf X_h
 \Rightarrow Lax-Milgram liefert eindeutiges u_h . (prüfen!) □

Thm: Ist a zusätzlich symmetrisch, so ist $u_h = \arg\min_{v_h \in X_h} \frac{1}{2} a(v, v) - l(v)$.

Bew: analog zu Beweis in X . □

Die Ritz-Galerkin-Approximation u_h besitzt also die gleichen Eigenschaften wie u !

Ist $\dim X_h < \infty$, existiert eine Basis $\phi_1, \dots, \phi_N \in X_h$. Jedes $u_h \in X_h$ lässt sich schreiben als $u_h = \sum_{i=1}^N u_i \phi_i$.
 $\Rightarrow a(u_h, v_h) = (u_1, \dots, u_N) A \begin{pmatrix} v_1 \\ \vdots \\ v_N \end{pmatrix}, \quad l(v_h) = (B_1, \dots, B_N) \begin{pmatrix} v_1 \\ \vdots \\ v_N \end{pmatrix}$

mit $A_{ij} = a(\phi_i, \phi_j)$, $B_i = l(\phi_i)$

\Rightarrow Ritz-Galerkin-Approximation löst $A^T \begin{pmatrix} u_1 \\ \vdots \\ u_N \end{pmatrix} = \begin{pmatrix} B_1 \\ \vdots \\ B_N \end{pmatrix}$

Ritz-Galerkin-Verfahren: Fehlerschätzung

$$a: X \times X \rightarrow \mathbb{R} \text{ mit } a(v, v) \geq c \|v\|_X^2 \text{ & } |a(u, v)| \leq C \|u\|_X \|v\|_X, \quad l: X \rightarrow \mathbb{R} \text{ mit } |l(v)| \leq \tilde{C} \|v\|_X$$

$$X_h \subset X, \quad a(u, v) = l(v) \quad \forall v \in X, \quad a(u_h, v_h) = l(v_h) \quad \forall v_h \in X_h$$

Thm: (Galerkin-Orthogonalität) $a(u_h - u, v_h) = 0 \quad \forall v_h \in X_h$

Bew: Subtrahiere $a(u, v_h) = l(v_h) \quad \forall v_h \in X_h$ von $a(u_h, v_h) = l(v_h) \quad \forall v_h \in X_h$ \square

Def: Ist a symmetrisch, so ist $\langle u, v \rangle_a = a(u, v)$ ein Skalarprodukt auf X , das Energieskalarprodukt. $\|u\|_a = \sqrt{\langle u, u \rangle_a}$ heißt Energie norm.

Galerkin-Orthogonalität besagt, dass der Approximationfehler $u_h - u$ orthogonal zu X_h bzgl. $\langle \cdot, \cdot \rangle_a$ ist.

Kor: (Céa-Lemma) $\|u_h - u\|_X \leq \frac{C}{c} \min_{v_h \in X_h} \|v_h - u\|_X$, "Fast-Bestapproximation"

(Bestapproximation) Ist a symmetrisch, gilt $\|u_h - u\|_a \leq \min_{v_h \in X_h} \|v_h - u\|_a$

Bew: $C \|u_h - u\|_X^2 \leq a(u_h - u, u_h - u) = a(u_h - u, v_h - u) \leq C \|u_h - u\|_X \|v_h - u\|_X \quad \forall v_h \in X_h$

• a symmetrisch $\Rightarrow \|u_h - u\|_a^2 = a(u_h - u, u_h - u) = a(u_h - u, v_h - u) \leq \|u_h - u\|_a \|v_h - u\|_a \quad \forall v_h \in X_h \quad \square$

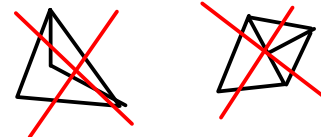
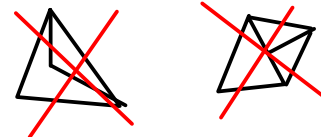
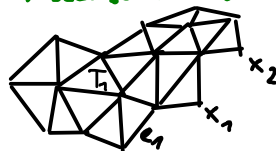
Cauchy-Schwarz

u_h ist (fast) die bestmögliche Approximation an u . Man muss nur noch $\min_{v_h \in X_h} \|v_h - u\|_{X_h}$ abschätzen.

Finite Elemente: Elliptische pDgl. (2D Poissons-Gleichung)

Lineare FE: Ansatz

Def: Sei $\Omega \subset \mathbb{R}^2$. Eine Triangulierung von Ω ist ein Tripel (V, E, T) mit Knotenmenge $V = (x_1, \dots, x_N) \in (\mathbb{R}^2)^N$, Kantenmenge $E = (e_1, \dots, e_L)$, Dreiecksmenge $T = (T_1, \dots, T_m)$, wobei jede Kante bzw. jedes Dreieck die konvexe Hülle zweier bzw. dreier Knoten ist, jeder Schnitt zweier Dreiecke entweder eine gemeinsame Seite oder leer ist, $\overline{\Omega} = \bigcup_{i=1}^m T_i$, jede Kante eine Dreiecksseite ist und $T_i \neq \emptyset \forall i$.



$$h_T = \text{diam } T, \quad h = \max_{T \in \mathcal{T}} h_T = \text{Gitterweite}$$

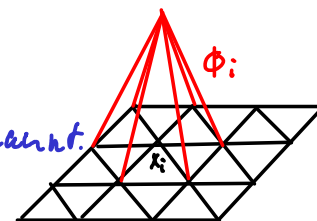
Wählt man $X_h \subset H^1(\Omega)$ als die Menge stückweise affiner Funktionen, $X_h = \{v: C(\Omega) \mid v|_T \in P_1 \forall T \in \mathcal{T}\}$

$(P_n = \{\text{Polynome von Grad } \leq n\})$, ist eine Basis gegeben durch die „FE-Hütchenfunktionen“

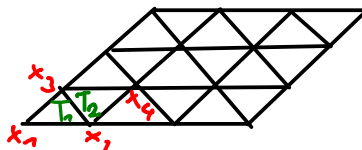
$\phi_1, \dots, \phi_N \in X_h$, die definiert sind durch $\phi_i(x_j) = \begin{cases} 1 & \text{falls } i=j \\ 0 & \text{sonst} \end{cases}$.

Die Elemente der gewählten Basis werden auch FE-Tornfunktionen genannt.

Da bei FE meistens $\text{supp } \phi_i \cap \text{supp } \phi_j = \emptyset$, ist $A_{ij} = a(\phi_i, \phi_j)$ dünn besetzt.



Lineare FE: Matrixassemblierung



$$\text{Knotenarray} = \begin{bmatrix} -x_1- \\ -x_2- \\ \vdots \\ -x_N- \end{bmatrix} = \begin{bmatrix} 0 & 0 \\ 1 & 0 \\ 0.5 & 0.5 \\ 1.5 & 0.5 \end{bmatrix}$$

$$\text{Konnektivitätsarray} = \begin{bmatrix} 1 & 2 & 3 \\ 3 & 2 & 4 \\ \dots & \dots & \dots \\ 7 & 8 & 9 \\ \vdots & \vdots & \vdots \end{bmatrix} \leftarrow T_e \quad \leftarrow T_i$$

Die Berechnung der Matrix $A = (\alpha(\phi_i, \phi_j))_{ij}$ nennt sich Assemblierung.

Da a von der Form $a(u, v) = \int_{\Omega} Q(u, v) dx = \sum_{k=1}^m \int_{T_k} Q(u, v) dx$ für einen bilinearen Operator Q ist, wird hierzu über die Dreiecke iteriert. hier ohne $\partial\Omega$ -Anteil; dieser geht analog...

Sei $T_e = \text{co}(x_{i_1}, x_{i_2}, x_{i_3})$ dann sind auf T_e nur $\phi_{i_1}, \phi_{i_2}, \phi_{i_3}$ ungleich 0

$$\Rightarrow \int_{T_e} Q(\phi_m, \phi_n) dx = 0 \text{ für } m \notin \{i_1, i_2, i_3\} \text{ oder } n \notin \{i_1, i_2, i_3\}$$

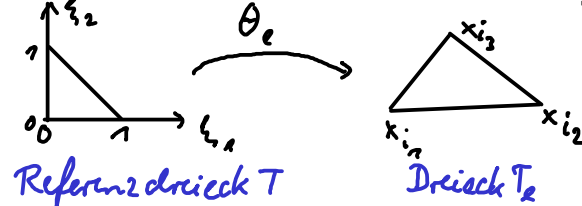
\Rightarrow man berechnet die lokale Systemmatrix $A^e = \left(\int_{T_e} Q(\phi_{i_m}, \phi_{i_n}) dx \right)_{m, n=1, 2, 3}$ und addiert sie in A in Position (i_m, i_n) , $m, n = 1, 2, 3$, d.h. man rechnet

$$A = \sum_{e=1}^M L_e^T A^e L_e \quad \text{für } L_e = \begin{pmatrix} 0 & 1 & 0 & 0 & 0 & \dots \\ 0 & 0 & 1 & 0 & 0 & \dots \\ 0 & 0 & 0 & 1 & 0 & \dots \\ \vdots & \vdots & \vdots & \vdots & \vdots & \ddots \end{pmatrix}$$

Bsp.: $A = \begin{bmatrix} \dots & \dots & \dots & \dots & \dots \\ \dots & +K & +K & +K & \dots \\ \dots & -K & \dots & -K & \dots \\ \dots & -K & \dots & -K & \dots \\ \dots & \dots & \dots & \dots & \dots \end{bmatrix}$

$$A^e = \begin{pmatrix} x & x & x \\ x & x & x \\ x & x & x \end{pmatrix}$$

Lineare FE: Berechnung lokale Systemmatrix



$$\theta_e(\xi) = x_{i_1} + \begin{pmatrix} x_{i_2} - x_{i_1} & x_{i_3} - x_{i_1} \end{pmatrix} \begin{pmatrix} \xi_1 \\ \xi_2 \end{pmatrix}$$

Det

bildet T auf T_e ab.

Dreiecksfläche = |T_e| = |(x_{i_2} - x_{i_1}) x (x_{i_3} - x_{i_1})| / 2 = det Dθ_e / 2

Setze $\psi_1(\xi) = 1 - \xi_1 - \xi_2$, $\psi_2(\xi) = \xi_1$, $\psi_3 = \xi_2 \Rightarrow$ auf T_e ist $\phi_{i_m} \circ \theta_e = \psi_m$, $\nabla \phi_{i_m} \circ \theta_e = D\theta_e^{-T} \nabla \psi_m$

Nun kann A^e mit Hilfe der ψ_i und θ_e berechnet werden!

Bsp: • $a(u, v) = \int_R uv \, dx \Rightarrow A_{mn}^e = \int_{T_e} \phi_{i_m} \phi_{i_n} \, dx = \int_T \psi_m \psi_n \, | \det D\theta_e | \, d\xi = 2 |T_e| \int_T \psi_m \psi_n \, d\xi$

$$\Rightarrow A^e = \frac{|T_e|}{\pi^2} \begin{pmatrix} 2 & 1 & 1 \\ 1 & 2 & 1 \\ 1 & 1 & 2 \end{pmatrix}$$

• $a(u, v) = \int_R \nabla u \cdot \nabla v \, dx \Rightarrow A_{mn}^e = \int_{T_e} \nabla \phi_{i_m} \cdot \nabla \phi_{i_n} \, dx = \int_T \nabla \psi_m^T D\theta_e^{-1} D\theta_e^{-T} \nabla \psi_n \, | \det D\theta_e | \, d\xi$

$$= |T_e| \nabla \psi_m^T D\theta_e^{-1} D\theta_e^{-T} \nabla \psi_n$$

$$D\theta_e^{-1} = \frac{1}{2|T_e|} \begin{pmatrix} (x_{i_3} - x_{i_1})_2 & -(x_{i_3} - x_{i_1})_1 \\ -(x_{i_3} - x_{i_1})_2 & (x_{i_1} - x_{i_3})_1 \end{pmatrix} \Rightarrow D\theta_e^{-1} D\theta_e^{-T} = \frac{1}{4|T_e|^2} \underbrace{\begin{pmatrix} |x_{i_3} - x_{i_1}|^2 & -(x_{i_3} - x_{i_1}) \cdot (x_{i_2} - x_{i_1}) & -(x_{i_3} - x_{i_1}) \cdot (x_{i_2} - x_{i_1}) \\ -(x_{i_3} - x_{i_1}) \cdot (x_{i_2} - x_{i_1}) & |x_{i_2} - x_{i_1}|^2 & (x_{i_2} - x_{i_1}) \cdot (x_{i_3} - x_{i_1}) \\ -(x_{i_3} - x_{i_1}) \cdot (x_{i_2} - x_{i_1}) & (x_{i_2} - x_{i_1}) \cdot (x_{i_3} - x_{i_1}) & |x_{i_3} - x_{i_1}|^2 \end{pmatrix}}_R$$

$$\Rightarrow A^e = \frac{1}{4|T_e|} \begin{pmatrix} 1 & 1 & 1 \\ 1 & 0 & 0 \\ 0 & 0 & 1 \end{pmatrix} R \begin{pmatrix} 1 & 0 & 0 \\ 0 & 1 & 0 \\ 0 & 0 & 1 \end{pmatrix} = \frac{1}{4|T_e|} \begin{pmatrix} x_{i_2} - x_{i_3} & & \\ & x_{i_3} - x_{i_1} & \\ & x_{i_1} - x_{i_2} & \end{pmatrix} (x_{i_2} - x_{i_3} \mid x_{i_3} - x_{i_1} \mid x_{i_1} - x_{i_2})$$

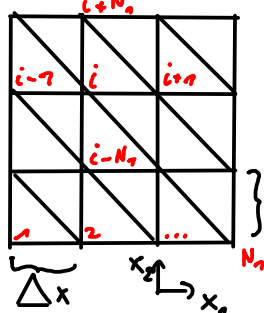
Lineare FE: Masse- & Steifigkeitsmatrix für reguläres Gitter

Def: Sei Φ_1, \dots, Φ_N eine Basis des FE-Raums X_h .

$$\text{Massenmatrix } M_h = \left(\int_{\Omega} \Phi_i \cdot \Phi_j \, dx \right)_{ij}, \quad \text{Steifigkeitsmatrix } L_h = \left(\int_{\Omega} \nabla \Phi_i \cdot \nabla \Phi_j \, dx \right)_{ij}.$$

Assemblierung von $B_i := b(\Phi_i)$ funktioniert ebenfalls mittels Iteration über die Dreiecke (HA); ist $b(v) = \int_{\Omega} f v \, dx$ für $f \in X_h$ kann man auch $B = M_h \begin{pmatrix} f(x_0) \\ \vdots \\ f(x_N) \end{pmatrix}$ rechnen

Auf einem regelmäßigen Gitter können wir die Systemmatrix auch direkt ausrechnen:



$$\Delta x \nabla \Phi_i = \begin{pmatrix} 0 \\ -1 \\ 0 \end{pmatrix} \begin{pmatrix} 0 \\ -1 \\ -1 \end{pmatrix} + \begin{pmatrix} 1 \\ 0 \\ 0 \end{pmatrix} \begin{pmatrix} -1 \\ 0 \\ -1 \end{pmatrix} + \begin{pmatrix} 0 \\ 1 \\ 0 \end{pmatrix} \begin{pmatrix} 0 \\ -1 \\ 0 \end{pmatrix}$$

$$\text{Bsp: } \int_{\Omega} |\nabla \Phi_i|^2 \, dx = \frac{1}{2} \left[(-1)^2 + (0)^2 + (1)^2 + (0)^2 + (0)^2 + (-1)^2 \right] = 4$$

$$\int_{\Omega} \nabla \Phi_i \cdot \nabla \Phi_{i+n} \, dx = \frac{1}{2} \left[(-1) \cdot (0) + (-1) \cdot (1) \right] = -1$$

$$\int_{\Omega} \nabla \Phi_i \cdot \nabla \Phi_{i-n} \, dx = \int_{\Omega} \nabla \Phi_i \cdot \nabla \Phi_{i+N_n} \, dx = \int_{\Omega} \nabla \Phi_i \cdot \nabla \Phi_{i-N_n} \, dx = -1$$

$$\Rightarrow L_h = \begin{pmatrix} \dots & -1 & \dots & -1 & 4 & -1 & \dots & -1 & \dots \end{pmatrix}$$

$$\Rightarrow L_h \begin{pmatrix} u_0 \\ \vdots \\ u_N \end{pmatrix} = -u_{i-N_n} - u_{i+n} + 4u_i - u_{i+n} - u_{i-N_n}$$

$$\text{Finit Differenzen für } -\Delta: \frac{-u_{i-N_n} - u_{i+n} + 4u_i - u_{i+n} - u_{i-N_n}}{\Delta x^2}$$

$$\text{Bsp: } \int_{\Omega} \Phi_i^2 \, dx = \frac{\Delta x^2}{4}, \quad \int_{\Omega} \Phi_i \Phi_{i \pm 1} \, dx = \int_{\Omega} \Phi_i \Phi_{i \pm N_n} \, dx = \int_{\Omega} \Phi_i \Phi_{i \pm (N_n - 1)} \, dx = \frac{\Delta x^2}{8} \quad (\text{HA}) \Rightarrow M_h = \frac{\Delta x^2}{8} \begin{pmatrix} \dots & 1 & 1 & \dots & i & 2 & 1 & \dots & 1 & 1 & \dots \end{pmatrix}$$

Finite Elemente: Elliptische pDgl. (2D Poissongleichung)

Lineare FE: Interpolationsfehler (auf Referenzdreieck)

Def: $I_h u = \sum_{i=1}^n u(x_i) \phi_i \in X_h$ heißt FE-Interpolant von u

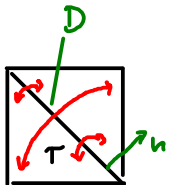
Thm: Es gibt $C > 0$ sodass für alle $u \in H^2(\tau)$ gilt $\|u - I_h u\|_{L^2} \leq C \|u\|_{H^2} = C \|Du\|_{L^2}$,
 $\|\nabla u - \nabla I_h u\|_{L^2} \leq C \|u\|_{H^2}$. Referenzdreieck $\|A\|_{L^2}^2 = \sqrt{\sum_{i,j} |A_{ij}|^2 dx}$

Bew.: Sei $v \in H^1([0, \tau]^2)$ mit $\int_0^\tau v(s, 0) ds = 0$.

$$\begin{aligned} \|v\|_{L^2}^2 &= \int_0^\tau \int_0^\tau (v(x_1, x_2) - \int_0^\tau v(s, 0) ds)^2 dx_1 dx_2 = \int_0^\tau \left| \int_0^\tau v(x_1, x_2) - v(s, x_2) ds + \int_0^\tau v(s, x_2) - v(s, 0) ds \right|^2 dx_1 dx_2 \\ &= \int_0^\tau \int_0^\tau \int_0^{x_2} \frac{\partial v}{\partial x_1}(t, x_2) dt ds + \int_0^\tau \int_0^{x_2} \frac{\partial v}{\partial x_2}(s, t) dt ds \Big|_{dx_1 dx_2}^2 \\ &\leq \int_0^\tau \left(\int_0^\tau \int_0^{x_2} \left| \frac{\partial v}{\partial x_1}(t, x_2) \right| dt ds + \int_0^\tau \int_0^{x_2} \left| \frac{\partial v}{\partial x_2}(s, t) \right| dt ds \right)^2 dx_1 dx_2 \\ &\leq 2 \int_0^\tau \int_0^\tau \left(\int_0^\tau \int_0^{x_2} \left| \frac{\partial v}{\partial x_1}(t, x_2) \right| dt ds \right)^2 + \left(\int_0^\tau \int_0^{x_2} \left| \frac{\partial v}{\partial x_2}(s, t) \right| dt ds \right)^2 dx_1 dx_2 \\ &\leq 2 \int_0^\tau \int_0^\tau \int_0^\tau \int_0^{x_2} \left| \frac{\partial v}{\partial x_1}(t, x_2) \right|^2 dt ds dx_1 dx_2 + 2 \int_0^\tau \int_0^\tau \int_0^\tau \int_0^{x_2} \left| \frac{\partial v}{\partial x_2}(s, t) \right|^2 ds dt dx_1 dx_2 \\ &= 2 \left\| \frac{\partial v}{\partial x_1} \right\|_{L^2}^2 + 2 \left\| \frac{\partial v}{\partial x_2} \right\|_{L^2}^2 = 2 \|\nabla v\|_{L^2}^2 \end{aligned}$$

Analog für v mit $\int_0^\tau v(0, s) ds = 0$.

Lineare FE: Interpolationsfehler - Forts.



- Sei $v \in H^1(T)$, $\hat{v} : [0,1]^2 \rightarrow \mathbb{R}$, $\hat{v} = v$ auf T , $\hat{v}(x_1, x_2) = v(1-x_2, 1-x_1)$ auf $[0,1]^2 \setminus T$
dann ist $\hat{v} \in H^1([0,1]^2)$ mit $\|\hat{v}\|_{L^2}^2 = 2\|v\|_{L^2}^2$ (klar), $\|\nabla \hat{v}\|_{L^2}^2 = 2\|\nabla v\|_{L^2}^2$ (denn $\nabla \hat{v} = \nabla v$ auf T)
und $\nabla \hat{v}(x_1, x_2) = \begin{pmatrix} 0 & -1 \\ -1 & 0 \end{pmatrix} \nabla v(1-x_2, 1-x_1)$ auf $[0,1]^2 \setminus T$: Sei $\varphi \in C_0^\infty([0,1]^2; \mathbb{R}^2)$, dann ist

$$\int_T \hat{v} \operatorname{div} \varphi \, dx = \int_T v \operatorname{div} \varphi \, dx + \int_{T^c} \hat{v} \operatorname{div} \varphi \, dx = \int_T v \cdot \varphi \cdot n \, dx - \int_T \nabla v \cdot \varphi \, dx + \int_{T^c} \hat{v} \cdot \varphi \cdot (-n) \, dx - \int_{T^c} \nabla \hat{v} \cdot \varphi \, dx = - \int_{T^c} \nabla v \cdot \varphi \, dx$$
- Sei $v \in H^1(T)$ mit $\int_0^1 v(s, 0) \, ds = 0$ oder $\int_0^1 v(0, s) \, ds = 0$, dann ist $\|v\|_{L^2}^2 = \frac{1}{2}\|\hat{v}\|_{L^2}^2 \leq \|\nabla \hat{v}\|_{L^2}^2 = 2\|\nabla v\|_{L^2}^2$
 \Rightarrow mit $v = \nabla u - \nabla I_h u$ folgt $\|\nabla u - \nabla I_h u\|_{L^2}^2 \leq 2\|\nabla^2 u - \nabla^2 I_h u\|_{L^2}^2 = 2\|\nabla^2 u\|_{L^2}^2$
- Sei $v \in H^2(T)$ mit $v(0,0) = v(1,0) = 0$.

$$\|v\|_{L^2}^2 = \int_0^1 \|v(x_n, \cdot)\|_{L^2}^2 \, dx_n \leq 2 \int_0^1 v(x_n, 0)^2 + \|v(x_n, \cdot) - v(x_n, 0)\|_{L^2}^2 \, dx_n \stackrel{\text{Poincaré}}{\leq} 2\|v(\cdot, 0)\|_{L^2}^2 + 2 \int_0^1 \left\| \frac{\partial v}{\partial x_2}(x_n, \cdot) \right\|_{L^2}^2 \, dx_n$$

$$\stackrel{\text{Poincaré}}{\leq} 2\left\| \frac{\partial v}{\partial x_n}(\cdot, 0) \right\|_{L^2}^2 + 2\left\| \frac{\partial v}{\partial x_2} \right\|_{L^2}^2 \stackrel{\text{Spursatz}}{\leq} 2C \left\| \frac{\partial v}{\partial x_n} \right\|_{H^1}^2 + 2\|\nabla v\|_{L^2}^2 \leq 2(C+1)\|\nabla v\|_{L^2}^2 + 2C\|\nabla^2 v\|_{L^2}^2$$

 von vorher $\leq (6C+4)\|\nabla^2 v\|_{L^2}^2$
 \Rightarrow mit $v = u - I_h u$ folgt $\|u - I_h u\|_{L^2}^2 \leq (6C+4)\|\nabla^2 u - \nabla^2 I_h u\|_{L^2}^2 = (6C+4)\|\nabla^2 u\|_{L^2}^2 \square$

Lineare FE: Quasiuniforme Triangulierung

Def: Eine Triangulierung $(V, \mathcal{E}, \mathcal{T})$ nennen wir $\frac{1}{p}$ -quasiuniform, wenn für alle $T_e \in \mathcal{T}$ die affine Transformation $\theta_e: T \rightarrow T_e$ des Referenzdreiels T auf T_e erfüllt und $\|D\theta_e\|_2 \leq p$.
 Konditionszahl z.B. Länge 2-Norm

Eine geometrische Interpretation ist folgende:

Thm: $r_T \geq h_T/p \quad \forall T \in \mathcal{T} \Rightarrow \frac{1}{p}$ -quasiuniform $\Rightarrow r_T \geq h_T/8p \quad \forall T \in \mathcal{T}$



Bew: Sei θ die Referenztransformation. Inkreis $r_T = \frac{2|T|}{a+b+c}$, $2|T| = |\det D\theta| = b_1 b_2$, $\|D\theta\|_2 = \sqrt{b_1^2 + b_2^2} \leq h_T/2$, $b_1 \leq a+b+c \leq b_1 + b_2 + \sqrt{2}b_1 \leq 4b_1$, 1) $\frac{\|D\theta\|_2}{p} \leq \frac{2h_T}{8} \leq r_T \leq b_2 = \|D\theta^{-1}\|_2^{-1}$, 2) $r_T \geq \frac{b_2}{4} \geq \frac{b_1}{4p} \geq \frac{h_T}{8p}$ \square

Thm: Sei T_e ein Dreieck einer $\frac{1}{p}$ -quasiuniformen Triangulierung, $e \subset \overline{T}_e$ eine Kante. Es gibt $C \equiv C(p)$ sodass

- Spurrate: $\|v\|_{L^2(e)} \leq C(h_{T_e}^{-\frac{1}{2}} \|v\|_{L^2(T_e)} + h_{T_e}^{\frac{1}{2}} \|\nabla v\|_{L^2(T_e)}) \quad \forall v \in H^s(T_e)$
- Poincaré-Ungleichung: $\|v\|_{L^2(T_e)} \leq Ch_{T_e} \|\nabla v\|_{L^2(T_e)} \quad \forall v \in H_0^1(T_e)$
- Poincaré-Ungleichung II: $\|v - \bar{v}\|_{L^2(T_e)} \leq Ch_{T_e} \|\nabla v\|_{L^2(T_e)}, \quad \bar{v} = \frac{1}{|T_e|} \int_{T_e} v dx \quad \forall v \in H^s(T_e)$
- Inkryp.-Fehler: $\|v - I_n v\|_{L^2(T_e)} \leq Ch_{T_e}^2 \|v\|_{H^2(T_e)}, \quad \|\nabla v - \nabla I_n v\|_{L^2(T_e)} \leq Ch_{T_e} \|v\|_{H^2(T_e)} \quad \forall v \in H^2(T_e)$

Bew: HA (zeige & nutze $h_{T_e}/\sqrt{2} \leq \|D\theta_e\|_2 \leq \sqrt{2}h_{T_e}, \|D\theta_e^{-1}\|_2 \leq p/\|D\theta_e\|_2 \leq \sqrt{2}p/h_{T_e}, |T_e| = \frac{|\det D\theta_e|}{2} = \frac{\|D\theta_e\|_2}{2\|D\theta_e^{-1}\|_2})$

Finite Elemente: Elliptische pDgl. (2D Poissons-Gleichung)

Lineare FE: A priori Fehlerabschätzung

$$a: X \times X \rightarrow \mathbb{R} \text{ mit } a(v, v) \geq c \|v\|_X^2 \text{ & } |a(u, v)| \leq C \|u\|_X \|v\|_X, \quad l: X \rightarrow \mathbb{R} \text{ mit } |l(v)| \leq \tilde{C} \|v\|_X$$

$$X_h \subset X = H_0^1(\Omega), \quad a(u, v) = l(v) \quad \forall v \in X, \quad a(u_h, v_h) = l(v_h) \quad \forall v_h \in X_h$$

Wir wissen bereits $\|u - u_h\|_{H^1}^2 \leq C \min_{v_h \in X_h} \|u - v_h\|_{H^1}^2$ wie groß ist dies?

Thm: Auf einer $\frac{1}{p}$ -quasiuniformen Triangulierung mit Gitterweite h existiert $\hat{C} > 0$, was abhängig von p , mit $\|u - I_h u\|_{L^2} \leq \hat{C} h^2 \|u\|_{H^2}$, $\|\nabla u - \nabla I_h u\|_{L^2} \leq \hat{C} h \|u\|_{H^2}$.

$$\text{Bew.: } \|u - I_h u\|_{L^2}^2 = \sum_{\ell=1}^m \|u - I_h u\|_{L^2(T_\ell)}^2 \leq \sum_{\ell=1}^m \hat{C} h^4 \|u\|_{H^2(T_\ell)}^2 = \hat{C} h^4 \|u\|_{H^2}^2$$

- analog für $\|\nabla u - \nabla I_h u\|_{L^2}^2$

□

$$\text{korr: } \|u - u_h\|_{H^1}^2 \leq C \|u - I_h u\|_{H^1}^2 \leq C \hat{C}^2 h^2 (1 + h^2) \|u\|_{H^2}^2 \leq \tilde{C} h^2 \|u\|_{H^2}^2$$

Finite Elemente: Elliptische pDgl. (2D Poissons-Gleichung)

Lineare FE: Aubin-Nitsche Dualitätstrick

$a: X \times X \rightarrow \mathbb{R}$ koerziv, beschränkt, bilinear, $\ell: X \rightarrow \mathbb{R}$ beschränkt, linear, $X_h \subset X$ Unterraum
 $u \in X: a(u, v) = \ell(v) \quad \forall v \in X, \quad u_h \in X_h: a(u_h, v_h) = \ell(v_h) \quad \forall v_h \in X_h$

Wir wissen $\|u_h - u\|_H \leq Ch \|u\|_{H^2} \Rightarrow \|u_h - u\|_2 \leq Ch \|u\|_{H^2}$; tatsächlich gilt jedoch oft $\|u_h - u\|_2 \leq Ch \|u\|_2$

Thm: (Aubin-Nitsche-Lemma) Sei H Hilbertraum mit stetiger Einbettung $X \subset H$, $w \in X$

mit $a(v, w) = (u_h - u, v)_H \quad \forall v \in X$. Es gibt $C > 0$ abhängig von a mit
 adjungierte Bil.-Form $\|u_h - u\|_H^2 \leq C \|u_h - u\|_X \inf_{w \in X_h} \|w - w_h\|_X$

Bew: $\|u_h - u\|_H^2 = (u_h - u, u_h - u)_H = a(u_h - u, w) = a(u_h - u, w - w_h) \leq C \|u_h - u\|_X \|w - w_h\|_X \quad \forall w_h \in X_h$
 ist dies wohldefiniert?

Kor: Sei $X = H_T^1(\Omega)$, und für a gelte, dass die Lösung w_r von $a(v, w_r) = (r, v)_{L^2} \quad \forall v \in L^2$

erfüllt: $\|w_r\|_{H^2} \leq C \|r\|_{L^2} \quad \forall r \in L^2(\Omega)$. Dann ist $\|u_h - u\|_{L^2} \leq \tilde{C} h^2 \|u\|_{H^2}$

Bew: Mit $H = L^2(\Omega)$ ist $\|u_h - u\|_{L^2}^2 \leq C \|u_h - u\|_H \inf_{w_h \in X_h} \|w - w_h\|_H \leq \tilde{C} h \|u\|_{H^2} h \|w\|_{H^2} \leq \tilde{C} ch^2 \|u\|_{H^2} \|u_h - u\|_{L^2}$

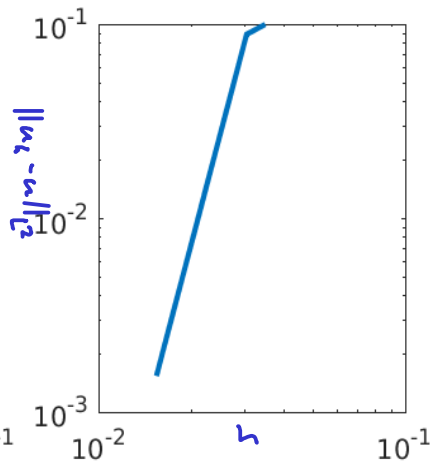
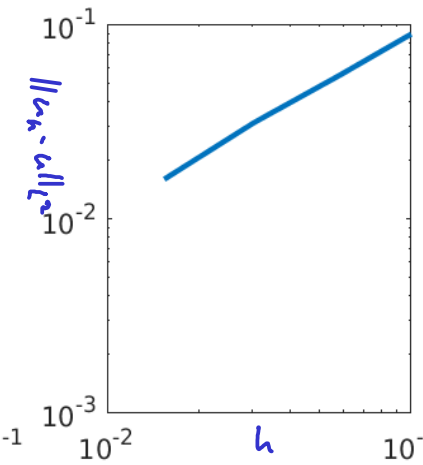
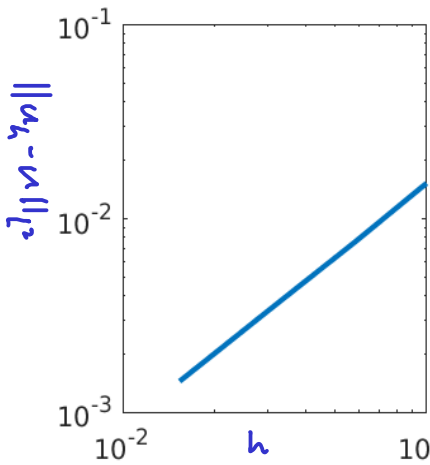
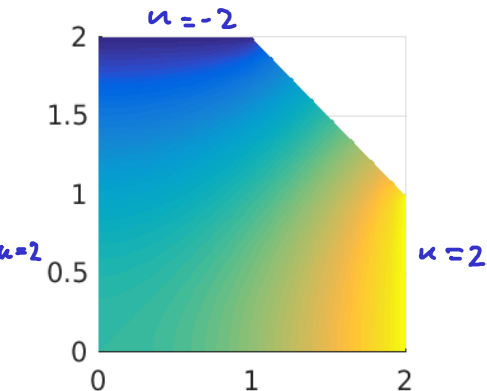
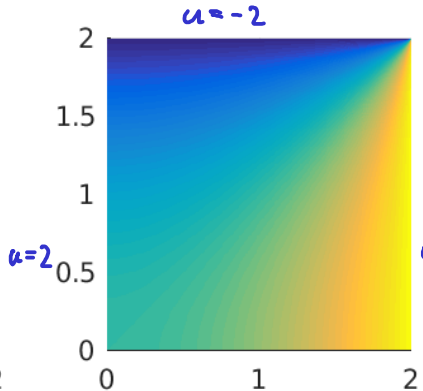
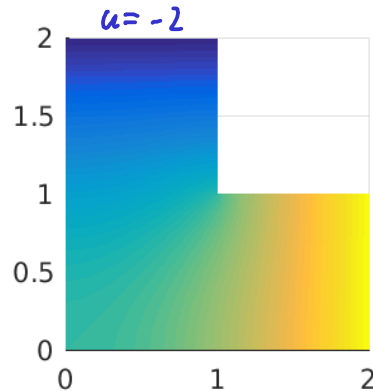
Beachte: Die Abschätzungen setzen voraus, dass $u \in H^2$ & $w_r \in H^2$ mit $\|w_r\|_{H^2} \leq C \|r\|_{L^2}$;

Oft gilt jedoch nicht $u, w_r \in H^2$, z.B. für $\Omega = \square \Rightarrow \|u_h - u\| = O(h^{\frac{1}{2}})$ keiner

Finite Elemente: Elliptische pDgl. (2D Poisongleichung)

Lineare FE: Beispielrechnung

$$-\Delta u = 0 \quad \text{auf } \Omega$$



Finite Elemente: Elliptische pDgl. (2D Poissons-Gleichung)

Lineare FE: Regularität (Friedrichs-Theorem)

Wir haben gezeigt $\|u_h - u\|_{H^2} \leq Ch \|u\|_{H^2}$ & $\|u_h - u\|_{L^2} \leq Ch^2 \|u\|_{H^2}$ falls $|w_r|_{H^2} \leq C \|r\|_{L^2}$

Sind $u, w_r \in H^2$, gilt $|w_r|_{H^2} \leq C \|r\|_{L^2}$, und wie groß ist $\|u\|_{H^2}$?

Bsp: $\Omega = [0,1]^2$, $a(u,v) = \int_{\Omega} \nabla u \cdot \nabla v + uv \, dx$, $\ell(v) = \int_{\Omega} fv \, dx$,

$$\left\{ \begin{array}{l} u \in X = H_0^1(\Omega), \quad a(u,v) = \ell(v) \quad \forall v \in X \\ w_r \in X, \quad a(v, w_r) = (r, v)_L \quad \forall v \in X \end{array} \right\} \Rightarrow \left\{ \begin{array}{l} \|u\|_{H^2} \leq C \|f\|_{L^2} \\ \|w_r\|_{H^2} \leq C \|r\|_{L^2} \end{array} \right.$$

Bew: (Beweis für u ; für w_r analog) $\|u\|_{L^2}^2 \leq \|u\|_{H^1}^2 \leq a(u,u) = \ell(u) \leq \|f\|_{L^2} \|u\|_{L^2}$

$$\begin{aligned} \|u\|_{H^1}^2 &= \int_{\Omega} \left| \frac{\partial u}{\partial x_1} \right|^2 + 2 \left| \frac{\partial^2 u}{\partial x_1 \partial x_2} \right|^2 + \left| \frac{\partial^2 u}{\partial x_2^2} \right|^2 \, dx = \int_{\Omega} \left| \frac{\partial u}{\partial x_1} \right|^2 - 2 \frac{\partial}{\partial x_2} \frac{\partial^2 u}{\partial x_1 \partial x_2} \frac{\partial u}{\partial x_1} + \left| \frac{\partial^2 u}{\partial x_2^2} \right|^2 \, dx = \int_{\Omega} \left| \frac{\partial u}{\partial x_1} \right|^2 + 2 \frac{\partial^2 u}{\partial x_1^2} \frac{\partial^2 u}{\partial x_2^2} + \left| \frac{\partial^2 u}{\partial x_2^2} \right|^2 \, dx \\ &= \|\Delta u\|_{L^2}^2 = \|f - u\|_{L^2}^2 \leq 2 \|f\|_{L^2}^2 + 2 \|u\|_{L^2}^2 \leq 2(1 + \gamma) \|f\|_{L^2}^2 \end{aligned} \quad \square$$

Ihm: (z.B. Gilbarg & Trudinger Thm. 8.12) Sei Ω beschränkt, $\partial\Omega$ C^2 -regulär,

$$a(u,v) = \int_{\Omega} \nabla u^T A \nabla v + u b \cdot \nabla v - c \nabla u \cdot v - d u v \, dx, \quad \ell(v) = \int_{\Omega} f v \, dx,$$

A, b Lipschitzstetig, $c, d \in L^\infty(\Omega)$, $f \in L^2(\Omega)$, a koerziiv, $h \in H^2(\Omega)$.

Die schwache Lösung $u \in H^1(\Omega)$ von $a(u,v) = \ell(v) \quad \forall v \in H^1(\Omega)$, $u = h$ auf $\partial\Omega$,

erfüllt $\|u\|_{H^2} \leq C (\|u\|_{L^2} + \|f\|_{L^2} + \|h\|_{H^2})$

(C abhängig von Ω, A, b, c, d)

Ähnliches gilt für stückweise glatten Rand sodass auf keinen zwei benachbarten Stücken Neumann-Randbedingungen gelten
(siehe z.B. Bacuta, Mazzucato, Nistor, Zikatanov: Interface and mixed boundary value problems on n-dimensional polyhedral domains)

Finite Elemente: Elliptische pDgl. (2D Poissons-Gleichung)

FEM: Allgemeine FE-Räume

Def: Ein finites Element ist ein Tripel $(K, P, \mathcal{N}) =$

(Elementgebiet, Raum der Formfunktionen, Menge nodaler Variablen) mit

- $K \subset \mathbb{R}^n$ offen, beschränkt, einfach zusammenhängend mit stückweise glattem Rand
- P einem k -dimensionalen Raum an Funktionen $\varphi: K \rightarrow \mathbb{R}$
- $\mathcal{N} = \{N_1, \dots, N_k\}$ einer Menge linear unabhängiger linearer Funktionale auf P

Def: Sei (K, P, \mathcal{N}) ein finites Element, und sei $\{\psi_1, \dots, \psi_n\}$ eine Basis von P dual zu \mathcal{N} , d.h. $N_i(\psi_j) = \delta_{ij}$. Eine solche Basis heißt nodale Basis für P .

Thm: $\psi, \tilde{\psi} \in P$ mit $N(\psi) = N(\tilde{\psi}) \forall N \in \mathcal{N} \Rightarrow \psi = \tilde{\psi}$

Bew: $N(\psi - \tilde{\psi}) = N(\psi) - N(\tilde{\psi}) = 0 \forall N \Rightarrow$ es reicht zu zeigen, dass $N(\phi) = 0 \forall N \Rightarrow \phi = 0$.

Sei $\phi = \sum_{i=1}^n \alpha_i \psi_i$, dann $0 = N_j(\phi) = \sum_{i=1}^n \alpha_i N_j(\psi_i) = \alpha_j \quad \forall j$. \square

Def: Eine Unterteilung eines Gebiets $S \subset \mathbb{R}^n$ ist eine endliche Menge $\{K_1, \dots, K_m\}$ offener Mengen mit

- (1) $K_i \cap K_j = \emptyset$ für $i \neq j$
- (2) $\overline{K_1} \cup \dots \cup \overline{K_m} = \overline{S}$



Def: Sei $\{K_1, \dots, K_m\}$ Unterteilung von S und $(K_i, P^i, \mathcal{N}^i)$ ein finites Element $i=1, \dots, m$.
 $X_h = \{v: S \rightarrow \mathbb{R} \mid v|_{K_i} \in P^i, N(v|_{K_i}) = N(v) \forall N \in \mathcal{N}^i \forall i=1, \dots, m\}$ heißt finites-Elemente-Raum.

Finite Elemente: Elliptische pDgl. (2D Poissons-Gleichung)

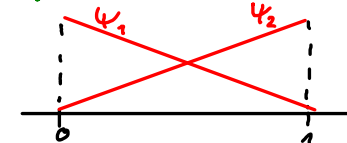
FEM: FE-Beispiele

Bsp: (1D-Lagrange-Element) $K = (0, 1)$, $\mathcal{P} = \mathcal{P}_1 = \{\text{Polynome von Grad } 1\}$, $\mathcal{N} = \{N_1, N_2\}$

$$N_1(v) = v(0), \quad N_2(v) = v(1)$$

$$\text{nodale Basis: } \psi_1(x) = 1 - x, \quad \psi_2(x) = x$$

$$\dim \mathcal{P} = ?$$

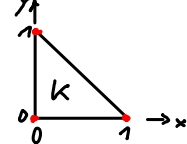


Bsp: (2D-Lagrange-Element) $K = T := \{(x, y) \in [0, 1]^2 \mid y \leq 1 - x\}$, $\mathcal{P} = \mathcal{P}_1$, $\mathcal{N} = \{N_1, N_2, N_3\}$

$$N_1(v) = v(0, 0), \quad N_2(v) = v(1, 0), \quad N_3(v) = v(0, 1)$$

$$\text{nodale Basis: } \psi_1(x, y) = 1 - x - y, \quad \psi_2(x, y) = x, \quad \psi_3(x, y) = y$$

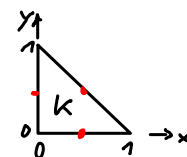
$$\dim \mathcal{P} = ?$$



Bsp: (2D-Crouzeix-Raviart-Element) $K = T$, $\mathcal{P} = \mathcal{P}_1$, $\mathcal{N} = \{N_1, \dots, N_3\}$

$$N_1(v) = v\left(\frac{1}{2}, \frac{1}{2}\right), \quad N_2(v) = v\left(0, \frac{1}{2}\right), \quad N_3(v) = v\left(\frac{1}{2}, 0\right)$$

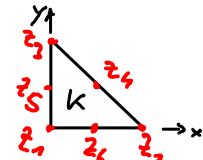
$$\text{nodale Basis: } \psi_1(x, y) = 2(x+y) - 1, \quad \psi_2(x, y) = 1 - 2x, \quad \psi_3(x, y) = 1 - 2y$$



Bsp: (2D-Lagrange-Element) $K = T$, $\mathcal{P} = \mathcal{P}_2$, $\mathcal{N} = \{N_1, \dots, N_6\}$; $N_i(v) = v(z_i)$;

$$\psi_1(x, y) = (1 - 2x - 2y)(1 - x - y), \quad \psi_2(x, y) = -x(1 - 2x), \quad \psi_3(x, y) = -y(1 - 2y),$$

$$\psi_4(x, y) = 4xy, \quad \psi_5(x, y) = 4y(1 - x - y), \quad \psi_6(x, y) = 4x(1 - x - y)$$

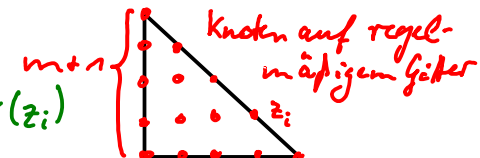


Finite Elemente: Elliptische pDgl. (2D Poissons-Gleichung)

FEM: FE-Beispiele

Bsp: (2D-Lagrange-Element m-ter Ordnung)

$$K = T, \quad P = P_m, \quad N = \{N_1, \dots, N_k\}, \quad k = 1+2+\dots+(m+1), \quad N_i(v) = v(z_i)$$



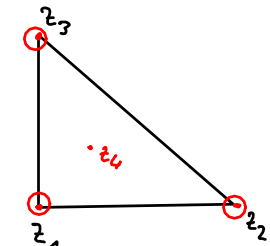
Bsp: (2D Hermite-Element) $K=T, P=P_3 \quad \dim P = ?$

$$N_1(v) = v(z_1), \quad N_2(v) = v(z_2), \quad N_3(v) = v(z_3), \quad N_4(v) = v(z_4)$$

$$N_5(v) = \frac{\partial v}{\partial x}(z_1), \quad N_6(v) = \frac{\partial v}{\partial x}(z_2), \quad N_7 = \frac{\partial v}{\partial x}(z_3)$$

$$N_8(v) = \frac{\partial v}{\partial y}(z_1), \quad N_9(v) = \frac{\partial v}{\partial y}(z_2), \quad N_{10} = \frac{\partial v}{\partial y}(z_3)$$

nodale Basis: ermittle mittels Polynom-Interpolation



Bsp: (2D Hermite-Element m-ter Ordnung)

$$K = T, \quad P = P_m, \quad N = \{N_1, \dots, N_k\}, \quad k = \frac{(m+1)(m+2)}{2}$$

m	1	2	3	4	5	6	7	8
	3	6	10	15	21	28	36	45

$N_i(v)$ = Funktionswerte bzw. Richtungsableitungen bis Ordnung ℓ in z_1, z_2 , bzw. z_3

Es gibt $\ell+1$ unabhängige Richtungsableitungen der Ordnung ℓ

$$\Rightarrow 3(1+2+\dots+(\ell+1)) = 3 \frac{(\ell+1)(\ell+2)}{2} =: L \text{ Formfunktionen} \rightarrow \text{wähle } \ell = \left\lfloor \frac{-3 + \sqrt{1 + 8k/3}}{2} \right\rfloor$$

& ergänze um $k-L$ Formfunktionen an z_4

Finite Elemente: Elliptische pDgl. (2D Poissons-Gleichung)

FEM: Interpolante

Def: Sei (K, P, N) ein finites Element mit nodaler Basis $\{4_1, \dots, 4_n\}$. Die lokale Interpolante einer Funktion $v: K \rightarrow \mathbb{R}$ ist $I_K v = \sum_{i=1}^n N_i(v) 4_i$.

Sei $\{K_1, \dots, K_M\}$ Unterteilung von Ω und (K_i, P_i, N_i) ein finites Element $\forall i=1, \dots, M$. Die globale Interpolante $I_h v$ von $v: \Omega \rightarrow \mathbb{R}$ ist definiert durch $I_h v|_{K_i} = I_{K_i} v \quad \forall i$. Der zugehörige finite-Elemente-Raum lässt sich darstellen als $X_h = \{I_h v \mid v \in C^\infty(\bar{\Omega})\}$.

Def: Ist $I_h v \in C^r(\bar{\Omega}) \quad \forall v \in C^0(\bar{\Omega})$, so heißt X_h ein C^r -finite-Elemente-Raum.

Thm: Für eine Triangulierung mit Lagrange- oder Hermite-Elementen ist der zugehörige FE-Raum ein C^0 -FE-Raum.

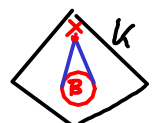
Bew: Es reicht zu zeigen, dass auf einer Kante $e = \overline{K_i} \cap \overline{K_j}$ zwischen zwei Elementen gilt $I_{K_i} v|_e = I_{K_j} v|_e \quad \forall v \in C^0(\bar{\Omega})$.

Für ein Lagrange-Element m -ter Ordnung sind $I_{K_i} v|_e, I_{K_j} v|_e$ 1D-Polynome vom Grad m \Rightarrow die Bedingungen $I_{K_i} v(z_r) = v(z_r) = I_{K_j} v(z_r)$ für die $m+1$ Punkte z_r auf e implizieren $I_{K_i} v|_e = I_{K_j} v|_e$. Hermite-Element: HA \square

Finite Elemente: Elliptische pDgl. (2D Poissons-Gleichung)

FEM: Bramble-Hilbert-Lemma

Def: $K \subset \mathbb{R}^n$ heißt sternförmig bezgl. eines Balls $B \subset K$, falls die konvexe Hülle von $\{x\} \cup B$ für alle $x \in K$ erfüllt $\text{co}(\{x\} \cup B) \subset K$.



Eine Unterteilung $\{K_1, \dots, K_M\}$ von Ω heißt $\frac{1}{p}$ -quasiregular oder regular, falls $\forall i=1, \dots, M: \frac{\gamma}{p} \leq \frac{r_{K_i}}{h_{K_i}}$, wobei r_{K_i} = Durchmesser des größten Balls in K_i



Stephen, nicht David

Thm: (Bramble-Hilbert-Lemma) Sei $\{K_1, \dots, K_M\}$ eine $\frac{1}{p}$ -quasireguläre Unterteilung von dem beschränkten offenen Gebiet Ω , und seien $(K_i, P_i, \mathcal{N}^i)$ finite Elemente mit

(1) K_i sternförmig bezgl. eines Balls,

(2) $P_{m,i} \subset \mathcal{P}^i \subset C^m(\bar{K}_i)$,

(3) \mathcal{N}^i = beschränkte Linearformen auf $C^0(\bar{K}_i)$,

} diese Form des Lemmas ist eigentlich von Dupont & Scott

dann gilt für $m > r + \frac{n}{2}$ und $0 \leq j \leq m$: $|v - I_{K_i} v|_{H^j(K_i)} \leq C(m, n, p) h_{K_i}^{m-j} |v|_{H^m(\Omega)}$

$\Rightarrow |v - I_h v|_{H^j(\Omega)} \leq C(m, n, p) h^{m-j} |v|_{H^m(\Omega)}$ falls $I_h v \in H^j(\Omega)$

Kor: $\|u_h - u\|_{H^m} \leq Ch^{m-n} |u|_{H^m}$ für unsere elliptischen Probleme & C^0 -FE-Approximationen

Variational Crimes: Abweichung von exakten Methoden

Bisher haben wir FE-Approximationen betrachtet, bei denen u_h die gleiche schwache Gleichung erfüllt wie u (d.h. $a(u, v) = l(v) \forall v \in X$), nur auf einem Unterraum X_h . In der Praxis wird davon jedoch oft abgewichen, z.B.

- Ω hat krummlinigen Rand $\partial\Omega$, wird jedoch mit Triangulierungen approximiert



- Die Systemmatrix $A_{mn} = \int_{\Omega} Q(\phi_m, \phi_n) dx$ oder rechte Seite $b_m = \int_{\Omega} f \phi_m dx$ werden nur approximativ berechnet, z.B. mit Quadratur
- Der finit-Elemente-Raum X_h ist gar kein Teilraum vom Lösungsraum X (z.B. ist der Crouzeix-Raviart-FE-Raum $\notin H^1(\Omega)$)

Solche Abweichungen bezeichnet man als „Variational Crimes“.

Bsp: $l(v) = \int_{\Omega} f(x) v(x) dx$ wird ersetzt durch Mittelpunktsquadratur auf jedem Dreieck T_e der Triangulierung T , d.h. durch

$$l_h(v) = \sum_{e=1}^m |T_e| f(\bar{x}_e) v(\bar{x}_e) \quad \text{mit } \bar{x}_e \text{ dem Mittelpunkt von } T_e.$$

Variational Crimes: Strangs erstes Lemma

uEX löst $a(u, v) = l(v) \forall v \in X$; a bilinear, koerziv, beschränkt; l linear, beschränkt

$u_h \in X_h$ löst $a_h(u_h, v_h) = l_h(v_h) \forall v_h \in X_h$; a_h bilinear, gleichgradig koerziv; l_h linear

$$X_h \subset X \quad \text{d.h. } a_h(v_h, v_h) \geq C \|v_h\|_X^2 \text{ unabh. von } h$$

Übrigens: a_h & l_h müssen nur auf X_h definiert sein! Z.B. könnte $a_h(u_h, v_h)$ den Gradienten von u_h an einem Quadraturpunkt auswerten, für eine Funktion v aus $X = H^1(\Omega)$ würde dies jedoch nicht definiert sein

Thm: (Strangs erstes Lemma) Für ein $K \geq 0$ unabhängig von h gilt

$$\|u_h - u\|_X \leq K \left[\inf_{v_h \in X_h} \left(\|u - v_h\|_X + \sup_{w_h \in X_h} \frac{|a(v_h, v_h) - a_h(v_h, w_h)|}{\|w_h\|_X} \right) + \sup_{w_h \in X_h} \frac{|l(w_h) - l_h(w_h)|}{\|w_h\|_X} \right]$$

Bew: Seien $v_h \in X_h$ und $w_h = u_h - v_h$.

$$\begin{aligned} c \|u_h - v_h\|_X^2 &\leq a_h(u_h - v_h, w_h) = a(u - v_h, w_h) + [a(v_h, w_h) - a_h(v_h, w_h)] + [a_h(u_h, w_h) - a(u, w_h)] \\ &\leq C \|u - v_h\|_X \|w_h\|_X + [a(v_h, w_h) - a_h(v_h, w_h)] + [l_h(w_h) - l(w_h)] \end{aligned}$$

$$\Rightarrow c \|u_h - v_h\|_X \leq C \|u - v_h\|_X + \frac{|a(v_h, v_h) - a_h(v_h, w_h)|}{\|w_h\|_X} + \frac{|l(w_h) - l_h(w_h)|}{\|w_h\|_X}$$

$$\text{Nutz } \|u_h - u\|_X \leq \|u - v_h\|_X + \|u_h - v_h\|_X$$

□

Variational Crimes: Strangs erstes Lemma - Anwendung

Bsp: Löse $-\Delta u + u = f$ auf $\Omega = [0,1]^2$, $u=0$ auf $\partial\Omega$

$\Rightarrow X = H_0^1(\Omega)$, $a(u, v) = \int_{\Omega} \nabla u \cdot \nabla v + uv \, dx$, $\ell(v) = \int_{\Omega} fv \, dx$ erfüllen LM-Bedingung

$\frac{1}{\rho}$ -quasiuniforme Dreieckzuliegen ($\mathcal{D}, \mathcal{E}, \mathcal{T}$) mit Gitterweite h ; X_h 1. Ordnung-Lagrange FE-Raum

$$a_h = a, \quad \ell_h(v_h) = \sum_{T \in \mathcal{J}} |T| \sum_{x \in V \cap T} \frac{f(x)v_h(x)}{3} \quad \text{"Trapezregel"}$$

$u_h \in X_h$ löst $a_h(u_h, v_h) = \ell_h(v_h) \quad \forall v_h \in X_h$; wie groß ist $\|u_h - u\|_{H^1}$?

Es gibt $K > 0$ mit $\|u_h - u\|_{H^1} \leq K(h \|u\|_{H^2} + h^2 \|f\|_{C^2}) \leq \tilde{K}(h \|f\|_{L^2} + h^2 \|f\|_{C^2})$

Bew: Strang: $\|u_h - u\|_{H^1} \leq K \left[\inf_{v_h \in X_h} \|u - v_h\|_{H^1} + \sup_{w_h \in X_h} \frac{|\ell(w_h) - \ell_h(w_h)|}{\|w_h\|_{H^1}} \right]$

Bramble-Hilbert: $\inf_{v_h \in X_h} \|u - v_h\|_{H^1} \leq \|u - I_h u\|_{H^1} \leq C(p) h \|u\|_{H^2}$

$$\begin{aligned} |\ell(w_h) - \ell_h(w_h)| &= \left| \int_{\Omega} f w_h \, dx - \int_{\Omega} I_h(f w_h) \, dx \right| \leq \sum_{T \in \mathcal{J}} \int_T |f w_h - I_h(f w_h)| \, dx \\ &\leq \sum_{T \in \mathcal{J}} \|f w_h - I_h(f w_h)\|_{L^2(T)} \sqrt{|T|} \leq \sum_{T \in \mathcal{J}} \sqrt{|T|} C(p) h^2 \|f w_h\|_{H^2(T)} \\ &\leq \left(\sum_{T \in \mathcal{J}} |T| \right)^{\frac{1}{2}} C(p) h^2 \left(\sum_{T \in \mathcal{J}} \|f w_h\|_{H^2(T)}^2 \right)^{\frac{1}{2}} = C(p) \sqrt{|\Omega|} h^2 \left(\sum_{T \in \mathcal{J}} \|f w_h\|_{H^2(T)}^2 \right)^{\frac{1}{2}} \end{aligned}$$

$$\|f w_h\|_{H^2(T)}^2 = \int_T (w_h D^2 f + \nabla f \otimes \nabla w_h + \nabla w_h \otimes \nabla f)^2 \, dx \leq \beta \left(\max_{x \in \Omega} |D^2 f(x)|^2 + \max_{x \in \Omega} |Df(x)|^2 \right) \|w_h\|_{H^1(T)}^2$$

Finite Elemente: Elliptische pDgl. (2D Poissongleichung)

Variational Crimes: Strangs zweites Lemma

$u \in X$ löst $a(u, v) = l(v) \forall v \in X$; a bilinear, koerziv, beschränkt; l linear, beschränkt

$X_h \not\subset X$, d.h. insbesondere $\|\cdot\|_X$ nicht auf X_h definiert!

\Rightarrow nutze (gitterabhängige) Norm $\|\cdot\|_h$ auf $X + X_h$

$u_h \in X_h$ löst $a_h(u_h, v_h) = l_h(v_h) \forall v_h \in X_h$; a_h bilinear; l_h linear

u_h wohldefiniert, wenn
 X_h Hilbertraum mit
Norm $\|\cdot\|_h$

$$a_h(v_h, v_h) \geq c \|v_h\|_h^2 \quad \forall v_h \in X_h; |a_h(u, v_h)| \leq C \|u\|_h \|v_h\|_h \quad \forall u \in X + X_h, v_h \in X_h$$

Thm: (Strangs zweites Lemma; Berger-Scott-Strang-Lemma) $\exists K > 0$ unabhängig von h , sodass

$$\|u_h - u\|_h \leq K \left[\underbrace{\inf_{v_h \in X_h} \|u - v_h\|_h}_{\text{"Approximationfehler"}^*} + \underbrace{\sup_{w_h \in X_h} \frac{|a_h(u, w_h) - l_h(w_h)|}{\|w_h\|_h}}_{\text{"Konsistenzfehler"}^*} \right]$$

$$\begin{aligned} \text{Bew: Sei } v_h \in X_h, w_h = u_h - v_h. \quad & C \|u_h - v_h\|_h^2 \leq a_h(u_h - v_h, w_h) = a_h(u - v_h, w_h) + [l_h(w_h) - a_h(u, w_h)] \\ & \leq C \|u - v_h\|_h \|w_h\|_h + |l_h(w_h) - a_h(u, w_h)| \end{aligned}$$

$$\Rightarrow \|u_h - v_h\|_h \leq \frac{C}{c} \|u - v_h\|_h + \frac{1}{c} \frac{|l_h(w_h) - a_h(u, w_h)|}{\|w_h\|_h}; \text{ nutze nun } \|u - u_h\|_h \leq \|u - v_h\|_h + \|v_h - u_h\|_h \square$$

Bsp: Beispiele für die Norm $\|\cdot\|_h$ sind gegeben durch

$$\|v\|_{m,h} = \sqrt{\sum_{T_e \in \mathcal{S}} \|v\|_{H^m(T_e)}^2} \quad (+ \|v\|_{H^m(\Omega)})$$

Variational Crimes: Strangs zweites Lemma - Anwendung

$\Omega = [0,1]^2$, $X = H_0^1(\Omega)$, $f \in L^2(\Omega)$, $a(u, v) = \int_{\Omega} \nabla u \cdot \nabla v + uv dx$, $\ell(v) = \int_{\Omega} fv dx$ für $u, v \in X$

Crouzeix-Raviart-Elemente auf quasuniformer Triangulierung T_h cl. h.

$X_h = \{v \in L^2(\Omega) \mid v|_T \in P_1 \quad \forall T \in T_h \text{ & } v \text{ ist stetig an Mittelpunkten der Dreiecksseiten}$
 $\text{& } v=0 \text{ auf Mittelpunkten der Dreiecksseiten auf } \partial\Omega\}$

$$a_h(u, v) = \sum_{T \in T_h} \int_T \nabla u \cdot \nabla v + uv dx, \quad b_h(v) = \int_{\Omega} fv dx \quad \text{für } u, v \in X_h \neq X$$

$u \in X$ löst $a(u, v) = \ell(v) \quad \forall v \in X$, $u_h \in X_h$ löst $a_h(u_h, v_h) = \ell_h(v_h) \quad \forall v_h \in X_h$

wir wissen: $u \in H^2(\Omega)$ mit $\|u\|_{H^2} \leq C \|f\|_{L^2}$

Thm: $\|u_h - u\|_{X_h} \leq ch \|f\|_{L^2}$ für ein $c > 0$. part. Int. & $u \in H^2$

$$\begin{aligned} \text{Bew.: } a_h(u, v_h) - \ell_h(v_h) &= \sum_{T_i} \int_{T_i} \nabla u \cdot \nabla v_h + uv_h - fv_h dx = \sum_{T_i} \int_{T_i} \nabla u \cdot n v_h dx - \underbrace{\int_{T_i} v_h (\Delta u - u + f) dx}_{=0} \\ &= \sum_{T_i} \sum_{\text{Kante } e \in \partial T_i} \int_e \nabla u(x) \cdot n (v_h(x) - v_h(x_e)) dx \quad \text{mit } x_e = \text{Mittelpunkt von } e \end{aligned}$$

$$\begin{aligned} \text{da für } e = T_1 \cap T_2 \text{ gilt } \nabla u|_{T_i} \in H^1(T_i), \text{ sodass nach dem Spaltensatz } \nabla u|_{T_1} \cdot n_{T_1} = -\nabla u|_{T_2} \cdot n_{T_2} \text{ auf } e \\ \Rightarrow \sum_{T_i} \sum_{e \in \partial T_i} \int_e (\nabla u - \nabla I_h u) \cdot n (v_h - v_h(x_e)) dx \leq \sum_{T_i} \sum_{e \in \partial T_i} \|\nabla(u - I_h u)\|_{L^2(e)} \|v_h - v_h(x_e)\|_{L^2(e)} \end{aligned}$$

Variational Crimes: Strangs zweites Lemma - Anwendung (Forts.)

$$\cdot \|\nabla(u - I_h u)\|_{L^2(e)} \leq \tilde{C} \left(h^{-\frac{1}{2}} \|\nabla(u - I_h u)\|_{L^2(T_i)} + h^{\frac{1}{2}} \|\nabla^2(u - I_h u)\|_{L^2(T_i)} \right) \quad \text{Spursatz}$$

$$\leq \bar{C} h^{\frac{1}{2}} \|\nabla^2(u - I_h u)\|_{L^2(T_i)} \quad \text{Bramble-Hilbert}$$

$$= \bar{C} h^{\frac{1}{2}} |u|_{H^2(T_i)}$$

$$\cdot \|v_h - \bar{v}_h(x_e)\|_{L^2(e)} \leq \|v_h - \bar{v}_h(T_i)\|_{L^2(e)} \quad \bar{v}_h(T_i) = \frac{1}{|T_i|} \int_{T_i} v_h dx$$

$$\leq \tilde{C} \left(h^{\frac{1}{2}} \|v_h - \bar{v}_h(T_i)\|_{L^2(T_i)} + h^{\frac{1}{2}} \|\nabla(v_h - \bar{v}_h(T_i))\|_{L^2(T_i)} \right) \quad \text{Spursatz}$$

$$\leq Ch^{\frac{1}{2}} |v_h|_{H^1(T_i)} \quad \text{Poincaré-Ungl.}$$

$$\Rightarrow |a_h(u, v_h) - l_h(v_h)| \leq \sum_{T_i} C h |u|_{H^2(T_i)} |v_h|_{H^1(T_i)} \leq Ch |u|_{H^2(\Omega)} \|v_h\|_{A, h}$$

Cauchy-Schwarz

$$\cdot \inf_{v_h \in X_h} \|u - v_h\|_{A, h}^2 \leq \|u - I_h u\|_{A, h}^2 = \sum_{T_i} \|u - I_h u\|_{H^0(T_i)}^2 \leq \sum_{T_i} C h^2 |u|_{H^2(T_i)}^2 = Ch^2 |u|_{H^2(\Omega)}^2$$

• Voraussetzungen von Strangs 2. Lemma erfüllt $\Rightarrow \|u_h - u\|_h \leq \tilde{K} (h |u|_{H^2} + h |u|_{H^1}) \square$

Variational Crimes: Dualität (Erweiterung von Aubin-Nitsche)

- $u \in X$ löst $a(u, v) = l(v) \quad \forall v \in X$; a bilinear, koerziv, beschränkt; l linear, beschränkt
- Aubin-Nitsche-Bed.: H Hilbertraum mit stetiger Einbettung $X \hookrightarrow H$
- Strangs 2. Lemma-Bed: $a_h(v_h, v_h) \geq c \|v_h\|_h^2 \quad \forall v_h \in X_h$; $|a_h(u, v)| \leq C \|u\|_h \|v\|_h \quad \forall u, v \in X + X_h$
 a_h linear & beschränkt auf X_h , $\|\cdot\|_h$ Norm auf Hilbertraum X_h
- $u_h \in X_h$ löst $a_h(u_h, v_h) = l(v_h) \quad \forall v_h \in X_h$
- Zusätzlich: a_h auf $X + X_h$ definiert, $a_h = a$ auf X , $X_h \subset H$, $\|\cdot\|_h$ definiert auf $X + X_h$
wird nicht im Beweis genutzt

Thm: $w_r \notin X$ löse $a(v, w_r) = (r, v)_H \quad \forall v \in X$, $w_h \in X_h$ löse $a_h(v_h, w_h) = (r, v_h)_H \quad \forall v_h \in X_h$.

$$\|u_h - u\|_H \leq \sup_{r \in H} \frac{1}{\|r\|_H} \left(C \|u_h - u\|_h \|w_r - w_h\|_h + [(u_h - u, r)_H - a_h(u_h - u, w_r)] + [Q_h(w_h) - l(w_r) - a_h(u, w_h - w_r)] \right)$$

Bew: Setze $r = u_h - u$. $(u_h - u, u_h - u)_H = a_h(u_h - u, w_r - w_h) + \text{Rest}$ wie Aubin-Nitsche

$$\begin{aligned} \text{Rest} &= (u_h - u, r)_H - a_h(u_h - u, w_r - w_h) = [(u_h - u, r)_H - a_h(u_h - u, w_r)] + a_h(u_h - u, w_h) \\ &= [(u_h - u, r)_H - a_h(u_h - u, w_r)] + [Q_h(w_h) - l(w_r) - a_h(u, w_h - w_r)] \end{aligned}$$

$$\Rightarrow \|u_h - u\|_H \leq \frac{1}{\|r\|_H} \left(C \|u_h - u\|_h \|w_r - w_h\|_h + [(u_h - u, r)_H - a_h(u_h - u, w_r)] + [Q_h(w_h) - l(w_r) - a_h(u, w_h - w_r)] \right) \square$$

Variational Crimes: Dualität - Anwendung

Löse $-\Delta u + u = f$ auf $[0,1]^2$ mit 0-RB mit Crouzeix-Raviart-Elementen \Rightarrow Setting wie zuvor

$$\text{Thm: } \|u_h - u\|_{L^2(\Omega)} \leq Ch^2 \|f\|_{L^2(\Omega)} \quad \text{für ein } C > 0.$$

Bew.: $H = L^2(\Omega)$, $\|\cdot\|_h = \|\cdot\|_{1,h}$. Wir wissen schon $\|u_h - u\|_{h,h} \leq Ch \|f\|_{L^2}$, $\|w_h - w_r\|_{1,h} \leq Ch \|r\|_{L^2}$.

- Wir haben außerdem schon einmal gezeigt

$$|(v_h, g)_{L^2} - a_h(v_h, w_g)| = |(v_h, g)_{L^2} - a_h(w_g, v_h)| \leq Ch \|w_g\|_{H^2} \|v_h\|_{1,h}$$

Beachte: Bei vorheriger Rechnung war Testfunktion $v_h \in X_h$, aber auch $v_h \in X^+ X_h$ möglich

Hierzu setze $v_h(x_e)$ durch $\bar{v}_e = \frac{1}{|e|} \int_e v_h(x) dx$ (ist auf X_h das gleiche) und

$$\Rightarrow \begin{cases} (u_h - u, r)_{L^2} - a_h(u_h - u, w_r) \leq Ch \|w_r\|_{H^2} \|u_h - u\|_{1,h} \leq \tilde{C} h^2 \|r\|_{L^2} \|f\|_{L^2} \\ l_h(w_h) - l(r) - a_h(u, w_h - w_r) \leq Ch \|u\|_{H^2} \|w_h - w_r\|_{1,h} \leq \tilde{C} h^2 \|f\|_{L^2} \|r\|_{L^2} \end{cases}$$

Bedingungen voriger Folie erfüllt

$$\Rightarrow \|u_h - u\|_{L^2} \leq \sup_{r \in L^2(\Omega)} \frac{1}{\|r\|_{L^2}} (Ch^2 \|f\|_{L^2} \|r\|_{L^2})$$

□

Dualität: Duale Räume

Def: Sei X ein normierter Vektorraum. Der Dualraum X^* ist der Raum aller beschränkten linearen Funktionale auf X . Für $f \in X^*, x \in X$ schreiben wir auch $f(x) = \langle f, x \rangle_{X^*, X}$. Auf X^* ist durch $\|f\|_{X^*} = \sup_{x \in X, x \neq 0} \frac{|f(x)|}{\|x\|_X}$ eine Norm definiert.

Thm: Offensichtlich ist $\langle f, x \rangle_{X^*, X} \leq \|f\|_{X^*} \|x\|_X$.

Bsp: $L^p(\Omega)^* = L^q(\Omega)$ für $p \in [1, \infty)$ & $\frac{1}{p} + \frac{1}{q} = 1$. ($L^q(\Omega) \subset (L^p(\Omega))^*$ nach Hölder-Ungleichung)

Def: Sei $\Omega \subset \mathbb{R}^n$ offen. Der Raum der Testfunktionen ist $C_c^\infty(\Omega) = \{\phi \in C^\infty(\Omega) \mid \text{supp } \phi \text{ kompakt}\}$.

$\Phi_j \xrightarrow{j \rightarrow \infty} \phi$ in $C_c^\infty(\Omega)$, wenn ein kompaktes $K \subset \Omega$ existiert mit $\text{supp } \Phi_j \subset K \quad \forall j$ und $\|\Phi_j - \phi\|_{C^n} \xrightarrow{j \rightarrow \infty} 0 \quad \forall n$. Bsp.: $\phi(x) = e^{-(1-|x|)^{-2}}$ für $|x| < 1$ & $\phi(x) = 0$ sonst

Der Raum der Distributionen ist $\mathcal{D}'(\Omega) = \{f: C_c^\infty(\Omega) \rightarrow \mathbb{R} \mid f \text{ linear \& stetig}\}$ (topologischer Dualraum zu $C_c^\infty(\Omega)$). Wir schreiben $f(\phi) = \int_{\Omega} f \phi dx$ und identifizieren somit Funktionen $f \in L^1(\Omega)$ mit Distributionen. Bsp.: $\int_{\Omega} f \phi dx = \phi(0)$

Für $f \in \mathcal{D}'(\Omega)$ und Multiindex α wird die distributionelle Ableitung $D^\alpha f \in \mathcal{D}'(\Omega)$ definiert als $D^\alpha f(\phi) = (-1)^{|\alpha|} f(D^\alpha \phi)$ (part. Integration). Bsp.: $H' = \mathcal{D}$

Finite Elemente: Elliptische pDgl. (2D Poissons-Gleichung)

Dualität: H^{-1}

Beweis mit Lax-Milgram möglich!

Thm: $C_c^\infty(\Omega)$ ist dicht in $H_0^1(\Omega)$, d.h. $\forall u \in H_0^1(\Omega), \varepsilon > 0 \exists \phi \in C_c^\infty(\Omega) : \|u - \phi\|_{H^1} < \varepsilon$.

Thm: (Rieszscher Darstellungssatz) Ein Hilbertraum X ist isometrisch isomorph zu X^* , d.h. zu jedem $f \in X^*$ gibt es genau ein $u \in X$ mit $\|f\|_{X^*} = \|u\|_X$ und $f(v) = (u, v)_X \forall v \in X$.

Bsp: Jedes $f \in L^2(\Omega)^*$ lässt sich schreiben als $f(v) = \int_\Omega uv \, dx$ für ein $u \in L^2(\Omega)$.

Def: $H^{-1}(\Omega) := H_0^1(\Omega)^*$. Offensichtlich gilt $H^{-1} \subset \mathcal{D}'$. Wir identifizieren $H^{-1}(\Omega)$ mit den Distributionen f , für die ein $g \in H^1(\Omega)$ existiert, sodass $\langle f, u \rangle_{H^{-1}, H_0^1} = (g, u)_{H^1}$ $\forall u \in C_c^\infty(\Omega)$.

Sei $u_j \in C_c^\infty(\Omega)$, $u_j \rightarrow u$ in $H_0^1(\Omega)$, dann ist $\langle f, u_i - u_j \rangle_{H^{-1}, H_0^1} \leq \|g\|_{H^1} \|u_i - u_j\|_{H^1} \xrightarrow{i,j \rightarrow \infty} 0$
 $\Rightarrow \langle f, u \rangle_{H^{-1}, H_0^1} := \lim_{i \rightarrow \infty} \langle f, u_i \rangle_{H^{-1}, H_0^1} = \lim_{i \rightarrow \infty} (g, u_i)_{H^1} = (g, u)_{H^1}$.

Wir schreiben $\langle f, u \rangle_{H^{-1}, H_0^1} = \int_\Omega fu \, dx$.

Bsp: $L^2(\Omega) \subset H^{-1}(\Omega)$ mit $\langle f, u \rangle_{H^{-1}, H_0^1} = \int_\Omega fu \, dx$ für $f \in L^2(\Omega)$

• $f \in H^{-1}((-1, 1)) \Leftrightarrow f: x \mapsto f(x) - \frac{1}{2}|x| \in H^{-1}((-1, 1))$, da $\forall u \in C_c^\infty((-1, 1))$ gilt

$$f(u) = u(0) - \int_{-1}^1 \frac{|x|}{2} u(x) \, dx = \left(-\frac{|x|}{2}, u\right)_{H^1}$$

$$\cdot \frac{1}{2}|x| \in L^2((-1, 1)) \subset H^{-1}((-1, 1))$$

Finite Elemente: Elliptische pDgl. (2D Poissons-Gleichung)

Dualität: Elliptische Differentialoperatoren

Thm: $H^{-1}(\Omega)^* = H_0^1(\Omega)$ mit $\langle u, f \rangle_{H^{-1}(\Omega)^*, H^{-1}(\Omega)} = \langle f, u \rangle_{H^{-1}, H_0^1}$.

Bew: $\cdot H_0^1(\Omega) \subset H^{-1}(\Omega)^*$ (es gilt immer $x \in (x^*)^*$)

• Sei nun $z \in H^{-1}(\Omega)^*$ und $R: H^{-1}(\Omega) \rightarrow H_0^1(\Omega)$ der Isomorphismus des Rieszschen Satzes.

Dann existiert ein $u_2 \in H_0^1(\Omega)$ mit $z(f) = f(u_2) \quad \forall f \in H^{-1}(\Omega)$, nämlich $u_2 = R(z \circ R^{-1})$. \square

Thm: Sei $A \in L^\infty(\Omega; \mathbb{R}^{n \times n})$, $b \in L^\infty(\Omega; \mathbb{R}^n)$, $c \in L^\infty(\Omega)$. Der Differentialoperator $L: H_0^1(\Omega) \rightarrow H^{-1}(\Omega)$,
 $Lu = -\operatorname{div}(A \nabla u) + b \cdot \nabla u + cu$ ist beschränkt.

Bew: Sei $u \in H_0^1(\Omega)$, $v \in C_c^\infty(\Omega)$. $\langle Lu, v \rangle_{H^{-1}, C_c^\infty} = \int_{\Omega} \nabla v \cdot A \nabla u + v b \cdot \nabla u + cv u \, dx \leq C \|u\|_{H_0^1} \|v\|_{H^n}$

Sei nun $v_j \in H_0^1(\Omega)$, $v_j \in C_c^\infty(\Omega)$, $v_j \rightarrow v$. $\langle Lu, v \rangle_{H^{-1}, H_0^1} = \lim_{j \rightarrow \infty} \langle Lu, v_j \rangle_{H^{-1}, C_c^\infty}$ existiert
(warum?) und $\|L\| \leq c$ (warum?). \square

Def: Seien X, Y normierte Räume, $L: X \rightarrow Y$ linear und beschränkt. Der adjungierte Operator $L^*: Y^* \rightarrow X^*$ ist definiert durch $\langle f, Lx \rangle_{Y^*, Y} = \langle L^*f, x \rangle_{X^*, X}$.

Bsp: $L: H_0^1(\Omega) \rightarrow H^{-1}(\Omega)$, $Lu = -\operatorname{div}(A \nabla u) + b \cdot \nabla u + cu \Rightarrow L^*v = -\operatorname{div}(A^T \nabla v) - \operatorname{div}(b v) + c v$
denn $\int_{\Omega} (Lu)v \, dx = \int_{\Omega} u L^*v \, dx$ nach mehrmaliger partieller Integration.

Adaptivität: Idee einer adaptiven FE-Lösung

a priori Fehlerschätzung $\|u - u_h\| \leq \eta_h(u)$

a posteriori Fehlerschätzung $\|u - u_h\| \leq \gamma_h(u_h)$

Def: Ein Fehlerschätzer $\eta_h(u_h)$ heißt zuverlässig, falls $\|u - u_h\| \leq \eta_h(u_h)$.
Er heißt effizient mit Konstante $c > 0$, falls $c \eta_h(u_h) \leq \|u - u_h\|$.

Oft lässt ein Fehlerschätzer sich schreiben als Summe $\eta_h(u_h)^2 = \sum_{T \in S} \eta_T(u_h)^2$ über alle FE.

Geg. $TOL > 0$: $\eta_T(u_h) < \frac{TOL}{\sqrt{M}}$ (\rightarrow Verfeinerungskriterium) $\Rightarrow \|u - u_h\| \leq \gamma(u_h) < TOL$ (Abbruchbedingung)

Alg. (Adaptive FE)

wähle Anfangsgitter

while Abbruchbedingung nicht erfüllt

 berechne u_h & $\eta_h(u_h)$

 for $l = 1, \dots, M$

 if Verfeinerungskriterium erfüllt für T_l

 | verfeine T_l in kleinere Elemente

Finite Elemente: Elliptische pDgl. (2D Poissons-Gleichung)

Adaptivität: A posteriori-Fehlerschätzung

Def: Das Residuum einer elliptischen pDgl. $L u = f$ mit $L: H_0^1(\Omega) \rightarrow H^{-1}(\Omega)$, $f \in L^2(\Omega)$ ist $R: H_0^1(\Omega) \rightarrow H^{-1}(\Omega)$, $R(v) = Lv - f$.

Sei $a(u, v) = \langle Lu, v \rangle_{H^{-1}, H_0^1}$, $\ell(v) = \langle f, v \rangle_{L^2}$, $a(v, v) \geq c \|v\|_{H^1}^2$, $a(u, v) \leq \|u\|_{H^1} \|v\|_{H^1} \quad \forall u, v \in H^1(\Omega)$

$a(u, v) = \ell(v) \quad \forall v \in H_0^1(\Omega)$, $a(u_h, v_h) = \ell(v_h) \quad \forall v_h \in X_h \subset H_0^1(\Omega)$

z.B. $L = (-\Delta + i\alpha)$, $a(u, v) = \int_{\Omega} \nabla u \cdot \nabla v + uv \, dx$

Thm: $c \|u - u_h\|_{H^1(\Omega)} \leq \|R(u_h)\|_{H^{-1}(\Omega)} \leq c \|u - u_h\|_{H^1(\Omega)}$

Bew.: $\|R(u_h)\|_{H^{-1}} = \|Lu_h - f\|_{H^{-1}} = \|L(u_h - u)\|_{H^{-1}} \leq c \|u_h - u\|_{H^1}$

$$\begin{aligned} R(u_h)(u_h - u) &= \int_{\Omega} (Lu_h)(u_h - u) - f(u_h - u) \, dx = a(u_h, u_h - u) - \ell(u_h - u) \\ &= a(u_h - u, u_h - u) \geq c \|u_h - u\|_{H^1}^2 \end{aligned}$$

$$\Rightarrow \|R(u_h)\|_{H^{-1}} \geq \frac{c \|u_h - u\|_{H^1}^2}{\|u_h - u\|_{H^1}} \geq c \|u_h - u\|_{H^1}$$

□

Somit ist $\|R(u_h)\|_{H^{-1}(\Omega)}$ zuverlässiger, effizienter Fehlerschätzer.

Finite Elemente: Elliptische pDgl. (2D Poissongleichung)

Adaptivität: A posteriori-Fehlerschätzung in L^2

- $u \in X$ löst $a(u, v) = l(v) \quad \forall v \in X$; a bilinear, koerziv, beschränkt; l linear, beschränkt
- a & l sodass $u \in H^2$, z.B. $\Omega = [0, 1]^2$, $a(u, v) = \int_{\Omega} \nabla u \cdot \nabla v + uv \, dx$, $l(v) = \int_{\Omega} fv \, dx$, $f \in L^2(\Omega)$
- $a(u, v) = \langle Lu, v \rangle_{H_0^1, H_0^1} = \langle u, L^* v \rangle_{H_0^1, H_0^1}$ für einen Differentialoperator $L: H_0^1(\Omega) \rightarrow H^{-1}(\Omega)$
- z.B. $L = (-\Delta + id)$
- $u_h \in X_h \subset X$ löst $a(u_h, v_h) = l(v_h) \quad \forall v_h \in X_h$ (Finite Elemente auf quasiregularer Triangulierung T)

$$\text{Thm: } \|u - u_h\|_{L^2} \leq Ch \|R(u_h)\|_{H^{-1}}$$

Bew.: w löse duales Problem $a(v, w) = (u - u_h, v)_{L^2} \quad \forall v \in X$ (siehe Aubin-Nitsche)

$$\begin{aligned} \Rightarrow \|u - u_h\|_{L^2}^2 &= (u - u_h, u - u_h) = a(u - u_h, w) = a(u - u_h, w - w_h) \quad \forall w_h \in X_h \\ &= \langle Lu - Lu_h, w - w_h \rangle_{H^1, H_0^1} = R(u_h)(w_h - w) \leq \|R(u_h)\|_{H^{-1}} \|w_h - w\|_{H^1} \\ &\stackrel{w_h = I_h w}{\leq} C \|R(u_h)\|_{H^{-1}} h \|w\|_{H^2} \leq C \|R(u_h)\|_{H^{-1}} h \|u - u_h\|_{L^2} \end{aligned}$$

Mit den folgenden Techniken kann dies weiter verfeinert werden, sodass auf jedem Dreieck T das lokale h_T statt h benutzt wird.

Finite Elemente: Elliptische pDgl. (2D Poissons-Gleichung)

Adaptivität: Lokaler Fehlerschätzer

Sei $a(u, v) = (\ell, v)_{L^2} \forall v \in H_0^1(\Omega)$ mit $a(u, v) = \langle Lu, v \rangle_{H^{-1}, H_0^1}$ koerativ & beschränkt, $Lu = \operatorname{div}(A \nabla u) + b \cdot \nabla u + cu, f \in L^2(\Omega)$.

1) $\|R(u_h)\|_{H^{-1}}$ schwer zu berechnen 2) wir möchten Fehlerschätzer für jedes Element

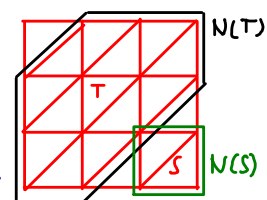
\Rightarrow wir werden $\|R(u_h)\|_{H^{-1}}^2$ ersetzen durch $\eta(u_h)^2 = \sum_{T \in \mathcal{T}} \eta_T(u_h)^2$ mit

$$\eta_T(u_h)^2 := h_T^2 \|Lu_h - f\|_{L^2(T)}^2 + h_T \|[\nabla u_h]_{\cdot, T}\|_{L^2(\partial T)}^2 \quad [\cdot] = \text{Sprung über Kante}$$

und Zuverlässigkeit & (fast) Effizienz zeigen. Zertaken:

(a) $\frac{1}{p}$ quasuniforme Triangulierung \mathcal{T} ,

$$N(T) = \bigcup \{T_e \in \mathcal{T} \mid \overline{T}_e \cap \overline{T} \neq \emptyset\} \quad \text{für } T \in \mathcal{T}, \quad N(S) = \overline{T}_e \cap \overline{T}_j \quad \text{für } S = \overline{T}_e \cap \overline{T}_j, \quad h_S = \max_{T \in N(S)} h_T$$



(b) Galerkin-Orthogonalität $\langle R(u_h), \varphi \rangle_{H^{-1}, H_0^1} = a(u_h - u, \varphi) = a(u_h - u, \varphi - \varphi_h)$

(c) \exists (Quasi-)Interpolation $f_h: H_0^1(\Omega) \rightarrow X_h \subset H_0^1(\Omega)$, sodass $\forall K \in \mathcal{T}$ d.h. $\leq C(p) \dots$

$$\|f_h v - v\|_{H^1(K)} \lesssim \|\nabla v\|_{L^2(N(K))} \quad \cdot \|f_h v - v\|_{L^2(K)} \lesssim h_K \|\nabla v\|_{L^2(N(K))} \quad (\text{siehe später})$$

(d) Spurabschätzung $\|v\|_{L^2(S)} \lesssim h_T^{-\frac{1}{2}} \|v\|_{L^2(T)} + h_T^{\frac{1}{2}} \|\nabla v\|_{L^2(T)} \quad \forall T \in \mathcal{T}, S \in \partial T, v \in H^1(T) \quad \text{HA}$

(e) Poincaré-Ungleichung $\|v\|_{L^2(T)} \lesssim h_T \|v\|_{H^1(T)} \quad \forall T \in \mathcal{T}, v \in H_0^1(T) \quad \text{HA}$

Adaptivität: Zuverlässigkeit lokaler Fehlerschätzer

Ihh: Sei u_h die FE-Lösung. Es existiert $C = C(\alpha, p) > 0$ mit $\|R(u_h)\|_{H^{-1}}^2 \leq C \sum_{K \in J} \eta_K^2(u_h)$.

$$\text{Bew: } \langle R(u_h), \varphi \rangle_{H^{-1}, H_0^1} \stackrel{(R)}{=} a(u_h - u, \varphi - \varphi_h) = a(u_h, \varphi - \varphi_h) - (f, \varphi - \varphi_h)_{L^2(\Omega)}$$

$$= \sum_{K \in J} \int_K \nabla(\varphi - \varphi_h) \cdot A \nabla u_h + (\varphi - \varphi_h)(h \cdot \nabla u_h + c u_h - f) \, dx$$

$$= \sum_{K \in J} (Lu_h - f, \varphi - \varphi_h)_{L^2(K)} + \int_{\partial K} (\varphi - \varphi_h)(A \nabla u_h) \cdot n \, dx$$

$$= \sum_{K \in J} (Lu_h - f, \varphi - \varphi_h)_{L^2(K)} + \frac{1}{2} \int_{\partial K} (\varphi - \varphi_h) [(A \nabla u_h) \cdot n] \, dx$$

$$\leq \sum_{K \in J} \|Lu_h - f\|_{L^2(K)} \|\varphi - \varphi_h\|_{L^2(K)} + \frac{1}{2} \|[A \nabla u_h \cdot n]\|_{L^2(\partial K)} \|\varphi - \varphi_h\|_{L^2(\partial K)}$$

$$\stackrel{(a)}{\lesssim} \sum_{K \in J} \|Lu_h - f\|_{L^2(K)} \|\varphi - \varphi_h\|_{L^2(K)} + \|[A \nabla u_h \cdot n]\|_{L^2(\partial K)} (h_K^{-\frac{1}{2}} \|\varphi - \varphi_h\|_{L^2(K)} + h_K^{\frac{1}{2}} \|\varphi - \varphi_h\|_{H^1(\Omega)})$$

$$\stackrel{(C)}{\lesssim} \sum_{K \in J} \left(\|Lu_h - f\|_{L^2(K)} h_K + \|[A \nabla u_h \cdot n]\|_{L^2(\partial K)} h_K^{\frac{1}{2}} \right) \|\nabla \varphi\|_{L^2(N(K))}$$

$$\stackrel{\text{Cauchy-Schwarz}}{\lesssim} \sqrt{\sum_{K \in J} h_K^2 \|Lu_h - f\|_{L^2(K)}^2} + h_K \|[A \nabla u_h \cdot n]\|_{L^2(\partial K)}^2 \sqrt{\sum_{K \in J} \|\nabla \varphi\|_{L^2(N(K))}^2}$$

$$\sum_{K \in J} \|\nabla \varphi\|_{L^2(N(K))}^2 \lesssim \sum_{K \in J} \|\nabla \varphi\|_{L^2(K)}^2 = \|\nabla \varphi\|_{L^2(\Omega)}^2 \leq \|\varphi\|_{H^1(\Omega)}^2$$

$$\|R(u_h)\|_{H^{-1}} = \sup_{\varphi \in H_0^1(\Omega)} \frac{\langle R(u_h), \varphi \rangle_{H^{-1}, H_0^1}}{\|\varphi\|_{H^1}} \leq \sqrt{\sum_{K \in J} \eta_K^2(u_h)}$$

□

Adaptivität: Effizienz lokaler Fehlerschätzer

Setze $r \in L^2(\Omega)$, $r|_T = (Lu_h - f)|_T \quad \forall T \in \mathcal{T}$, $\cdot \bar{r} \in L^2(\Omega)$, $\bar{r}|_T = \frac{1}{|T|} \int_T r dx$
 $\cdot j \in L^2(S) \quad \forall \text{Kanten } S$, $j|_S = [A \nabla u_h \cdot n]|_S$, $\cdot \bar{j} \in P_n(S) \quad \forall S \quad L^2\text{-Projektion von } j$
 $\Rightarrow \eta_T(u_h)^2 = h_T^2 \|r\|_{L^2(T)}^2 + h_T \sum_{S \in \partial T} \|j\|_{L^2(S)}^2$

Thm: $\eta_T(u_h)^2 \lesssim \|u_h - u\|_{H^m(N(T))}^2 + h_T^2 \|r - \bar{r}\|_{L^2(N(T))}^2 + h_T \|j - \bar{j}\|_{L^2(\partial T)}^2$. Lokale Effizienz!
 $\Rightarrow \eta_h(u_h)^2 = \sum_{T \in \mathcal{T}} \eta_T(u_h)^2 \lesssim \|u_h - u\|_{H^m(\Omega)}^2 + \sum_{T \in \mathcal{T}} (h_T^2 \|r - \bar{r}\|_{L^2(N(T))}^2 + h_T \|j - \bar{j}\|_{L^2(\partial T)}^2)$
 $\Rightarrow \eta_h(u_h)$ ist effizient bis auf Oszillationsterme

Die Oszillationsterme können nicht ignoriert werden:

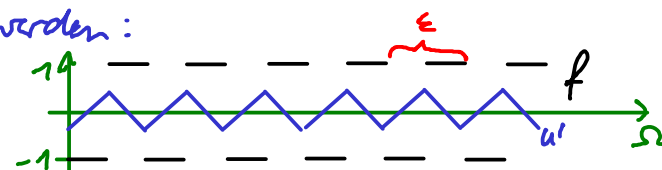
Bsp: $a(u, v) = \int_{\Omega} \nabla u \cdot \nabla v dx$, $a(u, v) = (f, v)_{L^2} \quad \forall v \in H_0^1(\Omega)$,

$a(u_h, v_h) = (f, v_h)_{L^2(\Omega)} \quad \forall v_h \in X_h$ = linear FE-Raum.

Sei $\varepsilon \ll h_T \Rightarrow (f, v_h)_{L^2(\Omega)} = 0 \Rightarrow u_h = 0$, doch $u'(x) = \begin{cases} x - \varepsilon i, & x \in \varepsilon i + [\varepsilon/4, \varepsilon/4], i \in \mathbb{N} \\ -x - d(\varepsilon), & \text{sonst} \end{cases}$

$$\eta_h(u_h)^2 = h^2 \|f\|_{L^2(\Omega)}^2 = h^2 |\Omega|$$

$$\|u_h - u\|_{H^m}^2 \approx \|\nabla(u_h - u)\|_{L^2}^2 = \|\nabla u\|_{L^2}^2 = \frac{\varepsilon^2}{3 \cdot 4^2} |\Omega| \quad \not\propto \quad \eta_h(u_h)^2 \quad !$$



Adaptivität: Effizienz lokaler Fehlerschätzer (Beweis)

Bew.: $h_s^{\frac{1}{2}} \|j\|_{L^2(S)} \lesssim \|u_h - u\|_{H^1(N(S))} + h_s \|\tau - \bar{\tau}\|_{L^2(N(S))} + h_s^{\frac{1}{2}} \|\bar{j} - j\|_{L^2(S)}$, denn
 · erweitere \bar{j} linear von S auf $N(S)$ sodass $\|\bar{j}\|_{L^2(N(S))} + h_s \|\nabla \bar{j}\|_{L^2(N(S))} \lesssim h_s^{\frac{1}{2}} \|\bar{j}\|_{L^2(S)}$ HA

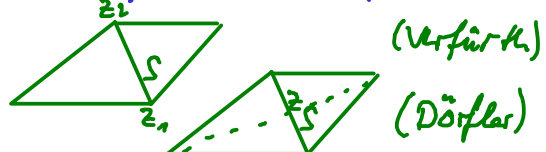
· Sei $\varphi \in W_0^{1,\infty}(N(S))$ für Kante S mit

$$\varphi \geq 0, \int_S p^2 \varphi \, dx \sim \int_S p^2 \, dx \quad \forall p \in P_1, \quad \|\varphi\|_{L^\infty(N(S))} + h_s \|\nabla \varphi\|_{L^\infty(N(S))} \lesssim 1$$

Bsp: (Kanten-Blase) $\cdot \varphi = \psi_{z_1} \psi_{z_2}$

ψ_2 = Häufchenfunktion in 2

$$\psi_{z_1} \cdot \varphi = \psi_2$$



$$\|\bar{j}\|_{L^2(S)}^2 \lesssim \int_S \bar{j} (\bar{j} \varphi) \, dx = \int_S j \psi_s \, dx + \int_S (\bar{j} - j) \psi_s \, dx$$

$$\cdot \left| \int_S j \psi_s \, dx \right| \lesssim \|\tau\|_{L^2(N(S))} \|\psi_s\|_{L^2(N(S))} + \|u_h - u\|_{H^1(N(S))} \|\psi_s\|_{H^1(N(S))}, \text{ da}$$

$$\int_S j \psi_s \, dx = a(u_h - u, \psi_s) - \int_{N(S)} \tau \psi_s \, dx$$

$$\cdot \|\psi_s\|_{L^2(N(S))} \leq \|\bar{j}\|_{L^2(N(S))} \|\varphi\|_{L^\infty(N(S))} \lesssim h_s^{\frac{1}{2}} \|\bar{j}\|_{L^2(S)} \text{ und}$$

$$\begin{aligned} \|\psi_s\|_{H^1(N(S))} &\leq \|\psi_s\|_{L^2(N(S))} + \|\nabla \psi_s\|_{L^2(N(S))} \lesssim h_s^{\frac{1}{2}} \|\bar{j}\|_{L^2(S)} + \|\bar{j} \nabla \varphi\|_{L^2(N(S))} + \|\varphi \nabla \bar{j}\|_{L^2(N(S))} \\ &\leq h_s^{\frac{1}{2}} \|\bar{j}\|_{L^2(S)} + \|\bar{j}\|_{L^2(N(S))} \|\nabla \varphi\|_{L^\infty(N(S))} + \|\nabla \bar{j}\|_{L^2(N(S))} \|\varphi\|_{L^\infty(N(S))} \lesssim h_s^{\frac{1}{2}} \|\bar{j}\|_{L^2(S)} \end{aligned}$$

$$\cdot \|j\|_{L^2(S)} \sim \|\bar{j}\|_{L^2(S)} \lesssim \frac{\int_S j \psi_s \, ds}{\|\bar{j}\|_{L^2(S)}} + \|\bar{j} - j\|_{L^2(S)} \frac{\|\psi_s\|_{L^2(S)}}{\|\bar{j}\|_{L^2(S)}} \quad \text{nutze (d), obige \& folgende Abschätzung für } \|\tau\|_{L^2(N(S))}$$

Adaptivität: Effizienz lokaler Fehlerschätzer (Beweis Forts.)

- $h_T \|r\|_{L^2(\tau)} \lesssim \|u_h - u\|_{H^n(\tau)} + h_T \|r - \bar{r}\|_{L^2(\tau)}$, denn

- $h_T \|r\|_{L^2(\tau)} \leq h_T \|\bar{r}\|_{L^2(\tau)} + h_T \|r - \bar{r}\|_{L^2(\tau)}$

- Sei $\psi \in W_0^{n,\infty}(\tau)$ mit $\int_{\tau} \psi dx = 1$, $\|\nabla \psi\|_{L^\infty(\tau)} \lesssim h_T^{-1}$

Bsp: (Element-Blase) $\psi = c \psi_{z_1} \psi_{z_2} \psi_{z_3}$



(Verfürth)

$$\psi = c \psi_z$$

(Dörfler)

$$\|\bar{r}\|_{L^2(\tau)}^2 = \int_{\tau} \bar{r} (\bar{r} \psi) dx \leq \|\bar{r}\|_{H^{-1}(\tau)} \|\bar{r} \psi\|_{H^1(\tau)} \lesssim \|\bar{r}\|_{H^n(\tau)} \|\nabla(\bar{r} \psi)\|_{L^2(\tau)}$$

$$\text{Hölder-} \leq \|\bar{r}\|_{H^n(\tau)} \|\bar{r}\|_{L^2(\tau)} \|\nabla \psi\|_{L^\infty(\tau)} \lesssim h_T^{-1} \|\bar{r}\|_{H^n(\tau)} \|\bar{r}\|_{L^2(\tau)}$$

$$\Rightarrow \|\bar{r}\|_{L^2(\tau)} \lesssim h_T^{-1} \|\bar{r}\|_{H^n(\tau)} \leq h_T^{-1} \|r\|_{H^n(\tau)} + h_T^{-1} \|r - \bar{r}\|_{H^{-1}(\tau)}$$

$$\cdot \|r\|_{H^{-1}(\tau)} = \sup_{\omega \in H_0^n(\tau)} \frac{\langle r, \omega \rangle_{H^{-1}, H_0^n}}{\|\omega\|_{H^n(\tau)}} = \sup_{\omega \in H_0^n(\tau)} \frac{a(u_h - u, \omega)}{\|\omega\|_{H^n(\tau)}} \lesssim \|u_h - u\|_{H^n(\tau)}$$

$$\cdot \|r - \bar{r}\|_{H^{-1}(\tau)} = \sup_{\omega \in H_0^n(\tau)} \frac{\langle r - \bar{r}, \omega \rangle_{H^{-1}, H_0^n}}{\|\omega\|_{H^n(\tau)}} \leq \sup_{\omega \in H_0^n(\tau)} \frac{\|r - \bar{r}\|_{L^2(\tau)} \|\omega\|_{L^2(\tau)}}{\|\omega\|_{H^n(\tau)}} \stackrel{(2)}{\lesssim} h_T \|r - \bar{r}\|_{L^2(\tau)}$$

$$\cdot \gamma_T (u_h)^2 = h_T^2 \|r\|_{L^2(\tau)}^2 + h_T \sum_{S \in \partial \tau} \|j\|_{L^2(S)}^2$$

$$\lesssim \|u_h - u\|_{H^n(\tau)}^2 + h_T^2 \|r - \bar{r}\|_{L^2(\tau)}^2 + \sum_{S \in \partial \tau} \left(\|u_h - u\|_{H^n(N(S))}^2 + h_S^2 \|r - \bar{r}\|_{L^2(N(S))}^2 + h_S \|j - \bar{j}\|_{L^2(S)}^2 \right) \square$$

Finite Elemente: Elliptische pDgl. (2D Poissons-Gleichung)

Adaptivität: Clément-Interpolation

Thm: Für $\Omega \subset \mathbb{R}^d$, $m \geq 0$, $p \in [1, \infty]$, $X_h = \{v \in C^0(\Omega) \mid v|_T \in \mathcal{P}_k(T) \forall T \in \mathcal{T}, v|_{\partial\Omega} = 0\}$

gibt es einen linearen Operator $I_h: L^p(\Omega) \rightarrow X_h$, sodass

hängt von Quasiregularität ab $\|\nabla^t(v - I_h v)\|_{L^q(T)} \lesssim h_T^{s - \frac{d}{p} - t + \frac{d}{q}} \|D^s v\|_{L^p(N(T))}$

$$\forall v \in W^{m,p}(\Omega), T \in \mathcal{T}, 0 \leq t \leq s \leq \min(m, k+1) \quad s - \frac{d}{p} \geq t - \frac{d}{q}.$$

In besondere $\|v - I_h v\|_{L^2(T)} \lesssim h_T \|\nabla v\|_{L^2(N(T))} \quad \& \quad \|\nabla(v - I_h v)\|_{L^2(T)} \lesssim \|\nabla v\|_{L^2(N(T))}$

Hier für Lagrange-FE 1. Ordnung für $H_0^1(\Omega)$.

Def: (Clément-Interpolation) · M_i sei der Träger der stückweise affinen Hütchenfunktion im Knoten z_i

· $P_{M_i}: L^2(M_i) \rightarrow X_h(M_i) = \{v_h|_{M_i} \mid v_h \in X_h\}$ ist definiert als die L^2 -orthogonale Projektion,

d.h. $\|v - P_{M_i} v\|_{L^2(M_i)} = \inf_{v_h \in X_h(M_i)} \|v - v_h\|_{L^2(M_i)}$

warum? $(P_{M_i} v)$ ist die nach Lax-Milgram wohldefinierte Lösung $u \in X_h(M_i)$ von $(u, v)_{L^2(M_i)} = (v, v_h)_{L^2(M_i)}$ $\forall v_h \in X_h(M_i)$)

$$\cdot I_h v = \sum_{z_i \in V \cap \Omega} (P_{M_i} v)(z_i) \psi_i \quad \text{für } \psi_i \text{ die Hütchenfunktion in } z_i$$

Thm: Die Clément-Interpolation erfüllt $\|v - I_h v\|_{L^2(T)} \lesssim h_T \|\nabla v\|_{L^2(N(T))} \quad \& \quad \|\nabla(v - I_h v)\|_{L^2(T)} \lesssim \|\nabla v\|_{L^2(N(T))}$

Finite Elemente: Elliptische pDgl. (2D Poissons-Gleichung)

Adaptivität: Clément-Interpolation (Beweis)

Bew.: Für ein inneres Element T_e gilt
Partition der 1

Dreiecks-Hölder-Ungl.

$$\|v - I_h v\|_{L^2(T_e)} = \left\| \sum_i (v - P_{M_i} v(z_i)) \psi_i \right\|_{L^2(T_e)} \leq \sum_i \|v - P_{M_i} v(z_i)\|_{L^2(T_e)}$$

Summe über Dreiecksknoten

$$\leq \sum_i \|v - P_{M_i} v\|_{L^2(T_e)} + \|P_{M_i} v - P_{M_i} v(z_i)\|_{L^2(T_e)} \leq \sum_i \|v - P_{M_i} v\|_{L^2(M_i)} + \|P_{M_i} v - P_{M_i} v(z_i)\|_{L^2(T_e)}$$

mit $\bar{v}_M = \frac{1}{|M|} \int_M v \, dx$ ist zurückzrufen auf Referenzgebiet, Poincaré, Rücktransformation auf M

$$\|v - P_M v\|_{L^2(M)}^2 \leq \|v - \bar{v}_M\|_{L^2(M)}^2 \leq h_M^2 \|\nabla(v - \bar{v}_M)\|_{L^2(M)}^2 = h_M^2 \|\nabla v\|_{L^2(M)}^2$$

$$\begin{aligned} \|\bar{P}_{M_i} v - P_{M_i} v(z_i)\|_{L^2(T_e)} &\leq \sum_k \|\bar{P}_{M_i} v(z_k) - P_{M_i} v(z_i)\|_{L^2(T_e)} = \sum_k |\bar{T}_e|^{1/2} |\bar{P}_{M_i} v(z_k) - P_{M_i} v(z_i)| \\ &\leq \sum_k |\bar{T}_e|^{1/2} h_{T_e}^{-1} \|\nabla \bar{P}_{M_i} v\|_{L^2(\bar{T}_e)} = \sum_k h_{T_e} \|\nabla \bar{P}_{M_i} v\|_{L^2(\bar{T}_e)} \leq h_{T_e} \|\nabla \bar{P}_{M_i} v\|_{L^2(\bar{T}_e)} \end{aligned}$$

„Inversungleichung“ HA

$$\|\bar{P}_{M_i} v\|_{L^2(\bar{T}_e)} = \|\nabla(\bar{P}_{M_i} v - \bar{v}_M)\|_{L^2(\bar{T}_e)} = \|\nabla \bar{P}_M(v - \bar{v}_M)\|_{L^2(\bar{T}_e)} \leq \|\nabla \bar{P}_M(v - \bar{v}_M)\|_{L^2(M)} \leq \frac{1}{h_M} \|\bar{P}_M(v - \bar{v}_M)\|_{L^2(M)}$$

$$\|\bar{P}_M\| \leq 1 \rightarrow \|\bar{v}_M\|_{L^2(M)} / h_M \leq \|\nabla v\|_{L^2(M)}$$

$$\begin{aligned} \|\nabla(v - I_h v)\|_{L^2(T_e)} &= \left\| \sum_i (\nabla v) \psi_i + (v - P_{M_i} v(z_i)) \nabla \psi_i \right\|_{L^2(T_e)} \leq \sum_i \|\nabla v\|_{L^2(T_e)} + \|v - P_{M_i} v(z_i)\|_{L^2(T_e)} / h_{T_e} \\ &\leq \sum_i \|\nabla v\|_{L^2(M_i)} \approx \|\nabla v\|_{L^2(N(T_e))} \end{aligned}$$

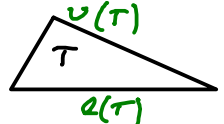
□

Finite Elemente: Elliptische pDgl. (2D Poissons-Gleichung)

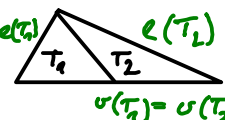
Adaptivität: Verfeinerungsstrategie

- Def: für ein Dreieck T sei $v(T)$ die jüngste Ecke & $e(T)$ die Kante gegenüber
- Die Bisektion teilt T entlang der Verbindungsgeraden von $v(T)$ zur Mitte von $e(T)$

Bsp:



Bisektion

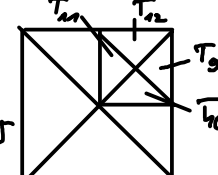
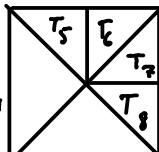
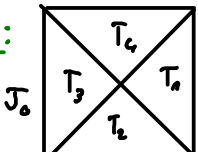


Bisektion

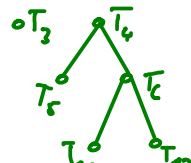
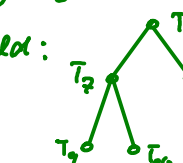


Def: Die Triangulierung \mathcal{T} geht aus J_0 durch (ggfs. mehrfache) Bisektion von Dreiecken hervor. Der zu \mathcal{T} gehörige Wald ist ein gerichteter Graph aus Bäumen, deren Knoten Dreiecken entsprechen, deren Wurzeln die Dreiecke von J_0 sind, deren Blätter die Dreiecke von \mathcal{T} sind, deren innere Knoten genau zwei Kinder haben, die durch Bisektion aus dem Elternknoten hervorgegangen sind.

Bsp:



Wald:



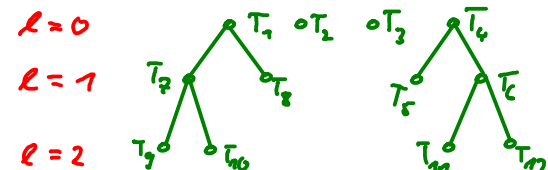
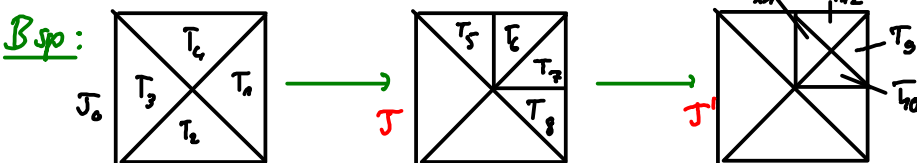
Bem:

jede Familie aus Bäumen, deren Wurzeln die Dreiecke von J_0 sind und deren innere Knoten genau zwei Kinder haben, entspricht eindeutig einer Triangulierung \mathcal{T} , die aus J_0 durch (ggfs. mehrfache) Bisektion entstanden ist.

Finite Elemente: Elliptische pDgl. (2D Poissons-Gleichung)

Adaptivität: Verfeinerungsstrategie Forts.

- Def: · Der Level (die Generation) $\ell(T)$ von $T \in \mathcal{T}$ ist die Entfernung von T zur Wurzel (= Anzahl nötiger Bisektionen, um T aus J_0 zu erhalten).
- Seien $\mathcal{F}, \mathcal{F}'$ die zu $\mathcal{T}, \mathcal{T}'$ gehörenden Wälder. Ist $\mathcal{F} \subset \mathcal{F}'$, heißt \mathcal{T}' Verfeinerung von \mathcal{T} . $\mathcal{R} = \mathcal{T} \setminus \mathcal{T}'$ ist die Menge verfeinerter Elemente.

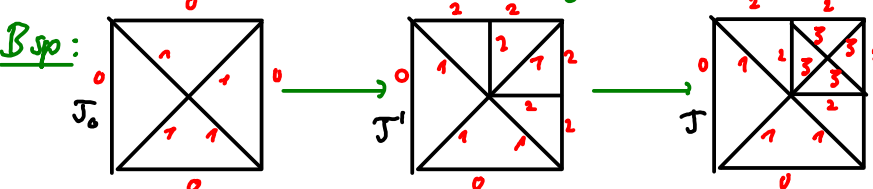


Wir werden nur so verfeinen, dass keine hängenden Knoten auftreten.



Ausklicke sich für jedes Dreieck T die Kante $e(T)$ zu merken, kann man die Kanten nummerieren.

Def: Sei $T \in \mathcal{T}$. Die Nummerierung der Kanten $e \in \partial T$ ist $\ell(e) = \begin{cases} \ell(T) & \text{falls } e = e(T) \\ \ell(T) + 1 & \text{sonst} \end{cases}$.



Numerierung sagt, welche Kante als nächstes geteilt werden muss

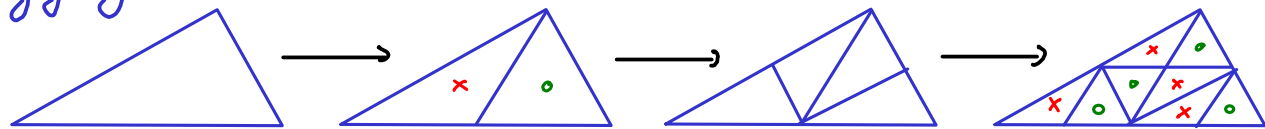
Finite Elemente: Elliptische pDgl. (2D Poissons-Gleichung)

Adaptivität: Eigenschaften der Bisektionsmethode

Thm: Es gibt ein $p > 0$, sodass die durch Bisektion aus T_0 gewonnenen Triangulierungen alle $\frac{1}{p}$ -quasiuniform sind.

Bew: 1) Sei $T \in \mathcal{T}$ mit $\ell(T) \geq 3$. Dann ist T ähnlich zu einem Dreieck T' mit $\ell(T') = \ell(T) - 2$:

Es reicht zu zeigen, dass alle aus einem Dreieck T'' durch dreimalige Bisektion hervorgegangenen Dreiecke T ähnlich zu einem T' mit $\ell(T') = \ell(T) - 2$ sind.



2) \Rightarrow Alle Dreiecke sind ähnlich zu einem aus T_0 mittels höchstens zwei Bisektionen hervorgegangenen. Dies sind endlich viele und daher $\frac{1}{p}$ -quasiuniform für ein $p > 0$. \square

Thm: Es gibt $D_2 > D_1 > 0$ abhängig von T_0 , sodass für alle durch Bisektion aus T_0 gewonnenen Dreiecke T gilt $D_1 2^{-\ell(T)/2} \leq h_T \leq D_2 2^{-\ell(T)/2}$.

Bew: Jeder Dreieck T mit $\ell(T) \geq 3$ ist ähnlich zu einem T' mit $\ell(T') = \ell(T) - 2$ & $h_{T'} = 2h_T$.

\Rightarrow Es reicht, die Behauptung für $\ell(T) \leq 2$ zu zeigen.

Dort gilt sie mit $D_{1/2} = \min \left\{ h_T 2^{\ell(T)/2} \mid \ell(T) \leq 2 \right\}$

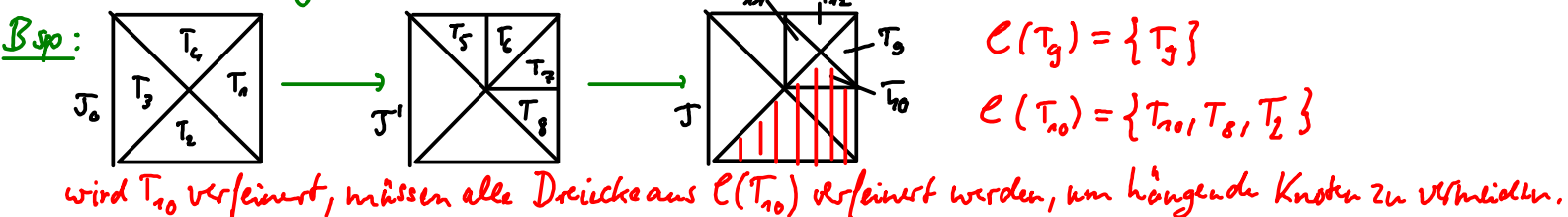
\square

Finite Elemente: Elliptische pDgl. (2D Poissons-Gleichung)

Adaptivität: Verfeinerungsprozedur

Def: Für $T \in \mathcal{T}$ sei $F(T)$ dasjenige Nachbardreieck mit $\overline{F(T)} \cap \overline{T} = \varnothing$ ($F(T) = \emptyset$, falls $\varnothing(T) \in \partial\Omega$).

- Eine Kette $\mathcal{C}(T)$ mit Startelement $T \in \mathcal{T}$ ist eine Folge $(T, F(T), F(F(T)), \dots, F^m(T))$ ohne Wiederholung von Elementen und mit $F^{m+n}(T) = \emptyset$ oder $F^{m+n}(T) \in \mathcal{C}(T)$.

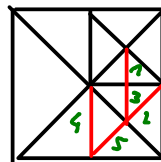


Alg: refine(T); geg: $\mathcal{C}(T) = (T, T^1, \dots, T^m)$

Bisektion von T^1

for $i = 1$ to $m - 1$

2 x Bisektion von T^i



Bisektion von T^m

if $F(T^m) \neq T^{m-1}$

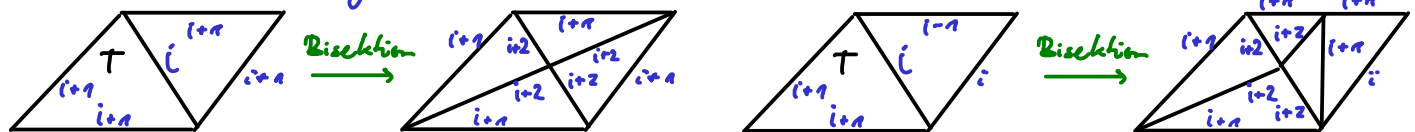
Bisektion von T^m

Finite Elemente: Elliptische pDgl. (2D Poissons-Gleichung)

Adaptivität: Verfeinerungsprozedur Forts.

Thm: Während $\text{refine}(T)$ erhalten mehrere Kanten eine neue Numerierung. Dabei ist die Numerierung eindeutig, unabhängig von beiden angrenzenden Dreiecken.

Bew: Bei jeder Bisektion gibt es zwei Fälle:



□

Kor: Für $T \in \mathcal{T}$, $T' = F(T)$ gilt entweder (a) $\ell(T) = \ell(T')$ und die Bisektion von T & T' ist kompatibel oder (b) $\ell(T') = \ell(T) + 1$ und die Bisektion von T ist kompatibel mit der eines Kindes von T' .

- $\ell(T)$ enthält höchstens $\ell(T) + 2$ Elemente
- Ist T' durch $\text{refine}(T)$ entstanden, gilt $\ell(T') \leq \ell(T) + 1$
- Ist T' durch $\text{refine}(T)$ entstanden, gilt $\text{dist}(T, T') \leq D_2 \frac{2\sqrt{2}}{\sqrt{2}-1} 2^{-\frac{\ell(T')}{2}}$

Thm: Es gibt $\Lambda > 0$ abhängig von T_0 , sodass die Anzahl $\# \mathcal{T}_n$ an Elementen in \mathcal{T}_n erfüllt $\#\mathcal{T}_n - \#\mathcal{T}_0 \leq \Lambda n$, wobei \mathcal{T}_n aus T_0 durch n -maliges Anwenden von refine entstand.

Bew: technisch/kompliziert (Biner-Dahmen-De Vore, Stevenson)

□

Finite Elemente: Elliptische pDgl. (2D Poissons-Gleichung)

Ausblick: Nichtlineare elliptische pDgl. - Elastizität

Ein klassisches Beispiel einer nichtlinearen elliptischen Differentialgleichung ist die Beschreibung der Verformung elastischer Festkörper.

Def: Der Festkörper im undeformierten, spannungsfreien Zustand nehme ein ausreichend glattes, offenes, beschränktes, zusammenhängendes Gebiet $\Omega \subset \mathbb{R}^3$ ein; dieses nennt man Referenzkonfiguration.

Die neue Position eines Punktes $x \in \Omega$ nach der Verformung wird mit $y(x)$ bezeichnet. $y: \Omega \rightarrow \mathbb{R}^3$ heißt Deformation, $F = Dy: \Omega \rightarrow \mathbb{R}^{3 \times 3}$

heißt Deformationsgradient.



Die Koordinaten $x \in \Omega$ nennt man Lagrange-Koordinaten, d. h. jede betrachtete Größe (Materialdichte, elastische Kraft etc.) an einer Stelle $y(x)$ im deformierten Material wird als Funktion der ursprünglichen Position x der Materialstelle dargestellt (die Darstellung als Funktion der neuen Position $y(x)$ heißt Darstellung in Euler-Koordinaten).

Ausblick: Nichtlineare elliptische pDgl. - Energiedichte

Def: Ein Material heißt hyperelastisch, wenn die gesamte zur Materialverformung aufgewandte Arbeit in Form mechanischer potentieller Energie im Material gespeichert wird und die Energiedichte an Stelle x nur von x und $F(x)$ abhängt.

- Die gespeicherte Energie hat daher die Form $\int \mathcal{W}(x, F(x)) dx$ mit der gespeicherten Energiedichtefunktion $\mathcal{W}: \Omega \times \mathbb{R}^{3 \times 3} \rightarrow \mathbb{R}$
- \mathcal{W} heißt - homogen, wenn $\mathcal{W}(x, F) = \mathcal{W}(F) \quad \forall x \in \Omega, F \in \mathbb{R}^{3 \times 3}$

*d.h. Material ist
in alle Richtungen
gleich steif*

- orientierungsverkettend, wenn $\mathcal{W}(x, F) = \infty$ für $\det F \leq 0$
- isotrop, wenn $\mathcal{W}(x, F) = \mathcal{W}(x, FR) \quad \forall R \in SO(3)$
- d.h. rigide
Rotationen/
Translationen*
- Starrkörper-Bewegungs-invariant, wenn $\mathcal{W}(x, I) = 0 \wedge \mathcal{W}(x, RF) = \mathcal{W}(x, F) \quad \forall R \in SO(3)$
- erst rotieren, dann dehnen*
- erst dehnen, dann rotieren*
- kontraktions-feste Energie - von p -Wachstum, falls $\exists C > 0 : \mathcal{W}(x, F) \geq C |F|^p - C$

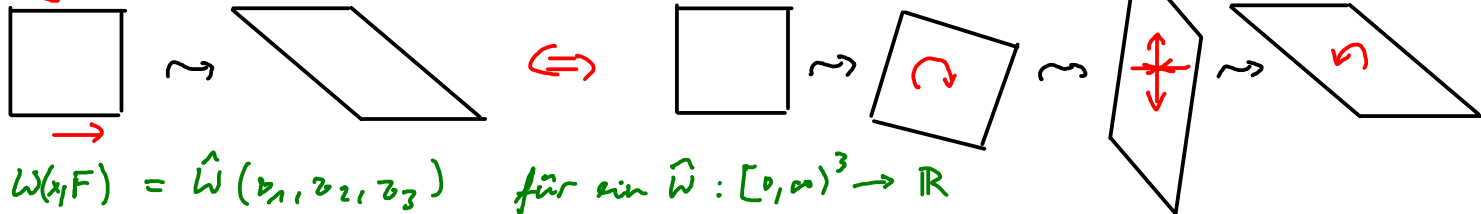
Im Folgenden habe \mathcal{W} all diese Eigenschaften.

Bsp: $\mathcal{W}(F) = \alpha |F|^p + b \det F^{-q}$

Ausblick: Nichtlineare elliptische pDgl. - Hauptstreckungen

Bem: Mittels erster Ordnung Taylorentwicklung lässt sich jede Deformation γ von einem Punkt x als affine Transformation $\gamma(z) \approx \gamma(x) + F(x)(z-x)$ schreiben. $|Fv|$ beschreibt die neue Länge eines Vektors $v \in \mathbb{R}^2$ nach Deformation, $|\text{cof } F_n|$ die Flächenvergrößerung der Ebene mit Normalenvektor n , $\det F$ die Volumenänderung.

Def: Sei $F(x) = U \Sigma V$ die Singulärwertzerlegung, dann ist $\gamma(z) \approx \gamma(x) + F(x)x + U\Sigma V z$ eine Rotation V , anschließende Streckung / Stauchung entlang der Koordinatenachsen um die Singulärwerte $\sigma_1, \sigma_2, \sigma_3$, anschließende Rotation U und anschließende Translation. $\sigma_1, \sigma_2, \sigma_3$ heißen Hauptstreckungen.

Bsp:

Thm: $W(x, F) = \hat{W}(\sigma_1, \sigma_2, \sigma_3)$ für ein $\hat{W} : [0, \infty]^3 \rightarrow \mathbb{R}$

Bew: $W(x, F) = W(x, U^T F V^T) = W(x, \Sigma) = W(\Sigma)$

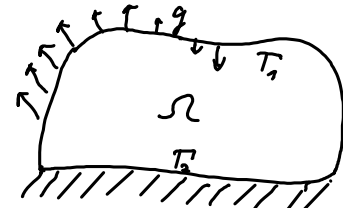
D.h. gespeicherte Energie hängt nur von den Hauptstreckungen ab!

□

Finite Elemente: Elliptische pDgl. (2D Poissons-Gleichung)

Ausblick: Nichtlineare elliptische pDgl. - Variationsproblem

Die Referenzkonfiguration Ω habe Lipschitz-Rand, an $\Gamma_2 \subset \partial\Omega$ mit positivem Maß sei der Körper belastigt, an $\Gamma_1 = \partial\Omega \setminus \Gamma_2$ greife eine Kraftdichte (Spannung = Kraft pro Fläche) $g: \Gamma_1 \rightarrow \mathbb{R}^3$ an.



falls dies nicht gilt, setze $E[y] = \infty$

Die freie Energie einer Deformation y mit $y|_{\Gamma_2} = \text{id}$ ist $E[y] = \int_{\Omega} W(Dy(x)) dx - \int_{\Gamma_1} y(x) \cdot g(x) dx$
Die sich einstellende Deformation ist ein Minimierer der freien Energie.

Minimierungsproblem: $\min \{E[y] \mid y|_{\Gamma_2} = \text{id}\}$ ↗ natürliche Form
elliptischer Probleme

Schwache Formulierung: $y \in W^{1,p}(\Omega)$ erfüllt $y|_{\Gamma_2} = \text{id}$ &

$$A:B = \text{tr}(A^T B) \quad \int_{\Omega} D W(Dy) : D\phi dx - \int_{\Gamma_1} \phi \cdot g dx = 0 \quad \forall \phi \in W^{1,p}(\Omega) \text{ mit } \phi|_{\Gamma_2} = 0$$

starke Formulierung: y erfüllt $\text{div}(D W(Dy)) = 0$ in Ω Erhaltungsgleich.
für lineares Moment
zeilenweise Divergenz auf Γ_2

1. Piola-Kirchhoff-Spannungstensor

$$D W(Dy) \cdot n = g$$

auf Γ_1

Finite Elemente: Elliptische pDgl. (2D Poissons-Gleichung)

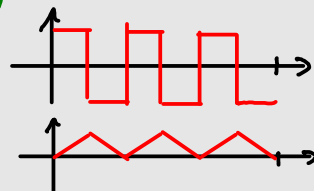
Ausblick: Nichtlineare elliptische pDgl. - schwache Konvergenz

Def: Seien X, X^* normierte Vektorräume und Dualraum, $(x_i)_{i \in \mathbb{N}} \subset X$, $(y_i)_{i \in \mathbb{N}} \subset X^*$.

- x_i konvergiert schwach gegen $x \in X$ ($x_i \rightarrow x$), falls $\langle x_i, y \rangle_{X, X^*} \xrightarrow{i \rightarrow \infty} \langle x, y \rangle \forall y \in X^*$
- y_i konvergiert schwach-* gegen $y \in X^*$ ($y_i \xrightarrow{*} y$), falls $\langle x, y_i \rangle_{X, X^*} \xrightarrow{i \rightarrow \infty} \langle x, y \rangle \forall x \in X$
- X heißt reflexiv, falls $(X^*)^*$ zu X isometrisch isomorph ist
- X heißt separabel, falls es eine abzählbare dichte Teilmenge besitzt.

Bsp:

- $L^p(\Omega)$ ist reflexiv & separabel für $p \in (1, \infty)$ ($(L^p)^{**} = (L^q)^* = L^p$ für $\frac{1}{p} + \frac{1}{q} = 1$)
- $W^{m,p}(\Omega)$ ist reflexiv & separabel für $p \in (1, \infty)$
- $x_i = \operatorname{sgn} \circ \sin(i \cdot) \rightarrow 0$ in $L^p((0, 1))$
- $\tilde{x}_i = \int x_i dt \rightarrow 0$ in $W^{1,p}(0, 1)$



Thm: $x_i \rightarrow x \Rightarrow x_i \rightharpoonup x$

• $x_i \rightarrow x \Rightarrow \{x_i\}$ ist beschränkt

• $f_i \rightarrow f$ in $W^{1,p}(\Omega)$, $p > \dim(\Omega)$ $\Rightarrow f_i \rightarrow f$ in $C^0(\bar{\Omega})$ für Teilfolge

„Sobolev-Einbettung“

Finite Elemente: Elliptische pDgl. (2D Poissons-Gleichung)

Ausblick: Nichtlineare elliptische pDgl. - Lax-Milgram-Ersatz

Thm: (Banach-Alaoglu) Sei $A \subset X^*$ eine beschränkte Teilmenge des Dualraums eines separablen normierten Vektorraums X , dann enthält A eine schwach-* konvergente Folge.

Kor: Sei X reflexiv & X^* separabel, $A \subset X$ beschränkt. A enthält eine schwach konvergente Folge.

Thm: (Ball) Sei $f_n \rightarrow f$ in $W^{1,p}(\Omega; \mathbb{R}^3)$ mit $p > 3$. Dann gilt $\det Df_n \rightarrow \det Df$ in $L^{\frac{p}{3}}(\Omega)$ und $\text{cof } Df_n \rightarrow \text{cof } Df$ in $L^{1/2}(\Omega; \mathbb{R}^{3 \times 3})$.

Thm: (Mazur) Sei $x_n \rightarrow x$, dann existiert eine Folge $\tilde{x}_n = \sum_{i=1}^n a_{in} x_i$ von Konvexitätskombinationen (d.h. $a_{in} \in [0, 1]$, $\sum_{i=1}^n a_{in} = 1$) mit $\tilde{x}_n \rightarrow x$.

Thm: (Jensen) Sei $f: X \rightarrow \mathbb{R}$ konvex (d.h. $f\left(\frac{x+\tilde{x}}{2}\right) \leq \frac{f(x)+f(\tilde{x})}{2} \quad \forall x, \tilde{x} \in X$) und $\sum_{i=1}^n a_i x_i$ eine Konvexitätskombination, dann ist $f\left(\sum_{i=1}^n a_i x_i\right) \leq \sum_{i=1}^n a_i f(x_i)$.

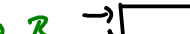
Thm: Sei $f_n \rightarrow f$ in $L^p(\Omega)$, dann existiert eine Teilfolge $f_{n_i} \rightarrow f$ punktweise fast überall.

Bem: Teilfolge ist wichtig! $f_n(x) = \begin{cases} 1, & x \in [\frac{k}{n}, \frac{k+1}{n}] \\ 0, & \text{sonst} \end{cases}$; $f_1 = h_1, f_2 = h_2, f_3 = h_2, f_4 = h_3, \dots \xrightarrow{n} 0$, aber nicht punktweise f.u.

Thm: (Fatou) Sei $f_n \geq 0$, dann ist $\int_{\Omega} \liminf_{n \rightarrow \infty} f_n dx \leq \liminf_{n \rightarrow \infty} \int_{\Omega} f_n dx$

Finite Elemente: Elliptische pDgl. (2D Poissons-Gleichung)

Ausblick: Nichtlineare elliptische pDgl. - Wohlgestelltheit

Bem: I. A. ist eine Lösung nicht eindeutig, z.B. \Rightarrow  oder 

Def: W heißt polykonvex, wenn es sich als konvexe Funktion der Subdeterminanten von F schreiben lässt, $W(F) = \hat{W}(F, \text{cof } F, \det F)$ mit \hat{W} konvex.

• $f: X \rightarrow \mathbb{R}$ heißt unterhalbstetig, falls $f(x) \leq \liminf_{n \rightarrow \infty} f(x_n) \forall x_n \rightarrow x$



Annahme: W sei nichtnegativ, unterhalbstetig, polykonvex, von p -Wachstum mit $p > 3$.

Thm: $y \mapsto \int_{\Omega} W(Dy) dx$ ist unterhalbstetig bzgl. schwacher Konvergenz in $W^{1,p}(\Omega)$.

Bew: Sei $y_n \rightarrow y$ in $W^{1,p}(\Omega)$; oBdA sei $\liminf_{n \rightarrow \infty} \int_{\Omega} W(Dy_n) dx = \lim_{n \rightarrow \infty} \int_{\Omega} W(Dy_n) dx$. sonst betrachte Teilfolge

$$\text{Bild } \omega_n := (Dy_n, \text{cof } Dy_n, \det Dy_n) \xrightarrow{L^p \times L^{p/2} \times L^{p/3}} (Dy, \text{cof } Dy, \det Dy) =: \omega$$

$$\text{Mehr } \tilde{\omega}_n = \sum_{i=1}^{N_n} a_{i,n} \omega_i \xrightarrow{L^p \times L^{p/2} \times L^{p/3}} \omega \implies \tilde{\omega}_{n,i} \rightarrow \omega \text{ punktweise f. a.}$$

$$\int_{\Omega} W(Dy) dx = \int_{\Omega} \hat{W}(\omega) dx \leq \int_{\Omega} \liminf_{i \rightarrow \infty} \hat{W}(\tilde{\omega}_{n,i}) dx \stackrel{\text{Fatou}}{\leq} \liminf_{i \rightarrow \infty} \int_{\Omega} \hat{W}(\tilde{\omega}_{n,i}) dx$$

$$\leq \liminf_{i \rightarrow \infty} \int_{\Omega} \sum_{j=1}^{N_n} a_{j,n} \hat{W}(\omega_j) dx = \liminf_{i \rightarrow \infty} \sum_{j=1}^{N_n} a_{j,n} \int_{\Omega} W(Dy_j) dx = \lim_{n \rightarrow \infty} \int_{\Omega} W(Dy_n) dx \quad \square$$

Finite Elemente: Elliptische pDgl. (2D Poissons-Gleichung)

Ausblick: Nichtlineare elliptische pDgl. - Wohlgestelltheit II

Thm: Sei $g \in L^q(\Omega)$, $\frac{q}{p} + \frac{1}{p} = 1$. E besitzt einen Minimierer y mit $y|_{\Gamma_2} = \text{id}|_{\Gamma_2}$.

Bew: „Direkte Methode der Variationsrechnung“

0) $E \neq \infty$ und E ist nach unten beschränkt:

$$\begin{aligned} E[\cos] < \infty \quad \& \quad E[y] \geq C \|Dy\|_{L^p}^p - C - \underbrace{\int_{\Omega} g \cdot y \, dx}_{\leq \|g\|_{L^q} \|y\|_{L^p}} \stackrel{\text{Poincaré}}{\geq} & \geq \|y\|_{W^{1,p}}^p - C - \|g\|_{L^q} \|y\|_{W^{1,p}} \\ & \leq \|g\|_{L^q} \|y\|_{L^p} \leq \|g\|_{L^q} \|y\|_{W^{1,p}} & \geq -C - \left(1 - \frac{1}{p^{n(p-1)}}\right)^{p-1} \sqrt{\frac{\|g\|_{L^q}^p}{C}} \end{aligned} \quad (\star)$$

1) Betrachte „Minimalfolge“ y_1, y_2, \dots mit $E[y_n] \rightarrow \inf_y E[y]$

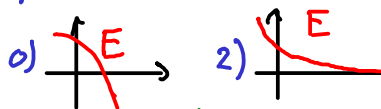
2) Zeige, dass eine Teilfolge (in einem zu wählenden Sinn) gegen ein y konvergiert:

$E[y_n] < C \stackrel{(\star)}{\Rightarrow} \|y_n\|_{W^{1,p}}$ ist beschränkt $\Rightarrow y_n \xrightarrow{\text{w}} y$ in $W^{1,p}(\Omega; \mathbb{R}^3)$

3) Zeige Unterhalbstetigkeit von E bzgl. obiger Konvergenz, sodass $E[y] \leq \liminf_{i \rightarrow \infty} E[y_n] \leq \inf E$:

voriges Thm. + $\int_{\Omega} g \cdot y_n \, dx \rightarrow \int_{\Omega} g \cdot y \, dx$ (Spursatz)

Bsp: Was kann in direkter Methode schiefgehen? 0)



Bem: (Poly-)Konvexität ist essentiell! z.B. ist $y_n(x) = \frac{\lfloor nx - \text{round}(nx) \rfloor}{n}$

aber $\int_{\Omega} W(y'_n) \, dx = 0 \neq 1 = \int_{\Omega} W(y') \, dx$ für $W(a) = (a^2 - 1)^2$!



Finite Elemente: Elliptische pDgl. (2D Poissons-Gleichung)

Ausblick: Nichtlineare elliptische pDgl. - Diskretisierung

Wie für finite Elemente typisch, wählen wir einen finite-Elemente-Raum X_h und definieren die diskrete Approximation y_h an $y \in \text{argmin}_E$ als $y_h \in \underset{X_h}{\text{argmin}} E$.

Im Folgenden betrachten wir Lagrange-Elemente 1. Ordnung.

Thm: E besitzt in X_h einen Minimierer.

Bew: Direkt-Methode in X_h ; es fehlt nur zu zeigen, dass $y_h \in X_h, y_h \xrightarrow{W^{1,p}} y \Rightarrow y \in X_h$.
Dies folgt aus $y_h \rightarrow y$ in C^0 . \square

Konvergiert y_h gegen y für $h \rightarrow 0$?

Definiere $E_h[y] = \begin{cases} E[y] & , \text{ falls } y \in X_h \\ \infty & , \text{ sonst} \end{cases}$

$$\Rightarrow y_h \in \underset{X_h}{\text{argmin}} E_h[y]$$

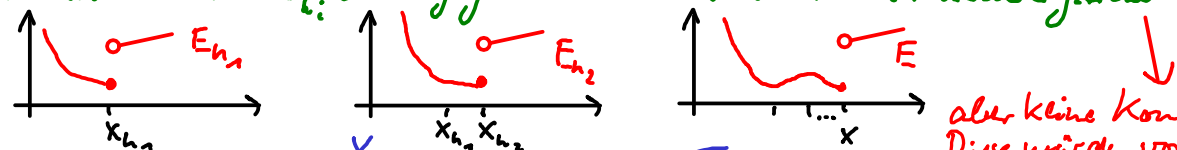
Ausblick: Nichtlineare elliptische pDgl. - Gamma-Konvergenz

Def.: Lege auf dem Raum X einen Konvergenzbegriff fest. Ein Funktional $E_h : X \rightarrow \mathbb{R}$ Γ -konvergiert gegen $E : X \rightarrow \mathbb{R}$ ($\Gamma(X) - \lim_{h \rightarrow 0} E_h = E$), wenn $\forall h_i \rightarrow 0$

- $\forall x_i \xrightarrow{i \rightarrow \infty} x : \liminf_{i \rightarrow \infty} E_{h_i}[x_i] \geq E[x]$ „liminf-Ungleichung“
- $\forall x \in X \exists x_i \xrightarrow{i \rightarrow \infty} x : \limsup_{i \rightarrow \infty} E_{h_i}[x_i] \leq E[x]$ „limsup-Ungleichung“
- Die Funktionale E_h heißen equikonvergent, falls $\exists C < \infty$ folgenkompatibel mit $\arg\min E_h \subset G \forall h$

Thm: Falls $\Gamma(X) - \lim_{h \rightarrow 0} E_h = E$ und die E_h equikonvergent sind, besitzt jede Folge x_h :

vom Minimieren von E_h eine gegen einen Minimierer von E konvergierende Teilfolge.



Bew.: Equikonvergenz $\Rightarrow x_{h_i} \xrightarrow{X} x \in X$ für eine Teilfolge.

Für alle $x \in X$ existiert $x_i \xrightarrow{X} x$ mit

$$E[x] \geq \limsup_{i \rightarrow \infty} E_{h_i}[x_i] \geq \limsup_{i \rightarrow \infty} E_{h_i}[x_{h_i}] \geq \liminf_{i \rightarrow \infty} E_{h_i}[x_{h_i}] \geq E[x]$$

aber kleine Konvergenzrate!
Diese würde von der Form
der Energie im Minimum
abhängen (z.B. lokal
quadratisch oder quartisch)

□

Finite Elemente: Elliptische pDgl. (2D Poissons-Gleichung)

Ausblick: Nichtlineare elliptische pDgl. - Konvergenz

Thm: Sei $\cdot \Omega$ Lipschitz, $T_1, T_2 = \partial\Omega \setminus T_0$ Lipschitz,

- $W: \mathbb{R}^{3 \times 3} \rightarrow \mathbb{R}$ polykonvex, stetig, von p -Wachstum mit $p > 3$,
- $W(F) \leq C|F|^p + c$ für ein $C > 0$,
- $g \in L^q(T_0)$, $\frac{1}{q} + \frac{1}{p} = 1$,
- X_h $\frac{1}{p}$ -quasiuniforme lineare Lagrange-Finite-Element-Raum mit Gitterweite h ,
- $E: W^{1,p}(\Omega) \rightarrow \mathbb{R} \cup \{\infty\}$, $E[y] = \begin{cases} \int_{T_0} W(\nabla y) dx - \int_{T_0} g \cdot y dx, & \text{falls } y|_{T_0} = \text{id} \\ \infty & \text{sonst} \end{cases}$
- $E_h: W^{1,p}(\Omega) \rightarrow \mathbb{R} \cup \{\infty\}$, $E_h[y] = \begin{cases} E[y], & \text{falls } y \in X_h \\ \infty & \text{sonst} \end{cases}$.

Dann $\Gamma(\text{schwache Konvergenz in } W^{1,p}(\Omega))$ -lim _{$h \rightarrow 0$} $E_h = E$.

Kor: feste Folge $y_n \in \arg\min E_h$, $h_i \xrightarrow{i \rightarrow \infty} 0$, enthält eine Teilfolge $y_{h_{i_n}} \xrightarrow{n \rightarrow \infty} y \in \arg\min E$.

Bew: $E[\text{id}] \geq E_{h_i}[y_{h_i}] = E[y_{h_i}] \xrightarrow{(*)} \|y_{h_i}\|_{W^{1,p}}$ ist uniform beschränkt

$\Rightarrow E_{h_i}$ ist equikonvex bzgl. schwacher Konvergenz in $W^{1,p}(\Omega)$. \square

Finite Elemente: Elliptische pDgl. (2D Poissongleichung)

Ausblick: Nichtlineare elliptische pDgl. - Konvergenzbeweis

Bew: Sei $h_i \rightarrow 0$.

liminf-ungl : Sei y_i Folge mit $y_i \xrightarrow{W^{1,p}} y$, dann folgt aus der Unterkontinuität von E : $E[y] \leq \liminf_{i \rightarrow \infty} E[y_i] \leq \liminf_{i \rightarrow \infty} E_{h_i}[y_i]$

limsup-ungl : Sei $y \in W^{1,p}(\Omega)$ gegeben.

- $W^{2,p}(\Omega)$ ist dicht in $W^{1,p}(\Omega) \Rightarrow \forall n \in \mathbb{N} \exists y^n \in W^{2,p}(\Omega)$ mit $\|y^n - y\|_{W^{1,p}} \leq \frac{1}{n}$.
- Setze $y_i^n = I_{h_i} y^n \Rightarrow \|y_i^n - y\|_{W^{1,p}} \leq \|y_i^n - y^n\|_{W^{1,p}} + \|y^n - y\|_{W^{1,p}} \leq C h_i \|y^n\|_{W^{2,p}} + \frac{1}{n}$
- Sei i_0 so, dass $C h_{i_0} \|y^n\|_{W^{2,p}} \leq \frac{1}{n}$ und definiere die Folge $y_i \in X_{h_i}$, $i \in \mathbb{N}$, durch $(y_1^n, y_2^n, \dots, \overset{\wedge}{y_{i_0}}, \overset{2}{y_{i_0}}, \overset{2}{y_{i_0+1}}, \dots, \overset{2}{y_{i_0-1}}, \overset{3}{y_{i_0}}, \overset{3}{y_{i_0+1}}, \dots)$
- $y_i \xrightarrow{W^{1,p}} y$ (also auch $y_i \rightarrow y$), da $\|y_i - y\|_{W^{1,p}} \leq \frac{2}{n}$ für alle y_i nach y^n
- wähle Teilfolge y_{i_k} sodass $\lim_{n \rightarrow \infty} E_{h_{i_k}}[y_{i_k}] = \limsup_{i \rightarrow \infty} E_{h_i}[y_i]$ und sodass $y_{i_k} \rightarrow y$ punktweise f.ü.
- noch zu zeigen: $\lim_{k \rightarrow \infty} E_{h_{i_k}}[y_{i_k}] \leq E[y]$

Finite Elemente: Elliptische pDgl. (2D Poissons-Gleichung)

Ausblick: Nichtlineare elliptische pDgl. - Konvergenzbeweis Forts.

E_s ist $\cdot W(Dy_{ik}) \rightarrow W(Dy)$ punktweise f. ü.

$$\cdot C|Dy_{ik}|^p + C \xrightarrow{L^p} C|Dy|^p + C, \text{ da}$$

$$\int_{\Omega} |C|Dy_{ik}|^p + C - C|Dy|^p - C|dx = C \int_{\Omega} ||Dy_{ik}|^p - |Dy|^p| dx \xrightarrow{k \rightarrow \infty} 0$$

$$\cdot \int_{\Omega} W(Dy_{ik}) dx \rightarrow \int_{\Omega} W(Dy) dx \text{ nach Lebesgues Konvergenzsatz}$$

$$\cdot \int_{\Gamma_a} g \cdot y_{ik} dx \rightarrow \int_{\Gamma_a} g \cdot y dx, \text{ da } y_{ik}|_{\Gamma_a} \xrightarrow{L^p} y|_{\Gamma_a}$$

$$\Rightarrow E_{h_{ik}}[y_{ik}] \rightarrow E[y] \quad \square$$

